

สำนักหอสมุด มหาวิทยาลัยบูรพา
ต.แสนสุข อ.เมือง จ.ชลบุรี 20131

รายงานวิจัยฉบับสมบูรณ์

เรื่อง

การคัดกรองโรคจดตามีสิ่งซึมเยิ่มขึ้นจากผู้ป่วยเบาหวาน ด้วยการเรียนรู้ร่วม

Exudates in Diabetes Patient Classification

using Ensemble Learning

โครงการวิจัยนี้ได้รับการสนับสนุนทุนวิจัย

จาก

สำนักงานคณะกรรมการวิจัยแห่งชาติ

ปีงบประมาณ พ.ศ. ๒๕๕๖

คณะกรรมการ

| | |
|----------------------------|----------------------|
| นายกฤษณะ ชินสาร | หัวหน้าโครงการวิจัย* |
| นางสาวสุวรรณा วงศ์มีชัยณุ | ผู้ร่วมวิจัย* |
| นางสาวสุนิสา ริมเจริญ | ผู้ร่วมวิจัย* |
| นายอัณณุพันธ์ รอุดทกชัย | ผู้ร่วมวิจัย** |
| นายภูลิศ กลเกษม | ผู้ร่วมวิจัย* |
| นางสาวเบญจภรณ์ จันทรกองกุล | ผู้ร่วมวิจัย* |
| นางสาวจรายา อันปันส์ | ผู้ช่วยวิจัย* |
| นายวุฒิชัย เหลืองเรืองรอง | ผู้ช่วยวิจัย* |

๘๘๑๖๖๔
- 7 ก.ค. 2558

354988

*ศูนย์วิจัย Knowledge and Smart Technology คณะวิทยาการสารสนเทศ มหาวิทยาลัยบูรพา

**ภาควิชาวิทยาการคอมพิวเตอร์ คณะวิทยาศาสตร์ มหาวิทยาลัยรามคำแหง

ผู้บริการ
- 6 ก.ค. 2558

บทคัดย่อ

สิ่งซึ่งมีความเสี่ยงขึ้นที่เกิดขึ้นในจดหมายของผู้ป่วยเบาหวานเป็นอันตรายอย่างยิ่งต่อการมองเห็นของคนไข้เบาหวาน และเป็นสาเหตุสำคัญของโรคตาบอดของผู้ป่วยเบาหวาน และเนื่องจากปัจจุบันนี้มีจำนวนผู้ป่วยโรคเบาหวานที่มีอาการลักษณะดังกล่าวเพิ่มมากขึ้น ในขณะที่อัตราการเพิ่มของแพทย์ยังไม่เป็นไปในทิศทางเดียวกัน ทำให้แพทย์แต่ละท่านต้องมีภาระเพิ่มมากขึ้นค่อนข้างมาก ดังนั้นงานวิจัยนี้ได้นำเสนอวิธีการเพื่อตรวจหาสิ่งซึ่งมีความเสี่ยงขึ้นที่เกิดขึ้นที่จดหมายจากภาพจดหมายของผู้ป่วย เพื่อช่วยกรองข้อมูลในเบื้องต้นหรือใช้สำหรับยืนยันผล ซึ่งถ้าหากสามารถตรวจพบสิ่งซึ่งมีความเสี่ยงขึ้นได้ในตั้งแต่ระยะเริ่มต้นของการก็จะสามารถบรรเทาความรุนแรงของโรคเบาหวานที่จดหมายได้ในระดับหนึ่ง

งานวิจัยนี้นำเสนอบริการคำนวณเชิงตัวเลขและวิธีการเชิงคำนวณสำหรับการตรวจจับหาสิ่งซึ่งมีความเสี่ยงขึ้นในภาพจดหมายของผู้ป่วยเบาหวานที่จดหมาย โดยแบ่งขั้นตอนการประมวลผลออกเป็น 5 ขั้นตอนหลัก คือ 1) การปรับปรุงคุณภาพของรูปภาพ 2) การแยกภาพพื้นหลังออกจากภาพดวงตาด้วย Object Attribute Thresholding Process 3) การตรวจหาเส้นเลือดด้วย Frangi's Vessel Filtering 4) การตรวจหาจานประสาทตาด้วย Hough transform และ 5) การระบุพื้นที่ของสิ่งซึ่งมีความเสี่ยงขึ้นด้วย Kirsch's Templates และการแบ่งกลุ่มข้อมูลโดยใช้ขั้นตอนวิธี Hierarchical Clustering จากผลการทดลอง ผู้วิจัยได้ทดสอบขั้นตอนวิธีที่นำเสนอ กับข้อมูลภาพที่มีสิ่งซึ่งมีความเสี่ยงขึ้นที่เกิดขึ้นในผู้ป่วยเบาหวานที่จดหมาย พบว่า ขั้นตอนวิธีที่นำเสนอให้ผลการทดลองเป็นที่น่าพอใจ

Abstract

Diabetic Retinopathy with exudates causes a major problem in human visualization and can become a cause of blindness to diabetic patients. In addition, the numbers of diabetic retinopathy patients are increased while the numbers of doctors cannot be easily increased in the same proportion. This circumstance causes a heavy work load to doctors. This research work proposes a method to detect exudates from the image of diabetic retinopathy. With the proposed method, the hospital may use it to preliminary classify patients with exudates from those who have none or may use it to re-confirm doctor diagnosis. The early detection of exudates in diabetic retinopathy patients will help reduce seriousness in diabetic retinopathy.

This research proposes digital image processing and numerical methods for detecting exudates in diabetic retinopathy patients. We divide our proposed methods into 5 main parts which are: 1) improving the quality of images 2) split background from the retina image using Object Attribute Thresholding Process (OAT) 3) detecting blood vessel using Frangi's Vessel Filtering 4) detecting retina disc using Hough Transform ,and 5) detecting exudates area using Kirsch's Templates and layering image data using Hierarchical clustering technique. Experimental results confirm that the proposed methods can detect the region of interest which is an exudates area of diabetic retinopathy patients.

สารบัญ

| | |
|--|----|
| บทที่ 1 บทนำ..... | 1 |
| 1.1 ที่มาและความสำคัญของปัญหา | 1 |
| 1.2 วัตถุประสงค์ของโครงการวิจัย..... | 2 |
| 1.3 ขอบเขตของโครงการวิจัย..... | 2 |
| 1.4 ประโยชน์ที่คาดว่าจะได้รับ | 2 |
| 1.5 ระยะเวลาทำการวิจัยและแผนการดำเนินงานตลอดโครงการวิจัย..... | 3 |
| บทที่ 2 ทฤษฎีและงานวิจัยที่เกี่ยวข้อง | 4 |
| 2.1 โรคจอตามีสิ่งซึมเข้มข้นจากผู้ป่วยเบาหวาน..... | 4 |
| 2.2 Contrast Limited Adaptive Histogram Equalization (CLAHE) | 7 |
| 2.3 Thresholding | 8 |
| 2.4 Object Attribute Thresholding Process (OAT) | 9 |
| 2.5 Frangi Filter..... | 9 |
| 2.6 การแปลงฮ็อฟ (Hough Transform)..... | 10 |
| 2.7 Kirsch's templates | 12 |
| 2.8 Morphology (Opening and Closing)..... | 12 |
| 2.9 การจัดกลุ่ม (Clustering) | 13 |
| วิธีการจัดกลุ่มตามลำดับชั้น (Hierarchical Clustering) | 14 |
| การจัดกลุ่มแบบ Agglomerative Hierarchy (Agglomerative Hierarchical Clustering).... | 14 |
| 2.10 การทบทวนวรรณกรรม/สารสนเทศ (Information) ที่เกี่ยวข้อง | 15 |
| บทที่ 3 วิธีดำเนินการวิจัย | 17 |
| 3.1 ขั้นตอนการปรับปรุงคุณภาพของรูปภาพ | 18 |
| 3.1.1 Contrast Limited Adaptive Histogram Equalization (CLAHE) | 18 |
| 3.2 ขั้นตอนการแบ่งแยกภาพพื้นหลังออกจากภาพดวงตา | 18 |
| 3.2.1 Object Attribute Thresholding Process (OAT) | 18 |
| 3.2.2 การทำภาพให้พร่ามัว (Blur)..... | 18 |
| 3.2.3 การหาพื้นที่ที่มีอัตราการเปลี่ยนแปลงของภาพ (gradient method)..... | 19 |
| 3.3 ขั้นตอนการตรวจหาเส้นเลือด (Blood Mask) | 19 |
| 3.3.1 การแจกแจงความน่าจะเป็นแบบสะสม (cumulative distribution probability).... | 19 |
| 3.3.2 Frangi's Vessel Filtering | 20 |

| | |
|---|----|
| 3.4 ขั้นตอนการตรวจหาจานประสาทตา | 20 |
| 3.4.1 การหาอัตราการเปลี่ยนแปลงของภาพ (Sobel and prewitt gradient) | 20 |
| 3.4.2 Hough transform..... | 20 |
| 3.5 ขั้นตอนการระบุพื้นที่ของลิ้งซิมเมิล์ชัน..... | 20 |
| 3.5.1 Kirsch's Templates | 20 |
| 3.5.2 Morphology close operation | 21 |
| 3.5.3 การกรองด้วยค่ามัธยฐาน (Median filter) | 21 |
| 3.5.4 Hierarchical Clustering | 21 |
| บทที่ 4 ผลการทดลอง | 22 |
| 4.1 ขั้นตอนการปรับปูรุ่งคุณภาพของรูปภาพ | 23 |
| 4.1.1 Contrast Limited Adaptive Histogram Equalization (CLAHE) | 23 |
| 4.2 ขั้นตอนการแบ่งแยกภาพพื้นหลังออกจากภาพคงตา | 24 |
| 4.2.1 Object Attribute Thresholding Process (OAT)..... | 25 |
| 4.2.2 การทำภาพให้urred (Blur) | 27 |
| 4.2.3 การหาพื้นที่ที่มีอัตราการเปลี่ยนแปลงของภาพ (gradient method) | 28 |
| 4.3 ขั้นตอนการตรวจหาเส้นเลือด (Blood Mark)..... | 32 |
| 4.3.1 การแจกแจงความน่าจะเป็นแบบสะสม (cumulative distribution probability).... | 33 |
| 4.3.2 Frangi's Vessel Filtering | 34 |
| 4.4 การตรวจหาจานประสาทตา..... | 35 |
| 4.4.1 การหาอัตราการเปลี่ยนแปลงของภาพ (Sobel and prewitt gradient) | 35 |
| 4.4.2 Hough transform | 36 |
| 4.5 การระบุพื้นที่ของลิ้งซิมเมิล์ชัน | 39 |
| 4.5.1 Kirsch's Templates | 39 |
| 4.5.2 Morphology close operation | 40 |
| 4.5.3 การกรองด้วยค่ามัธยฐาน (Median filter) | 41 |
| 4.5.4 การทำคัสเตอร์ช็อกมูลแบบลำดับชั้น (Hierarchical Clustering)..... | 42 |
| 4.6 ภาพผลการทดลองทั้งหมด..... | 45 |
| บทที่ 5 สรุปผลการทดลอง | 61 |
| 5.1 สรุปผลการทดลอง..... | 61 |
| 5.2 ปัญหาและข้อเสนอแนะ | 61 |
| บรรณานุกรม | 62 |

บทที่ 1 บทนำ

1.1 ทีมและความสำคัญของปัญหา

ในปัจจุบันโรคเบาหวานเป็นโรคเรื้อรังที่เป็นปัญหาที่สำคัญ และมีผลกระทบต่อการดำเนินชีวิต และภาวะเศรษฐกิจของผู้ป่วยและครอบครัว รวมทั้งประเทศชาติ สิ่งที่สำคัญที่สุดคือ การที่ผู้ป่วยได้รับ การวินิจฉัยและได้รับการดูแลรักษาตั้งแต่ในระยะแรกของโรค จากข้อมูลสถิติของ WHO ปี พ.ศ. 2543 พบว่าทั่วโลกมีคนเป็นเบาหวาน 171 ล้านคน และจะเพิ่มขึ้นเป็น 366 ล้านคนในปี พ.ศ. 2547 ประมาณร้อยละ 50 ไม่รู้ว่าตัวเองเป็นเบาหวาน และเมื่อเป็นเบาหวาน 15 ปี พบร่วมปัญหาตาบอดร้อยละ 2 มีปัญหาสายตาเลื่อนลงร้อยละ 10 แต่ถ้าตรวจ视力ตาอย่างละเอียดพบว่า มีอาการของ ประสาทตาผิดปกติจากเบาหวานได้ถึงร้อยละ 32 จากการศึกษาของ The Wisconsin Epidemiological Study of Diabetic Retinopathy (WESDR) พบร่วมในกลุ่มผู้ป่วยเบาหวานชนิดที่ 1 ซึ่งเป็นนานกว่า 15 ปี ร้อยละ 3 จะตาบอดและจะเพิ่มขึ้นเป็นร้อยละ 12 ถ้าเป็นโรคนาน 20 - 24 ปี การที่ผู้ป่วยเบาหวานสูญเสียดวงตาแล้วเกิดขึ้นได้หลายสาเหตุ ทั้งการบดบังขัดของทางเดินของแสงที่ เข้าสู่ภายในลูกตาเนื่องจากต้อกระจก หรือมีเลือดออกในวุ้นตา (Vitreous) หรือของประสาทตาผิดปกติ จากเบาหวาน (Diabetic Retinopathy) ซึ่งเรียกกันโดยทั่วไปว่าเบาหวานขึ้นตา หรือจากเส้นประสาทตาผิดปกติ (Optic Neuropathy) อย่างใดอย่างหนึ่งหรือรวมกันก็ได้ โดยที่จะของประสาทตาผิดปกติจาก เบาหวานจะเป็นสาเหตุหลักที่พบมากที่สุดในการทำให้ผู้ป่วยเบาหวานสูญเสียสายตา

ของประสาทตาผิดปกติจากเบาหวานเป็นสาเหตุสำคัญอย่างหนึ่งที่ทำให้การเห็นผิดปกติ ผู้ที่เป็น เบาหวานทุกคนมีโอกาสเกิดภาวะดังกล่าวได้ และยิ่งเป็นเบาหวานนานก็ยิ่งมีโอกาสเกิดมากขึ้น โดยทั่วไปของประสาทตาผิดปกติจากเบาหวานจะไม่พบอาการในระยะแรก อาการตามมัวจะเกิดขึ้นใน ภายหลังเมื่อจุดรับภาพ (Macula) ได้รับผลกระทบทำให้การเห็นลดลง ดังนั้นสิ่งสำคัญที่สุดที่จะช่วย ป้องกันจะของประสาทตาผิดปกติในผู้ป่วยเบาหวานคือ การตรวจพบและได้รับการดูแลในระยะแรกของโรค ด้วยเทคโนโลยีทางจักษณ์ เช่นการทำให้ผู้วิจัยมีความสนใจที่จะศึกษาและนำเทคนิคการประมวลผลภาพ (Image processing) การสกัดข้อมูลภาพ (Image Extraction) ของลักษณะพยาธิกาเนิดของของประสาทตา ผิดปกติจากเบาหวาน (Diabetic Retinopathy) เพื่อประมวลผลภาพอย่างมีประสิทธิภาพและให้ได้ ข้อมูลที่เชื่อถือได้ช่วยในการตัดสินใจทางการแพทย์ ใน การวินิจฉัยให้การรักษาเบาหวาน และเป็นการ ป้องกันการตาบอดในกลุ่มประชากรเหล่านี้

1.2 วัตถุประสงค์ของโครงการวิจัย

- 1.2.1 เพื่อศึกษาเทคนิคการประมวลผลภาพสำหรับใช้ในการพัฒนาขั้นตอนการเตรียมภาพของภาพจ่อประสานตา
- 1.2.2 เพื่อศึกษาการจัดกลุ่มข้อมูลแบบอาศัยความหนาแน่นสำหรับใช้ในการพัฒนาขั้นตอนการแยกสกัดลักษณะภาพจ่อประสานตาผิดปกติ
- 1.2.3 เพื่อศึกษาการรู้จำภาพจ่อประสานตาผิดปกติสำหรับใช้ในการพัฒนาขั้นตอนการรู้จำรูปภาพจ่อประสานตา
- 1.2.4 เพื่อศึกษาและพัฒนาขั้นตอนวิธีการหาบริเวณและลักษณะเด่นของจ่อประสานตาผิดปกติจากเบาหวานที่เป็นไปได้
- 1.2.5 เพื่อให้ผู้ที่สนใจสามารถนำแนวความคิดที่นำเสนอไปศึกษาเพื่อทำการพัฒนาหรือประยุกต์ใช้ในงานวิจัยของตนเองต่อไป

1.3 ขอบเขตของโครงการวิจัย

การวิจัยครั้งนี้มุ่งที่จะศึกษาและพัฒนาการนำเทคโนโลยีประมวลผลภาพและการจัดกลุ่มข้อมูลมาใช้งานร่วมกันเพื่อสกัดข้อมูลที่เป็นลักษณะความผิดปกติของจ่อประสานตาจากเบาหวานโดยมีขอบเขตดังต่อไปนี้

- 1.3.1 ข้อมูลภาพจ่อประสานจากฐานข้อมูล Lappeenranta University of Technology ประเทศฟินแลนด์
- 1.3.2 ภาพจ่อประสานตาที่ใช้ในการประมวลผลภาพต้องเป็นภาพสีที่มีความละเอียดไม่ต่ำกว่า 96 จุดต่อนิ้ว
- 1.3.3 ภาพจ่อประสานตาที่ใช้ในการศึกษาต้องเป็นภาพที่แสดงเส้นประสาทและเส้นเลือดฝอย และรายละเอียดอื่นๆของจอตาอย่างชัดเจน

1.4 ประโยชน์ที่คาดว่าจะได้รับ

- 1.4.1 ได้ขั้นตอนวิธีการหาลักษณะเด่นของจ่อประสานตาที่ผิดปกติจากเบาหวานโดยอาศัยเทคนิคการประมวลผลภาพและการจัดกลุ่มข้อมูลมาตัดสินใจหาลักษณะผิดปกติที่เป็นไปได้
- 1.4.2 สามารถนำไปพัฒนาระบบช่วยตัดสินใจในงานด้านการวินิจฉัยอาการจ่อประสานตาผิดปกติจากเบาหวานซึ่งจะทำให้ช่วยลดค่าใช้จ่ายที่เป็นต้นทุนและเวลาในวินิจฉัยสำหรับเรื่องดังกล่าวให้น้อยลงจากเดิม
- 1.4.3 ขั้นตอนวิธีที่นำเสนอจะสามารถใช้เป็นต้นแบบในการศึกษาขั้นสูงต่อไป

1.5 ระยะเวลาทำการวิจัยและแผนการดำเนินงานตลอดโครงการวิจัย

ดำเนินการวิจัยแบบ 2 ปีต่อเนื่อง (ปีงบประมาณ 2555-2556)

แผนการดำเนินงานปีที่ 1 (ปีงบประมาณ 2555)

แผนการดำเนินงานปีที่ 2 (ปีงบประมาณ 2556)

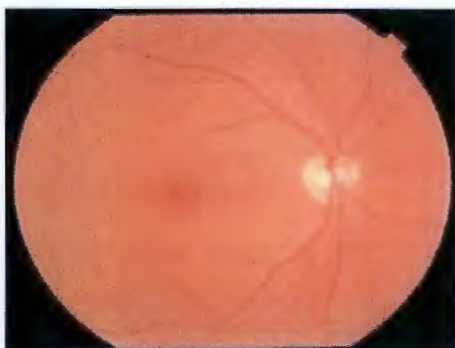
บทที่ 2 ทฤษฎีและงานวิจัยที่เกี่ยวข้อง

2.1 โรคจอตาเมล็ดซึมเย้มขึ้นจากผู้ป่วยเบาหวาน

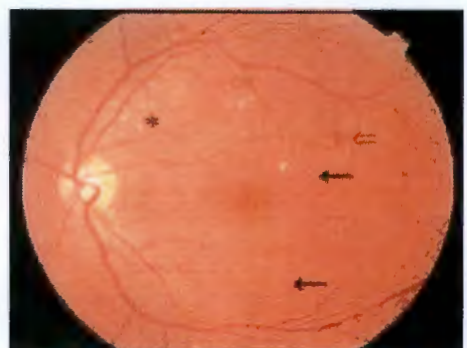
การเปลี่ยนแปลงที่จอประสาทตาพบว่า มีพยาธิสภาพอยู่ที่หลอดเลือดของจอประสาทตาโดยมีการอุดตันของหลอดเลือดฝอยและผนังหลอดเลือดฝอยบางแห่งมีการโป่งพอง การเปลี่ยนแปลงนี้มีกลไกการเกิดได้หลายทางจากการเปลี่ยนแปลงทางชีวเคมีซึ่งสัมพันธ์กับระดับน้ำตาลในพลาสมาที่สูง และ Glucose Metabolism โดยพบว่าระดับน้ำตาลในพลาสมาที่สูงขึ้นทำให้เกิดการคั่งของสาร Sorbitol ซึ่งแปลงสภาพมาจากน้ำตาลมีผลต่อการทำลายเซลล์ที่ผนังหลอดพลาスマฝอย ภาวะที่น้ำตาลในพลาสมาก็สูงทำให้เกิดการกระตุน Protein Kinase C และการหลั่งสาร Prostaglandin ทำให้การไหลเวียนของเลือดที่จอประสาทตาเปลี่ยนแปลงผนังหลอดเลือดมี Permeability เพิ่มขึ้นทำให้น้ำไขมันและสารประกอบอื่น ๆ ในพลาสมานำออกมากได้และร่างกายมีการหลั่งสารกระตุนต่าง ๆ เช่น Fibroblast Growth Factor, Vascular Endothelial Growth Factor, Platelet Derived Growth Factor ซึ่งมีผลกระตุนให้เกิดการสร้างหลอดเลือดฝอยใหม่ที่ผิดปกติในจอประสาทตา

การจำแนกระยะและลักษณะของจอประสาทตาผิดปกติจากเบาหวานโดยการเปลี่ยนแปลงที่จอประสาทตาแบ่งได้เป็น 3 ระยะคือ

1. Nonproliferative Diabetic Retinopathy (NPDR) หรือ Background Diabetic Retinopathy (BDR) เป็นการเปลี่ยนแปลงในระยะเริ่มแรก (รูปที่ 2-1 ก.) พยาธิสภาพที่จอประสาทตาที่พบได้คือ



รูปที่ 2-1 ก.แสดงจอประสาทตาปกติ



รูปที่ 2-1 ข.แสดงการเปลี่ยนแปลงที่จอประสาทตาในผู้ป่วยเบาหวานในระยะเริ่มแรกพบมี Microaneurysm(↔), Retinal Hemorrhage(↔) และ Hard Exudates(*)

1.1 การโป่งพองของหลอดเลือดฟอย (Microaneurysm) เกิดจากผนังหลอดเลือดฟอยบางลง และโป่งพองเห็นเป็นจุดแดงเล็กๆ หลอดเลือดฟอยที่โป่งพองหรือหลอดเลือดฟอยที่ผนังมีการเปลี่ยนแปลงอาจทำให้มีเลือดออกหรือมีไขมันรั่วอกมาอยู่ในชั้นจอประสาทตา

1.2 ไขมันในเลือดที่รั่วอกมาจากหลอดเลือด (Hard Exudate) เห็นเป็นก้อนขาวเหลืองอาจอยู่เป็นจุดหรือรวมเป็นกลุ่มใหญ่สะสมอยู่ในชั้นจอประสาทตา

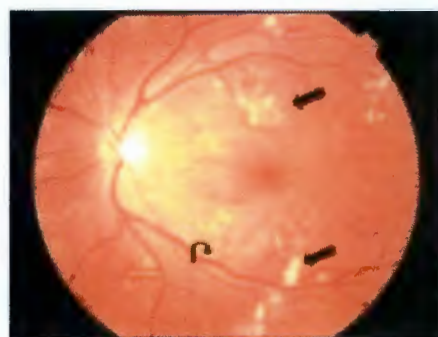
1.3 เลือดออกในจอประสาทตา (Retinal Hemorrhage) เป็นเลือดที่รั่วอกมาจากผนังของหลอดเลือดฟอยอาจเห็นเป็นจุดเล็กๆ (Dot Hemorrhage) หรือจุดใหญ่ (Blot Hemorrhage) หรือกระจายเป็นทางเหมือนเปลวไฟ (Flame-Shape Hemorrhage)

1.4 เส้นใยประสาทตาม (Cotton Wool Spots) เห็นเป็นก้อนสีขาวเหมือนปุยนุ่นเกิดจาก การขาดเลือดที่จอประสาทตาทำให้มีการบรวมของเส้นใยประสาทตา (Nerve Fiber Layer)

1.5 หลอดเลือดดำขยาย (Dilated Retinal Vein) พบรหตุผลเลือดดำ旁ตัวเป็นการเปลี่ยนแปลงในระยะเริ่มแรกของ Diabetic Retinopathy เนื่องจากมีการเพิ่มการไหลเวียนของเลือดที่จอประสาทตา

1.6 การบรวมบริเวณจุดภาพขัดของจอประสาทตา (Macular Edema) เป็นการบรวมที่บริเวณ Macula เกิดจากมีน้ำหรือ Serum รั่วอกมาจากหลอดเลือดและเกิดจากการสูญเสียหน้าที่การทำงานของเซลล์ Retinal Pigment Epithelium ที่ควบคุมภาวะสมดุลของน้ำในชั้นจอประสาทตา

2. Preproliferative Diabetic Retinopathy (PPDR) หรือ Severe Nonproliferative Diabetic Retinopathy (SevereNPDR) เป็นระยะที่จอประสาทตาขาดเลือดไปเสี้ยงมากขึ้น (ภาพที่ 2-2) เป็นการเปลี่ยนแปลงก่อนที่จะเข้าสู่ระยะ Proliferative Diabetic Retinopathy โดยพบการเปลี่ยนแปลงที่เพิ่มเติมจาก NPDR คือ



รูปที่ 2-2 แสดงการเปลี่ยนแปลงที่จอประสาทตาในผู้ป่วยเบาหวานในระยะ Preproliferative Diabetic Retinopathy มีเลือดออกกระจายทั่วไป (↔) หลอดเลือดดำขยายโป่งพอง (➡) และมีเส้นใยประสาทตามเห็นเป็น Cotton Wool Spot (☞)

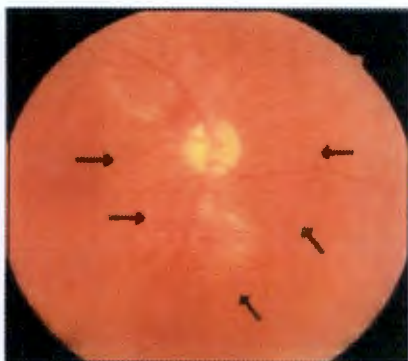
2.1 หลอดเลือดผิดปกติในชั้นจอประสาทตา (Intraretinal Microvascular Abnormalities หรือ IRMA) เห็นเป็นลักษณะเหมือนหลอดเลือดฟอยที่ขยายตัว (Capillary Dilatation) ซึ่งเกิดจากหลอดเลือดดำเจริญไปเลี้ยงยังบริเวณที่มี Capillary Closure หลอดเลือดเหล่านี้อาจดูคล้ายหลอดเลือดสร้างใหม่ที่ผิดปกติ (Neovascularization) แต่หลอดเลือดยังคงอยู่ในชั้นจอประสาทตา

2.2 เลือดออกในขันจ่อประสาทตาเป็นจำนวนมากพบมีเลือดออกเป็นจุดกระจายทั่วจ่อประสาทตา

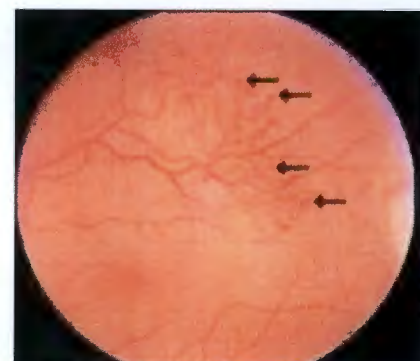
2.3 หลอดเลือดดำโป่งพองหรือโค้งเป็นวง (Venous Beading, Venous Loop) หลอดเลือดดำโป่งเพิ่มขนาดของเส้นผ่าศูนย์กลางอาจเห็นเป็นบล็อกๆ หรือโค้งเป็นวงเกิดเนื่องจากประสาทตาขาดเลือดมากขึ้น

2.4 เส้นใยประสาทตาบวมเป็นจำนวนมาก (Multiple Cotton Wool Spots) พบร Cotton Wool Spots เป็นจำนวนมากซึ่งแสดงถึงภาวะประสาทตาขาดเลือด

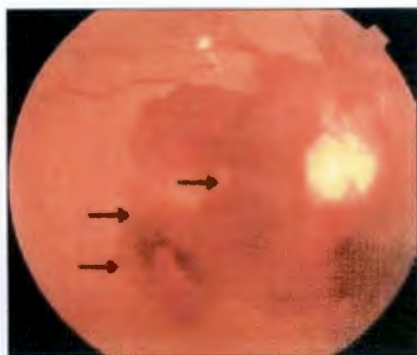
3. Proliferative Diabetic Retinopathy (PDR) เป็นการเปลี่ยนแปลงของจ่อประสาทตาระยะที่มีหลอดเลือดสร้างใหม่ (Neovascularization: NV) เกิดขึ้น (รูปที่ 2-3 ก. และ ข.) จะพบมีหลอดเลือดเจริญออกมานอกขันจ่อประสาทเข้าไปในวุ้นตาเส้นเลือดใหม่กลุ่มนี้จะมีผนังที่ไม่แข็งแรงจึงแตกง่ายเกิดเลือดออกในวุ้นตา (Vitreous Hemorrhage: VH) (รูปที่ 2-3 ค.) พบรีโนเยื่อพังผืด (Fibrovascular Tissue) เจริญตามหลอดเลือดที่ผิดปกติเข้าไปในวุ้นตาและเนื้อยื่อพังผืดจะดึงรั้งทำให้จ่อประสาทหลอก (Tractional Retinal Detachment: TRD) (รูปที่ 2-3 ง.) ซึ่งเป็นสาเหตุของตาบอด



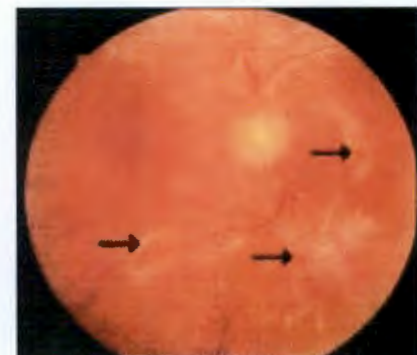
รูปที่ 2-3 ก. แสดงการเปลี่ยนแปลงของจ่อประสาทตาระยะที่เกิดหลอดเลือดใหม่ที่ผิดปกติบริเวณ Optic Disc (Neovascularization on Optic Disc: NVD) (⇨)



รูปที่ 2-3 ข. แสดงการเปลี่ยนแปลงของจ่อประสาทตาระยะที่เกิดหลอดเลือดใหม่บริเวณอื่นๆ (Neovascularization Elsewhere: NVE) (⇨)



รูปที่ 2-3 ค. แสดงการเปลี่ยนแปลงของจอประสาทตาระยะที่เกิดหลอดเลือดใหม่ซึ่งมีเลือดออกในวันต้า (\Rightarrow)

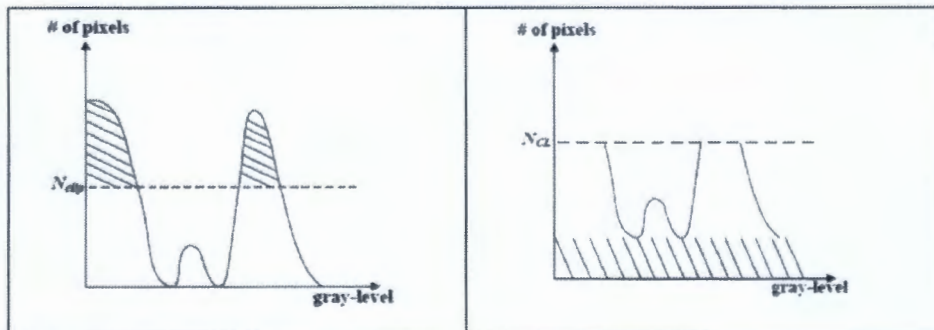


รูปที่ 2-3 ง. แสดงการเปลี่ยนแปลงของจอประสาทตาในระยะ PDR ซึ่งมีเนื้อเยื่อพังผืดดึงรั้งทำให้จอประสาทตาลอก (\Rightarrow)

ปัญหาที่นำเสนอในครั้งนี้เป็นปัญหาที่เกี่ยวกับการวิเคราะห์และสกัดหาคุณลักษณะเด่น (Feature Extraction) ของภาพจอประสาทตาที่ผิดปกติจากเบาหวานทางลักษณะการเปลี่ยนแปลงที่จอตาอย่างอัตโนมัติซึ่งจะเป็นประโยชน์ในการช่วยจักษุแพทย์คัดกรองผู้ป่วยที่มีจอประสาทตาเปลี่ยนแปลงแต่เริ่มแรกจะได้ให้การรักษาได้ทันท่วงที

2.2 Contrast Limited Adaptive Histogram Equalization (CLAHE)

CLAHE คือวิธีการเพิ่มคุณภาพของภาพ ซึ่งมีการพัฒนามาจาก Histogram Equalization (HE) โดย S.M. Pizer วิธีการนี้จะพิจารณารายละเอียดข้อมูลจาก HE ในแต่ละค่าพิกเซลบนบริเวณพื้นส่วนกลางของภาพต้นฉบับ โดยค่า histogram ที่มีระดับสูงกว่าค่าเฉลี่ยพิกเซลในระดับ gray จะถูกนำมากรราชายให้กับทุกพิกเซลในภาพ gray scale ซึ่งแทนด้วยตัวแปร N_{clip} ดังรูปที่ 2-4 ข.



รูปที่ 2-4 ก. ค่า Histogram ภาพต้นฉบับ

รูปที่ 2-4 ข. ค่า Histogram ที่ถูกตัด

ค่า histogram นี้จะมีความแตกต่างจากค่า histogram อื่น โดยผู้ใช้สามารถกำหนดระดับความหนาแน่นของค่าพิกเซลได้ วิธีการดังกล่าวสามารถแสดงดังสมการที่ 2.1

$$N_{aver} = \frac{N_{CR-X_P} \times N_{CR-Y_P}}{N_{gray}} \quad (2.1)$$

โดย $Naver$ คือค่าเฉลี่ยพิกเซล
 $Ngray$ คือหมายเลขของค่า gray scale ในแต่ละพื้นที่
 $NCR-Xp$ คือหมายเลขของพิกเซลใน x มิติในแต่ละพื้นที่นั้นๆ
 $NCR-Yp$ คือหมายเลขใน y มิติของพื้นที่นั้นๆ
 จากพื้นฐานของสมการที่ 1 NCL สามารถคำนวณจากสมการที่ 2.2

$$N_{CL} = N_{clip} \times N_{aver} \quad (2.2)$$

โดย NCL คือค่าระดับการตัดจริง
 $Nclip$ คือค่าสูงสุดต่างๆ ในระดับ gray scale ของค่าเฉลี่ยพิกเซลในค่าระดับ gray ตามลักษณะพื้นที่นั้นๆ โดยค่า histogram จากภาพต้นฉบับ แสดงในรูปที่ 1 เมื่อหมายเลขของพิกเซลมีค่ามากกว่า $Nclip$ พิกเซลนั้นจะถูกตัด จากนั้นค่าพิกเซลจะถูกกระจายไปยังทุกพิกเซลในระดับ gray ดังสมการที่ 2.3

$$N_{acp} = \frac{N_{\Sigma clip}}{N_{gray}} \quad (2.3)$$

โดย $Nacp$ คืออัตราส่วนระหว่างผลรวมของ histogram ต่อค่าสีระดับเทาจากพื้นฐานของสมการข้างต้นสามารถคำนวณค่าระดับของ histogram ในแต่ละพื้นที่จากกฎดังสมการที่ 2.4

$$\begin{aligned} & If HCR(i) > NCL, HNCR(i) = NCL; \\ & Else if HCR(i) + Nacp \geq NCL, HNCR(i) = NCI; \\ & Else HNCR(i) = HCR(i) + Nacp \end{aligned} \quad (2.4)$$

โดย $HCR(i)$ คือหมายเลขของแต่ละพิกเซลในระดับ gray ของพื้นที่นั้นๆ
 i คือหมายเลขของค่าในระดับ gray
 หลังจากการกระจายค่า histogram ใหม่ให้กับทุกพิกเซลในระดับ gray ดังสมการที่ 2.5

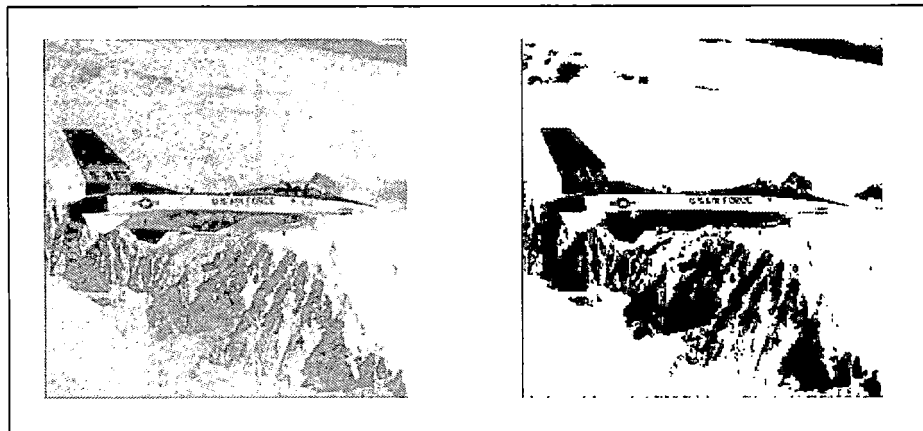
$$S = \frac{N_{gray}}{N_{LP}} \quad (2.5)$$

โดย S คือค่า histogram ใหม่ที่กระจายให้ทุกพิกเซล
 N_{LP} คือค่าพิกเซลที่ตัดมาเพื่อใช้คำนวณค่าใหม่

2.3 Thresholding

Thresholding เป็นวิธีการแบ่งกลุ่มข้อมูลภาพ (Image Segmentation) ที่ง่ายที่สุด ซึ่งใช้สำหรับสกัดข้อมูลภาพส่วนที่เป็นวัตถุที่เรากำลังสนใจ ออกจากส่วนพื้นหลัง โดยการสกัด โดยใช้ความสัมพันธ์ทางคณิตศาสตร์อย่างง่ายมาเป็นเงื่อนไขสำหรับการตัดสินใจดังสมการที่ 2.6

$$f(x, y) = \begin{cases} 0 & if f(x, y) < T \\ 255 & otherwise \end{cases} \quad (2.6)$$



รูปที่ 2-5 การแบ่งกลุ่มข้อมูลภาพโดยวิธี Thresholding

2.4 Object Attribute Thresholding Process (OAT)

Object Attribute Thresholding (OAT) เป็นกระบวนการทำขั้ของอัลกอริธึม Otsu บนชิส โตแกรมเพื่อปรับหา threshold ที่เหมาะสมสำหรับแยกองค์ประกอบของภาพ ซึ่งเป็นวิธีที่ประยุกต์มาจากการแยกข้อมูลวัดคุณภาพพื้นหลังของ Otsu (Otsu's Algorithm) โดย OAT จะเป็นวิธีเรียกต้นเอง ขั้ของ Otsu (Recursive Otsu's Algorithm) เพื่อแยกคุณลักษณะของภาพ โดยขั้ตอนวิธี OAT ประกอบไปด้วย 2 ขั้ตอน ได้แก่ ขั้ตอนที่ 1 เป็นขั้ตอนการเตรียมภาพเพื่อระบุลักษณะวัดคุณโดยใช้วิธีการ Otsu และขั้ตอนที่ 2 เป็นขั้ตอนการกำจัดพื้นหลังจากลักษณะวัดคุณโดยใช้วิธีการ Otsu ซ้ำๆ จนกระทั่งได้ threshold ที่เหมาะสม นั่นคือมีความเข้มใกล้กับความเข้มของลักษณะที่พบ ซึ่งวิธีนี้จะทำให้เราได้ขอบของภาพและสามารถประยุกต์ใช้กับภาพที่มีความซับซ้อนที่มีจุดสูงสุดของชีสโตแกรมหลายจุด (Multiple Peak Histograms)

2.5 Frangi Filter

เป็นวิธีในการแยกภาพวัตถุใดๆ ที่มีโครงสร้างเป็นหลอดเลือด ส่วนใหญ่แล้วการกรองการปรับปรุงหลอดเลือดบนพื้นฐานของ Hessian โดยใช้ eigenvalue สำคัญจาก Hessian Matrix เพื่อให้เป็นโครงสร้างเลขคณิต ซึ่งสามารถถูกวิเคราะห์ว่าเป็นรูปทรงคล้ายหลอด

Hessian matrix ของภาพที่ประมวลผลในจุด x_0 ที่ scale σ , $H_\sigma(x)$ สามารถคำนวณได้ด้วยการหาอนุพันธ์ของ Gaussian โดยสมการที่ 2.7

$$\mathcal{H}_0(I, x) = \frac{\partial^2 I_\sigma}{\partial x^2} = I(x) * \frac{\partial^2 g_\sigma(x)}{\partial x^2} \quad (2.7)$$

โดย I คือ รูปภาพต้นฉบับ

g_σ คือ Gaussian function

σ คือ ค่าเบี่ยงเบนมาตรฐาน (Standard Deviation)

การแยกส่วนประกอบของโครงอนุพันธ์อันดับสองของรูปที่สักด้วย eigenvalues ($\lambda_1 \leq \lambda_2 \leq \lambda_3$) และทิศทาง ($\overline{u_1}, \overline{u_2}, \overline{u_3}$) โดยโครงสร้างที่สรุปรวมเป็นดังนี้
 $|\lambda_1| \approx 0, |\lambda_1| \ll |\lambda_2|, \lambda_2 \approx \lambda_3$ ด้วย $\overline{u_1}$ ทิศทางความโค้งที่เล็กที่สุด (ตามแนวเส้น)

การใช้งานข้อมูลนี้กำหนดให้ดังสมการที่ 2.8

$$V_F^\sigma(x) = \begin{cases} 0 & \text{if } \lambda_2 > 0 \text{ or } \lambda_3 > 0 \\ \left(1 - \exp\left(\frac{R_A^2}{2\alpha^2}\right)\right) \exp\left(\frac{R_B^2}{2\beta^2}\right) \left(1 - \exp\left(\frac{S^2}{2c^2}\right)\right) & \text{otherwise} \end{cases} \quad (2.8)$$

เมื่อ α, β, c เป็นตัวแปรที่ควบคุม sensitivity ของการกรอง เพื่อวัดผลความแตกต่างเพื่อจำแนกระหว่าง โครงสร้าง tube-like และ plate-like (R_A), blob-like (R_B) และภาพพื้นหลัง (S) โดย plate-like (R_A), blob-like (R_B) และภาพพื้นหลัง (S) มีสมการตามสมการที่ 2.9 2.10 และ 2.11

$$R_A = \frac{|\lambda_2|}{|\lambda_3|} \quad (2.9)$$

$$R_B = \frac{|\lambda_1|}{\sqrt{|\lambda_2 \lambda_3|}} \quad (2.10)$$

$$S = \sqrt{|\lambda_1^2 + \lambda_2^2 + \lambda_3^2|} \quad (2.11)$$

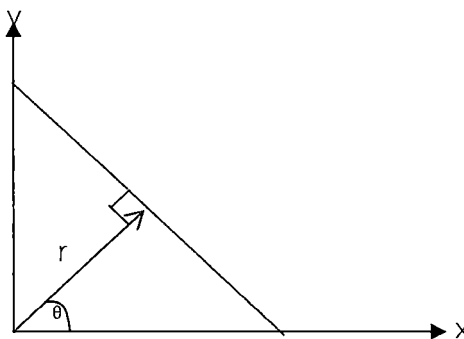
การวัดการผสานเก็บผลของการกรองข้อมูลใน scale ที่แตกต่างกันได้รับผลสูงที่สุดโดยสมการที่ 2.12

$$V_F(x) = \max_{\sigma_{min} \leq \sigma \leq \sigma_{max}} V_F^\sigma(x) \quad (2.12)$$

2.6 การแปลงฮัฟ (Hough Transform)

การแปลงฮัฟ (Hough Transform) เป็นการค้นหาเส้นตรงหรือวงกลมจากจุดต่างๆ โดยใช้การให้ทุกจุดที่อยู่บนเส้นตรงมีเส้นได้จากผ่าน จานวนนี้มาหาสมการที่ถูกให้มากที่สุดจะเป็นสมการที่ผ่านจุดมากที่สุด

การค้นหาเส้นตรงใช้การแปลงฮัฟในภาพสองมิติ ตัวอย่างของการแปลงฮัฟ คือการใช้การแปลงเชิงเส้นในการหาเส้นตรง สมการเส้นตรง $y = mx + b$ ได้นำมาใช้ในการแสดงภาพบนระนาบ x, y แนวคิดของการแปลงฮัฟ คือจะพิจารณาจากลักษณะของเส้นตรงที่ไม่ใช่จุดของภาพ $(x_1, y_1), (x_2, y_2), \dots, (x_n, y_n)$ แต่จะอยู่ในรูปของพารามิเตอร์ต่างๆ เช่น ความชัน m และพารามิเตอร์ b จากสมการเส้นตรง $y = mx + b$ สามารถแสดงด้วยจุด (b, m) ในพารามิเตอร์สเปช



รูปที่ 2-6 ความสัมพันธ์ระหว่างเวกเตอร์ r กับจุดของเส้นตรง

จากรูปที่ 2-6 คือระยะทางระหว่างจุดเริ่มต้นกับเส้นตรง θ คือมุมของเวกเตอร์จากจุดเริ่มต้นไปยังจุดที่ใกล้สุด และดังตั้งสมการที่ 2.13 และ 2.14

$$y = \left(-\frac{\cos\theta}{\sin\theta} \right) x + \left(\frac{r}{\sin\theta} \right) \quad (2.13)$$

$$r = x\cos\theta + y\sin\theta \quad (2.14)$$

ขั้นตอนของการแปลงข้ามจะใช้อาร์เรย์แบบสองมิติในการหาเส้นตรง $y = mx + b$ โดยมิติของอาร์เรย์จะเป็น $n \times n$ ซึ่งเท่ากับจำนวนของพารามิเตอร์ที่ไม่ทราบ เช่น ในปัญหาของการแปลงข้ามพารามิเตอร์ที่ไม่ทราบคือ (m, b) และ (r, θ)

ส่วนการแปลงข้ามสำหรับวงกลมใช้สำหรับคำนวณข้อมูลใน 3 มิติ (a, b, r) โดยที่ (a, b) เป็นตำแหน่งของจุดศูนย์กลาง r เป็นรัศมี ดังสมการที่ 2.15 2.16 และ 2.17

$$(x - a)^2 + (y - b)^2 = r^2 \quad (2.15)$$

$$x = a + r\cos\theta \quad (2.16)$$

$$y = b + r\sin\theta \quad (2.17)$$

วิธีการนี้จะเป็นการสร้างวงกลมที่เหมาะสมกับขอบของวัตถุโดยใช้อาร์เรย์สะสม (Accumulator Array) มีขั้นตอนดังนี้

1. ทำการสร้างตัวแปรอาร์เรย์สะสมของเซลล์สำหรับแต่ละจุด กำหนดค่าเริ่มต้นเป็น 0
2. ในแต่ละจุด แต่ละเซลล์จะเก็บค่าที่ทำการคำนวณด้วยสมการที่ 2.18

$$(x - a)^2 + (y - b)^2 = r^2 \quad (2.18)$$

3. คำนวณหาค่า a และ b จากสมการที่ 19

$$a = x - r\cos\theta, b = y - r\sin\theta \quad (2.19)$$

4. จานวนเซลล์ที่มีค่ามากที่สุดที่ให้ค่ามากกว่าเซลล์ที่อยู่รอบๆ เซลล์ที่มากสุดนี้จะมีความน่าจะเป็นสูงในการบอกราคาของจุดที่มีรัศมี r

2.7 Kirsch's templates

เป็นวิธีการที่เกี่ยวข้องกับการกรองโดยใช้รูปแบบการกำหนดตำแหน่งที่แตกต่างกันตาม threshold การเปลี่ยนแปลงรูปภาพผลลัพธ์สามารถเปลี่ยนได้จากค่าของ threshold ที่ใช้พื้นที่ที่เหลือของผลลัพธ์ถูกดำเนินการโดยใช้เทคนิคขอบเขต วิธีการนี้จะใช้สำหรับการตรวจหาขอบ หรือ ภาพขอบสามารถถือได้ว่าเป็นความลาดชันของพื้นที่ ตัวดำเนินการ Kirsch สามารถปรับค่า threshold ที่เกี่ยวข้องได้โดยอัตโนมัติจากลักษณะภาพ ดังนั้นตัวดำเนินการความลาดชันของ Kirsch ถูกเลือกเพื่อสกัดเส้นขอบของวัตถุ การตรวจจับขอบของ Kirsch จะใช้ตัวกรองที่มีขนาด 3×3 และหมุนในมุม 45 องศา ผ่านทั้ง 8 ทิศทาง ได้แก่ ทิศเหนือ ทิศตะวันตกเฉียงเหนือ ทิศตะวันตก ทิศตะวันตกเฉียงใต้ ทิศใต้ ทิศตะวันออกเฉียงใต้ ทิศตะวันออกและทิศตะวันออกเฉียงเหนือ ตัวกรองจะแตกต่างกันตามที่กำหนดให้ด้านล่าง (Muthukrishnan และ Radha, 2011):

$$M_0 = \begin{bmatrix} -3 & -3 & 5 \\ -3 & 0 & 5 \\ -3 & -3 & 5 \end{bmatrix} \quad M_1 = \begin{bmatrix} -3 & 5 & 5 \\ -3 & 0 & 5 \\ -3 & -3 & -3 \end{bmatrix}$$

$$M_2 = \begin{bmatrix} 5 & 5 & 5 \\ -3 & 0 & -3 \\ 3 & -3 & -3 \end{bmatrix} \quad M_3 = \begin{bmatrix} 5 & 5 & -3 \\ 5 & 0 & -3 \\ -3 & -3 & -3 \end{bmatrix}$$

$$M_4 = \begin{bmatrix} 5 & -3 & -3 \\ 5 & 0 & -3 \\ 5 & -3 & -3 \end{bmatrix} \quad M_5 = \begin{bmatrix} -3 & -3 & -3 \\ 5 & 0 & -3 \\ 5 & 5 & -3 \end{bmatrix}$$

$$M_6 = \begin{bmatrix} -3 & -3 & -3 \\ -3 & 0 & -3 \\ 5 & 5 & 5 \end{bmatrix} \quad M_7 = \begin{bmatrix} -3 & -3 & 5 \\ -3 & 0 & 5 \\ -3 & 5 & 5 \end{bmatrix}$$

2.8 Morphology (Opening and Closing)

การเปิดและปิดคือสองตัวดำเนินการที่สำคัญจากลักษณะทางสัณฐานวิทยาทางคณิตศาสตร์ ได้มาจากการดำเนินงานพื้นฐานของ erosion และ dilation เช่นเดียวกับตัวดำเนินการที่จะนำไปใช้ตามปกติกับภาพใบหน้า การเปิดจะคุ้งกับการปิด เช่น การเปิดพิกเซลด้านหน้าด้วยองค์ประกอบโครงสร้างโดยเฉพาะเทียบเท่ากับการปิดพิกเซลพื้นหลังที่มีองค์ประกอบเดียวกัน หรือ การปิดพิกเซลพื้นหลังด้วยองค์ประกอบโครงสร้างโดยเฉพาะเทียบเท่ากับการเปิดพิกเซลด้านหน้าที่มีองค์ประกอบเดียวกัน

การเปิดหมายถึง erosion และตามด้วย dilation โดยใช้องค์ประกอบโครงสร้างที่เหมือนกัน สำหรับการดำเนินงานของห้องส่อง ตัวดำเนินการเปิดจึงต้องใช้สองปัจจัยการผลิต ได้แก่ ภาพที่จะเปิด และองค์ประกอบโครงสร้าง การเปิดในระดับสีเทาประกอบด้วย erosion ของระดับสีเทา และตามด้วย dilation ระดับสีเทา ผลกระทบขั้นพื้นฐานของการเปิดค่อนข้างเหมือน erosion มีแนวโน้มที่จะลบ

พิกเซลบางส่วนของด้านหน้า (สว่าง) จากขอบของพื้นที่ของพิกเซลด้านหน้า ผลกระทบของตัวดำเนินการคือการรักษาพื้นที่ด้านหน้าที่มีรูปร่างคล้ายกับองค์ประกอบโครงสร้างนี้หรือสามารถมีองค์ประกอบโครงสร้างที่สมบูรณ์ ในขณะกำจัดพื้นที่อื่น ๆ ของพิกเซลด้านหน้า

การปิดเหมือนกับวิธีการ dilation มีแนวโน้มที่จะขยายขอบเขตของการทำงานพื้นที่ด้านหน้า (สว่าง) ในภาพ (และลดสีพื้นหลังในพื้นที่ด้านล่าง) แต่มันทำลายรูปร่างขอบเขตเดิมน้อย ผลกระทบของตัวดำเนินการคือการรักษาพื้นหลังที่มีรูปร่างคล้ายกับองค์ประกอบโครงสร้างนี้หรือสามารถมีองค์ประกอบโครงสร้างที่สมบูรณ์ ในขณะกำจัดพื้นที่อื่น ๆ ของพิกเซลพื้นหลัง การปิดจะดำเนินการในสิ่งที่ตรงกันข้ามกับการเปิด มันถูกกำหนดเป็น dilation และตามด้วย erosion โดยใช้องค์ประกอบโครงสร้างเหมือนกันสำหรับการดำเนินงานของห้องสอง ดำเนินการปิดจึงต้องใช้สองปัจจัยการผลิต ได้แก่ ภาพที่จะถูกปิด และองค์ประกอบโครงสร้าง การเปิดในระดับสีเทาประกอบด้วย dilation ของระดับสีเทา และตามด้วย erosion ระดับสีเทา

2.9 การจัดกลุ่ม (*Clustering*)

ความต้องการสร้างโครงสร้างและการเรียนรู้ เพื่อสร้างการจัดกลุ่มวิจัยในสาขาวิชาขั้นสูง ทำให้จำนวนของข้อมูลเติบโตอย่างรวดเร็ว และมนุษย์ไม่สามารถค้นหาความรู้อย่างง่ายจากข้อมูลที่มีปริมาณมากในฐานข้อมูลโดยปราศจากการใช้เทคนิคการสรุปพื้นฐานทางสถิติของข้อมูลได้ ซึ่งข้อมูลโดยทั่วๆ ไปสามารถอธิบายได้ด้วยสองวิธี ได้แก่ 1) อธิบายจากคุณลักษณะ (Attributes/Features) ของข้อมูล หรือ 2) อธิบายโดยดูจากความสัมพันธ์ของจุดข้อมูลนั้นกับจุดข้อมูลอื่นๆ เช่นระยะห่างระหว่างสองจุด ข้อมูล ความเหมือนหรือความคล้ายกันของสองจุดข้อมูล เป็นต้น อย่างไรก็ตามความสัมพันธ์ระหว่างจุดข้อมูลที่มีความซับซ้อน หรือระหว่างลักษณะ หรือห้องสองอย่างสามารถค้นหาผ่านการวิเคราะห์จัดกลุ่มข้อมูล (Cluster Analysis) ได้

การจัดกลุ่มข้อมูลหมายถึงกระบวนการในการแบ่งข้อมูลออกเป็นกลุ่มๆ แบบอัตโนมัติ โดยที่ไม่ต้องมีคลาสคำตอบเรียกเทคนิคนี้ว่าเทคนิคการเรียนรู้โดยไม่มีผู้สอน (Unsupervised Learning Technique) ซึ่งแต่ละกลุ่มเรียกว่าคลัสเตอร์ (Cluster) ข้อมูลที่อยู่ในกลุ่มเดียวกันจะมีความเหมือนหรือคล้ายกันมากกว่าข้อมูลที่อยู่ต่างกลุ่ม ตัวอย่างการนำการจัดกลุ่ม มาประยุกต์ใช้ เช่นในสาขาวิทยา การจัดกลุ่มถูกใช้ในการจัดแบ่งสิ่งมีชีวิตออกเป็นกลุ่มสปีชีต่างๆ การประยุกต์ในสาขาวิชาอื่นๆ คือการจัดการลูกค้าสัมพันธ์ ดังนั้นจะเห็นว่าการจัดกลุ่มคือสิ่งที่จำเป็นในกระบวนการการทำงานของข้อมูล เพราะสามารถจัดการสรุปข้อมูลได้ง่าย

วิธีการจัดกลุ่มที่แบ่งออกเป็น 2 ประเภทได้แก่วิธีการแบบตัดแบ่ง (Partitive Algorithms) และวิธีการแบบลำดับชั้น (Hierarchical Methods) วิธีการแบบตัดแบ่งเป็นวิธีการคล้ายกับ c-Means คือทำการจัดกลุ่มรูปแบบของข้อมูลออกเป็นกลุ่มหรือคลัสเตอร์ตามวัตถุประสงค์ที่กำหนด ซึ่งจำนวนคลัสเตอร์จะถูกกำหนดไว้ก่อนล่วงหน้า ส่วนวิธีการแบบลำดับชั้นจะจัดกลุ่มด้วยวิธี Agglomerative และ Divisive จะไม่มีการกำหนดจำนวนกลุ่ม แต่จะมีการกำหนดค่าหรือเงื่อนไขบางอย่างในการจัดกลุ่มเอาไว้

วิธีการจัดกลุ่มตามลำดับชั้น (Hierarchical Clustering)

วิธีการจัดกลุ่มตามลำดับชั้นจะทำการหาความสัมพันธ์ของข้อมูลแบบลำดับชั้นโดยใช้แผนผังเดนโตรแกรมซึ่งมีลักษณะเป็นโครงสร้างแบบต้นไม้ มีการนำเอาเมทริกต์แสดงความคล้ายหรือความไม่คล้ายกันของแต่ละคู่ของรูปแบบข้อมูลมาใช้ในวิธีการนี้ การแบ่งของเดนโตรแกรมทำได้จากล่างไปบนโดยการเริ่มจากแต่ละขอบเขตหรือข้อมูลแต่ละตัว การจัดกลุ่มตามลำดับชั้น สามารถลำดับชั้นต้นไม้ได้ 2 วิธี

1. การแบ่งแยกออก (Divisible Algorithms) เป็นการจัดกลุ่มตามลำดับจากบนลงล่าง (Top-Down) ซึ่งจะเริ่มจากกลุ่มใหญ่ที่สุดหรือกลุ่มที่อยู่ต่ำแห่ง Root และจะถูกแบ่งออกเป็นกลุ่มย่อยลงมา เป็นการจัดข้อมูลจากหัวไปปลาย เอียด คือการแบ่งไปเป็นส่วนของส่วนย่อยแล้วทำการแบ่งแต่ละส่วนย่อยเป็นกลุ่มที่เล็กกว่า

2. การรวมเป็นกลุ่มเป็นก้อน (Agglomerative Algorithms) เป็นการจัดกลุ่มตามลำดับจากล่างขึ้นบน (Bottom-Up) คือเป็นการรวมกลุ่มของกลุ่มย่อยที่มีระยะห่างกันน้อยสุดรวมเข้าด้วยกัน จนได้กลุ่มที่ต้องการ เป็นการจัดกลุ่มแบบละเอียดไปทางบัน วิธีนี้เริ่มด้วยการให้ข้อมูลทุกตัวอยู่ต่างกลุ่ม กัน ในแต่ละลำดับชั้นจะทำการรวมกลุ่มที่มีความคล้ายคลึงกันมากที่สุดเข้าด้วยกันเกิดเป็นกลุ่มข้อมูลที่ใหญ่ขึ้นเรื่อยๆ โดยการหากลุ่มของข้อมูลที่ใกล้ที่สุดมาคู่กัน แล้วค่อยๆ รวมไปเรื่อยๆ

ทั้งวิธีการแบ่งแยกออกหรือการรวมเป็นกลุ่มเป็นก้อนถ้าไม่เหมาะสมจะทำให้การจัดกลุ่มมีความผิดพลาดได้ แต่โดยทั่วไปแล้ววิธีการแบบรวมเป็นกลุ่มเป็นก้อนเป็นที่นิยมมากกว่า อย่างไรก็ตาม หากข้อมูลมีขนาดใหญ่วิธีการนี้ก็อาจไม่เหมาะสม เพราะเวลาที่ใช้เป็นกำลังสอง $O(N^2)$

การจัดกลุ่มแบบ Agglomerative Hierarchy (Agglomerative Hierarchical Clustering)

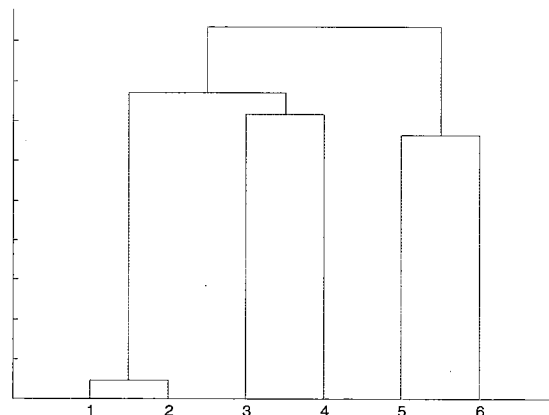
การรวมเป็นกลุ่มก้อน เริ่มต้นจากพิจารณาจุดหรือตำแหน่งที่อยู่ในบริเวณส่วนเฉพาะของแต่ละกลุ่ม ซึ่งแต่ละชั้นตอนจะทำการรวมกลุ่มเข้าด้วยกัน แนวคิดของวิธีการนี้เพื่อกำหนดความใกล้ชิดหรือความสัมพันธ์ของกลุ่มนั้นๆ รวมเข้าด้วยกัน การดำเนินการของกลุ่ม เป็นการดำเนินการแบบจากบนลงล่าง โดยทั่วไป อัลกอริทึมการรวมเป็นกลุ่มก้อน เป็นการแบ่งอย่างละเอียดไปทางบัน ดังจะกล่าวถึงรายละเอียดเทคนิควิธีการ Agglomerative Hierarchical Clustering ต่อไปนี้

วิธีการ Agglomerative Hierarchical Clustering นี้เป็นจัดกลุ่มโดยการหา ค่าความแตกต่างน้อยที่สุด (Single Linkage) ค่าความแตกต่างมากที่สุด (Complete Linkage) และ ค่าความแตกต่างแบบค่าเฉลี่ย (Group Average Linkage) โดยทั้งสามวิธีนี้มีความแตกต่างกันในทางการอิงไบลักษณะความเหมือนซึ่ง ค่าความแตกต่างน้อยที่สุด คิดจากค่าความแตกต่างระหว่างคู่ของข้อมูลที่มีความแตกต่างกันน้อยที่สุด โดยข้อมูลคู่นั้นต้องอยู่ต่างกลุ่มกัน ส่วนค่าความแตกต่างมากที่สุด คิดจากค่าความแตกต่างระหว่างคู่ของข้อมูลที่มีความแตกต่างกันมากที่สุด โดยข้อมูลคู่นั้นต้องอยู่ต่างกลุ่มกันและค่าความแตกต่างระหว่างคู่ของข้อมูลที่มีความแตกต่างกันมากที่สุด คิดจากค่าเฉลี่ยของค่าความแตกต่างระหว่างทุกคู่ของข้อมูล โดยข้อมูลคู่นั้นต้องอยู่ต่างกลุ่มกัน

การคำนวณระยะห่างสำหรับขั้นตอนการเริ่มต้นของ Agglomerative Clustering Algorithm มีขั้นตอนดังนี้

1. กำหนดตำแหน่งของจุด สร้างรายการแสดงระยะห่างระหว่างกลุ่ม (Inter Cluster) โดยไม่เรียงลำดับการจับคู่ของตัวอย่าง แต่จะเรียงลำดับรายการนี้จากน้อยไปมาก
2. ขั้นตอนต่อไปเรียงลำดับรายการตามระยะห่างให้เป็นค่า d_k กราฟของตัวอย่าง เมื่อคู่ของตัวอย่างใกล้กันกว่า d_k ให้ย้ายไปอยู่กลุ่มใหม่ถ้าตัวอย่างเป็นสมาชิกภายในกลุ่มอยู่แล้ว แต่ถ้าไม่ใช่ให้วางไว้ไปเรื่อยๆ
3. ผลลัพธ์ของอัลกอริทึมนี้เป็นกราฟที่มีลำดับการซ้อนกันตามระยะห่างระหว่างกลุ่ม

ในวิธีการแบบ Agglomeratively แผนภาพเดนโดรแกรมแสดงให้เห็นถึงขั้นตอนในการจัดกลุ่ม โดยแต่ละกลุ่มจะถูกรวบเข้าด้วยกันแบบลำดับชั้น การจัดกลุ่มของข้อมูลในแต่ละชั้นจะถูกกำหนดมาจากการตัดเดนโดรแกรมที่ระดับกำหนดไว้



รูปที่ 2-7 Dendrogram for Hierarchical Clustering

จากรูปที่ 2-7 แผนภาพเดนโดรแกรมแสดงข้อมูลหมายเลขตั้งต่อไปนี้ 1, 2, 3, 4, 5, 6 แผนภาพแสดงให้เห็นถึงการจัดกลุ่มแบบลำดับชั้น ข้อมูลแต่ละตัวจะถูกรวบเข้ากลุ่มตามลำดับดังนี้ 12, 34, 56, 1234, 123456 และการแบ่งข้อมูลก็จะทำย้อนกลับกัน ซึ่งในการจัดกลุ่มด้วยวิธีการนี้ไม่ต้องกำหนดจำนวนกลุ่มของข้อมูล

2.10 การทบทวนวรรณกรรม/สารสนเทศ (*Information*) ที่เกี่ยวข้อง

AlirezaOsareh, BitaShadgar และ RichardMarkham (2009) นำเสนอทความเรื่อง “A Computational-Intelligence-Based Approach for Detection of Exudates in Diabetic Retinopathy Images” โดยในบทความนี้นำเสนอวิธีการอัตโนมัติสำหรับการตรวจจับการซึมเย็นขันในภาพจอตาโดยผู้วิจัยเลือกใช้เทคนิคการจัดกลุ่มแบบ Fuzzy-c-means สำหรับการแยกสีของภาพจอตาจากนั้นทำการแบ่งกลุ่มของภาพจอตาออกเป็นสองประเภทคือภาพที่มีการซึมเย็นขันและภาพไม่มีการซึมเย็นขันโดยใช้โครงข่ายประสาทเทียมแบบหลายชั้น (Multi-layer Perceptron Neural Network)

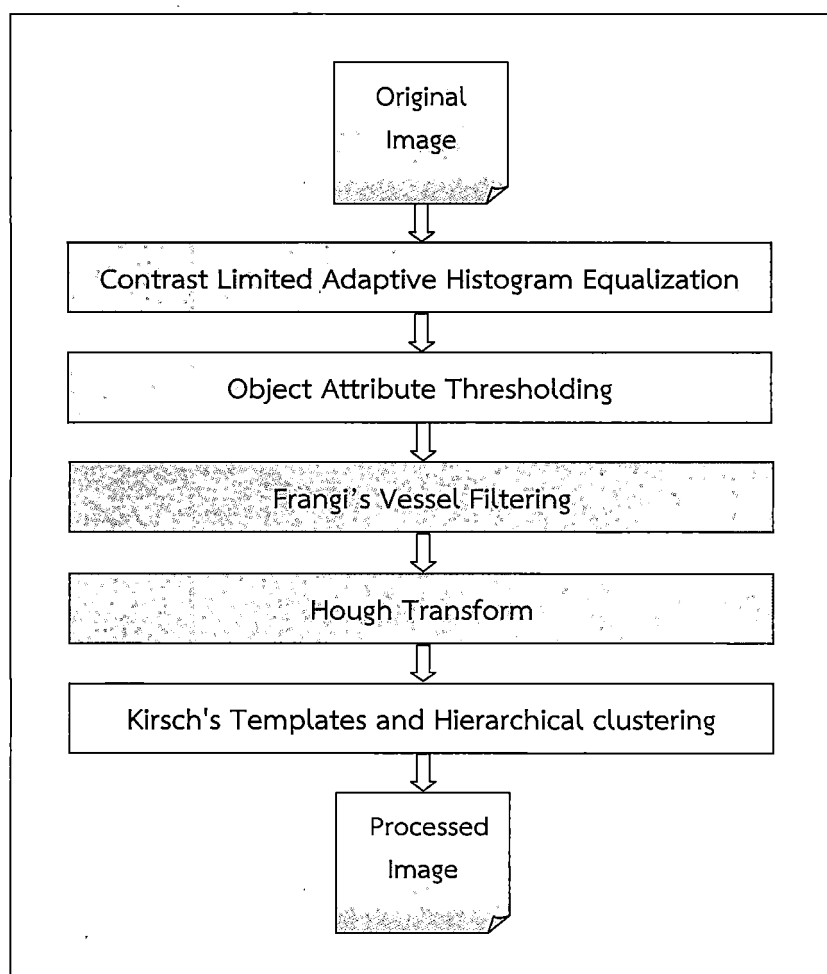
P. Kahai, K. R. Namuduri, และ H. Thompson (2006) นำเสนอทความเรื่อง “A Decision Support Framework for Automated Screening of Diabetic Retinopathy” ผู้วิจัยนำเสนอระบบสนับสนุนการตัดสินใจสำหรับผู้ป่วยเบาหวานที่มีอาการ pragmata ที่ติดตัวโดยใช้กูการตัดสินใจของเบร์

Claral. Sanchez, Roberto Hornero, Marial. Lopez, Mateo Aboy, Jesus Poza, และ Daniel Abasolo (2008) นำเสนอทความเรื่อง “A Novel Automatic Image Processing Algorithm for Detection of Hard Exudates based on Retinal Image Analysis” ผู้วิจัยนำเสนอวิธีการแบ่งแยกเชิงเส้นของฟิเชอร์ (Fisher's Linear Discriminant Analysis) และสารสนเทศของสีภาพจากการสำหรับการคัดแยกประเภทของภาพที่มีการซึมเย้มขั้น

P. Aravindhan และ P. N. Jebarani Sargunar (2010) นำเสนอทความเรื่อง “Automatic Exudates Detection in Diabetic Retinopathy Images Using Digital Image Processing Algorithms” ผู้วิจัยนำเสนอวิธีการประมวลผลภาพเบื้องต้นเพื่อกำจัดสัญญาณรบกวนจากน้ำหนักของ MCN (Modified Cross Point Number) สำหรับการสกัดภาพการซึมเย้มขั้นและทำการจัดกลุ่มข้อมูลโดยใช้ Fuzzy c-Means Algorithm.

บทที่ 3 วิธีดำเนินการวิจัย

ในวิธีดำเนินงานวิจัยได้นำเสนอวิธีการคัดกรองโรคจอตาที่มีสิ่งชีมเยิ้มขันจากผู้ป่วย โรคเบาหวานโดยนำภาพดวงตาของผู้ป่วยมาสกัดเพื่อตรวจจับสิ่งชีมเยิ้มขัน การสกัดและตรวจจับสิ่งชีมเยิ้มขันนี้แบ่งออกเป็น 5 ขั้นตอนหลัก คือ 1) การปรับปรุงคุณภาพของรูปภาพด้วย CLAHE 2) การแยกภาพพื้นหลังออกจากภาพดวงตาด้วย Object Attribute Thresholding Process 3) การตรวจหาเส้นเลือดด้วย Frangi's Vessel Filtering 4) การตรวจหาจานประสาทด้วย Hough transform และ 5) การระบุพื้นที่ของสิ่งชีมเยิ้มขันด้วย Kirsch's Templates และการแบ่งกลุ่มข้อมูลโดยใช้ขั้นตอนวิธี Hierarchical Clustering



รูปที่ 3-1 แผนผังวิธีดำเนินงานวิจัย

3.1 ขั้นตอนการปรับปรุงคุณภาพของรูปภาพ

3.1.1 Contrast Limited Adaptive Histogram Equalization (CLAHE)

ในการปรับปรุงคุณภาพของรูปภาพนั้น เลือกใช้ CLAHE เพื่อให้ Object แต่ละส่วนมีค่าความเข้มแสงที่แตกต่างกันมากขึ้น ซึ่งมีการพัฒนามาจาก Histogram Equalization (HE) โดยจะพิจารณารายละเอียดข้อมูลจาก HE ในแต่ละค่าพิกเซลบนบริเวณพื้นส่วนกลางของภาพ ซึ่งด้วยผลลัพธ์ดังกล่าวทำให้มีรายละเอียดของแต่ละ object มีขัดเจนมากขึ้น โดยในขั้นตอนนี้จะดำเนินการกับภาพในสเปชสีเขียว

3.2 ขั้นตอนการแบ่งแยกภาพพื้นหลังออกจากภาพดวงตา

ขั้นตอนนี้ต้องการสร้าง Mask สำหรับแยกพื้นหลังออกจากภาพดวงตาด้วยวิธี Object Attribute Thresholding Process (OAT) แต่การใช้เพียง OAT เพียงอย่างเดียวนั้น ไม่เพียงพอสำหรับการจัดการภาพดังกล่าว เนื่องจากจะยังคงเหลือขอบของรูปดวงตาที่ซึ่งมีความต่อเนื่องกับภาพพื้นหลัง ที่พร้อมว่าซึ่งเป็นผลกระทบจากพื้นหลังและไม่ได้มีจุดแบ่งที่ชัดเจน จึงทำให้เกิดสิ่งรบกวนในการวิเคราะห์ภาพในภายหลัง ดังนั้นจำเป็นต้องนำการทำภาพให้พร้อมว่า (Blur) และ การหาพื้นที่ที่มีอัตราการเปลี่ยนแปลงของภาพ (gradient method) เพื่อสร้าง mask ให้ครอบคลุมถึงขอบที่ยังหลงเหลืออัตราความเปลี่ยนแปลงของพื้นหลังอยู่ด้วย

3.2.1 Object Attribute Thresholding Process (OAT)

ในขั้นตอนนี้ได้นำวิธี Object Attribute Thresholding Process (OAT) มาใช้ โดยเลือกทำกับภาพในสเปชสีเขียว โดยการคำนวณหาค่าความเข้มแสงที่มีความถี่สูงที่สุด ซึ่งความเข้มแสงดังกล่าวจะเป็นสีของ虹膜สัง และใช้ Otsu แบบวนซ้ำ ซึ่งในการประมวลผล Otsu แต่ละครั้ง จะแบ่งข้อมูลออกเป็น 2 กลุ่ม โดยจะมีค่าความแปรปรวนระหว่างสองกลุ่มสูงที่สุด หลังจากนั้น นำกลุ่มที่มีความเข้มแสงต่ำกว่า มาวนซ้ำประมวลผล Otsu อีก โดยดำเนินการซ้ำเช่นนี้จนกว่าจะพบว่าความเข้มแสงที่เป็นจุดแบ่งของกลุ่มทั้งสอง มีค่าต่ำกว่าความเข้มแสงที่มีความถี่สูงที่สุด (N รอบ) และนำความเข้มแสงที่เป็นจุดแบ่งของกลุ่มทั้งสองรอบที่ $N-1$ ที่เกิดจากการประมวลผล Otsu แบบวนซ้ำ กำหนดให้เป็นจุดแบ่งระหว่างภาพพื้นหลังและขอบเขตตาโดยการสร้าง Mask ที่มีกำหนดพื้นที่ ที่เป็นพื้นหลัง และพื้นที่ดวงตาทั้งหมด

3.2.2 การทำภาพให้พร้อมว่า (Blur)

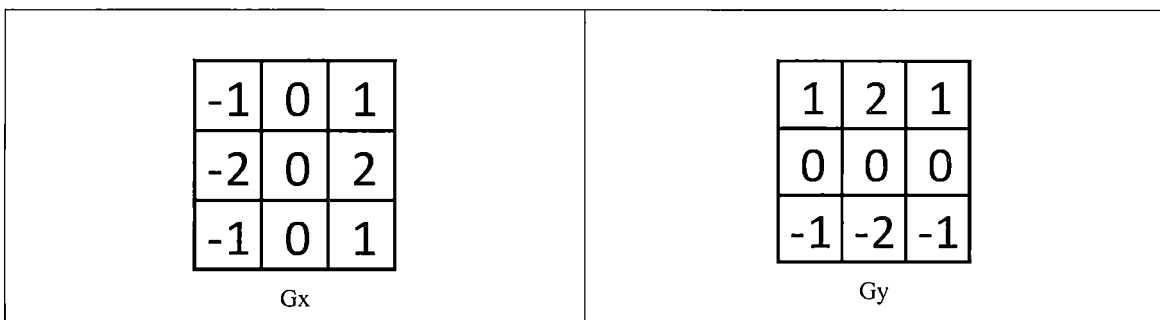
การทำภาพให้พร้อมว่าจะทำให้พื้นที่ของเส้นขอบภาพทึบหมดลงและมีการกระจายตัวออกทำให้เกิดพื้นที่ที่มีอัตราการเปลี่ยนแปลงของขอบภาพมีมากขึ้น โดย convolution ภาพ Mask ได้จากการประมวลผล OAT ด้วย Gaussian function approximation ดังรูปที่ 3-1

| | | | | |
|---|----|----|----|---|
| 2 | 4 | 5 | 4 | 2 |
| 4 | 9 | 12 | 9 | 4 |
| 5 | 12 | 15 | 12 | 5 |
| 4 | 9 | 12 | 9 | 4 |
| 2 | 4 | 5 | 4 | 2 |

รูปที่ 3-1 Gaussian function approximation

3.2.3 การหาพื้นที่ที่มีอัตราการเปลี่ยนแปลงของภาพ (gradient method)

นำผลลัพธ์การทำภาพให้พร้อมมารายงานพื้นที่สำหรับอัตราการเปลี่ยนแปลงทั้งหมดโดยการ convolute ด้วย Sobel kernel ตาม template รูปที่ 3-2



รูปที่ 3-2 Sobel kernel

โดยความเข้มแสง ณ จุด pixel ใดๆ จะเกิดจากการ convolute ด้วย Gx และ Gy ซึ่งเป็นไปตามสมการที่ 3.1

$$|G| = \sqrt{Gx^2 + Gy^2} \quad (3.1)$$

3.3 ขั้นตอนการตรวจหาเส้นเลือด (Blood Mask)

ในขั้นตอนนี้เป็นการวิเคราะห์องค์ประกอบของภาพส่วนที่เป็นเส้นเลือด เพื่อลดพื้นที่ในการค้นหาสิ่งชีวีนั้นโดยใช้ Frangi's Vessel Filtering อย่างไรก็ตาม หากภายในรูปภาพมีความแตกต่าง ความเข้มแสงของกระจกตาและเส้นเลือดน้อย จะทำให้ประสิทธิภาพการตรวจจับเส้นเลือดต่ำลง จึงได้ปรับปรุงภาพด้วยการใช้ การแจกแจงความน่าจะเป็นแบบสะสมก่อน เพื่อทำให้เส้นเลือดมีความเข้มแสงที่แตกต่างจากกระจกตาซัดเจนมากขึ้น

3.3.1 การแจกแจงความน่าจะเป็นแบบสะสม (cumulative distribution probability)

เนื่องจากพื้นหลังที่มีค่าความเข้มแสงต่ำที่สุดได้ถูกแบ่งแยกออกจากภาพโดยรวมแล้ว ทำให้ภาพที่ใช้ Mask แบ่งแยกภาพพื้นหลังออกจากภาพด้วยตามที่ช่วงกว้างของความเข้มแสงที่ต่ำ จึงต้องทำการปรับปรุงภาพด้วยการแจกแจงความน่าจะเป็นแบบสะสมกับภาพดังกล่าว ทำให้เส้นเลือดมีความชัดเจนมากขึ้น เพื่อเพิ่มประสิทธิภาพในการตรวจหาเส้นเลือดในขั้นตอนต่อไป

3.3.2 Frangi's Vessel Filtering

นำภาพที่ถูกปรับปรุงเพื่อทำให้เส้นเลือดมีความชัดเจนมากขึ้นด้วยการแยกแยะความน่าจะเป็นแบบสัมมาตราจหาเส้นเลือดด้วยวิธี Frangi ซึ่งเป็นวิธีการแยกภาพวัตถุที่มีโครงสร้างเป็นหลอดเลือด

3.4 ขั้นตอนการตรวจหาจานประสาทตา

ในขั้นตอนนี้จะใช้ภาพต้นฉบับมาเพื่อตรวจหาจานประสาทตาซึ่งมีลักษณะเป็นวงกลมและมีความเข้มของแสงสูง โดยจะทำการลดขนาดของ mask และภาพต้นฉบับ เพื่อลดความละเอียดและพื้นที่ในการหาจานประสาทตา ทำให้สามารถประมวลผลได้เร็วขึ้น ดังนั้นก่อนที่ตรวจหาจานประสาทตา ด้วยขั้นตอนวิธี Hough Transform จะทำการหาอัตราการเปลี่ยนแปลงของภาพก่อนดังนี้

3.4.1 การหาอัตราการเปลี่ยนแปลงของภาพ (Sobel and prewitt gradient)

ในขั้นนี้จะใช้ภาพต้นฉบับที่อยู่ภายใต้ mask (พื้นที่ของ mask ที่มีค่าความเข้มแสงเป็น 255) ที่ได้ประมวลผลผ่านมา โดยใช้ Sobel gradient ทั้งในสเปชสีแดง เขียว และน้ำเงิน (red, green, blue channel) และ prewitt gradient ในสเปชสีเทา (gray channel) ที่ถูกแปลงค่ามาจากสเปช RGB และนำผลลัพธ์ทั้ง 4 รูปมาทำ XOR เพื่อสร้างภาพขอบ

3.4.2 Hough transform

ใช้ Hough transform เพื่อค้นหาจานประสาทตาที่มีลักษณะเป็นวงกลมที่เป็นไปได้มากที่สุด ในภาพการหาอัตราการเปลี่ยนแปลงจากขั้นตอนก่อนหน้า และขยายวงกลมให้มี scale ของภาพเท่ากับภาพต้นฉบับ รวมถึงนำทำແળงของวงกลมตั้งกล่าวมาปรับปรุง Mask ในขั้นตอนก่อนหน้านี้

3.5 ขั้นตอนการระบุพื้นที่ของสิ่งชีมเยิมขัน

จานประสาทตาของจอต้าจะมีลักษณะเป็นวงกลม ซึ่งในขั้นตอนนี้ได้ใช้ Kirsch's Templates เพื่อตรวจหาขอบของภาพทั้งหมด และใช้ Hough Transform เพื่อตรวจหารวงกลมภายในจอต้า

3.5.1 Kirsch's Templates

ในการประมวลผล Kirsch's Templates โดยการ convolute กับภาพจานประสาทตา เพื่อหาขอบหรืออัตราการเปลี่ยนแปลงที่เกิดขึ้นภายในจานประสาทตาทั้งหมด ซึ่งมีทั้งหมด 8 template ดังรูป ที่ 3-3

| | | | | | | | | | | | | | | | | | | | | | | | | | | | | | | | | | | | | | | | |
|---|------------|------------|------------|------|---|------|------|------|------|---|------|------|------|------|---|------|------|------|------|---|------|------|------|------|---|------|------|------|------|---|------|------|------|------|---|------|------|------|------|
| <table border="1"> <tr><td>0.33</td><td>-0.2</td><td>-0.2</td></tr> <tr><td>0.33</td><td>0</td><td>-0.2</td></tr> <tr><td>0.33</td><td>-0.2</td><td>-0.2</td></tr> </table> | 0.33 | -0.2 | -0.2 | 0.33 | 0 | -0.2 | 0.33 | -0.2 | -0.2 | <table border="1"> <tr><td>0.33</td><td>0.33</td><td>-0.2</td></tr> <tr><td>0.33</td><td>0</td><td>-0.2</td></tr> <tr><td>-0.2</td><td>-0.2</td><td>-0.2</td></tr> </table> | 0.33 | 0.33 | -0.2 | 0.33 | 0 | -0.2 | -0.2 | -0.2 | -0.2 | <table border="1"> <tr><td>0.33</td><td>0.33</td><td>0.33</td></tr> <tr><td>-0.2</td><td>0</td><td>-0.2</td></tr> <tr><td>-0.2</td><td>-0.2</td><td>-0.2</td></tr> </table> | 0.33 | 0.33 | 0.33 | -0.2 | 0 | -0.2 | -0.2 | -0.2 | -0.2 | <table border="1"> <tr><td>-0.2</td><td>0.33</td><td>0.33</td></tr> <tr><td>-0.2</td><td>0</td><td>0.33</td></tr> <tr><td>-0.2</td><td>-0.2</td><td>-0.2</td></tr> </table> | -0.2 | 0.33 | 0.33 | -0.2 | 0 | 0.33 | -0.2 | -0.2 | -0.2 |
| 0.33 | -0.2 | -0.2 | | | | | | | | | | | | | | | | | | | | | | | | | | | | | | | | | | | | | |
| 0.33 | 0 | -0.2 | | | | | | | | | | | | | | | | | | | | | | | | | | | | | | | | | | | | | |
| 0.33 | -0.2 | -0.2 | | | | | | | | | | | | | | | | | | | | | | | | | | | | | | | | | | | | | |
| 0.33 | 0.33 | -0.2 | | | | | | | | | | | | | | | | | | | | | | | | | | | | | | | | | | | | | |
| 0.33 | 0 | -0.2 | | | | | | | | | | | | | | | | | | | | | | | | | | | | | | | | | | | | | |
| -0.2 | -0.2 | -0.2 | | | | | | | | | | | | | | | | | | | | | | | | | | | | | | | | | | | | | |
| 0.33 | 0.33 | 0.33 | | | | | | | | | | | | | | | | | | | | | | | | | | | | | | | | | | | | | |
| -0.2 | 0 | -0.2 | | | | | | | | | | | | | | | | | | | | | | | | | | | | | | | | | | | | | |
| -0.2 | -0.2 | -0.2 | | | | | | | | | | | | | | | | | | | | | | | | | | | | | | | | | | | | | |
| -0.2 | 0.33 | 0.33 | | | | | | | | | | | | | | | | | | | | | | | | | | | | | | | | | | | | | |
| -0.2 | 0 | 0.33 | | | | | | | | | | | | | | | | | | | | | | | | | | | | | | | | | | | | | |
| -0.2 | -0.2 | -0.2 | | | | | | | | | | | | | | | | | | | | | | | | | | | | | | | | | | | | | |
| Template 1 | Template 2 | Template 3 | Template 4 | | | | | | | | | | | | | | | | | | | | | | | | | | | | | | | | | | | | |
| <table border="1"> <tr><td>-0.2</td><td>-0.2</td><td>0.33</td></tr> <tr><td>-0.2</td><td>0</td><td>0.33</td></tr> <tr><td>-0.2</td><td>-0.2</td><td>0.33</td></tr> </table> | -0.2 | -0.2 | 0.33 | -0.2 | 0 | 0.33 | -0.2 | -0.2 | 0.33 | <table border="1"> <tr><td>-0.2</td><td>-0.2</td><td>-0.2</td></tr> <tr><td>-0.2</td><td>0</td><td>0.33</td></tr> <tr><td>-0.2</td><td>0.33</td><td>0.33</td></tr> </table> | -0.2 | -0.2 | -0.2 | -0.2 | 0 | 0.33 | -0.2 | 0.33 | 0.33 | <table border="1"> <tr><td>-0.2</td><td>-0.2</td><td>-0.2</td></tr> <tr><td>-0.2</td><td>0</td><td>-0.2</td></tr> <tr><td>0.33</td><td>0.33</td><td>0.33</td></tr> </table> | -0.2 | -0.2 | -0.2 | -0.2 | 0 | -0.2 | 0.33 | 0.33 | 0.33 | <table border="1"> <tr><td>-0.2</td><td>-0.2</td><td>-0.2</td></tr> <tr><td>0.33</td><td>0</td><td>-0.2</td></tr> <tr><td>0.33</td><td>0.33</td><td>-0.2</td></tr> </table> | -0.2 | -0.2 | -0.2 | 0.33 | 0 | -0.2 | 0.33 | 0.33 | -0.2 |
| -0.2 | -0.2 | 0.33 | | | | | | | | | | | | | | | | | | | | | | | | | | | | | | | | | | | | | |
| -0.2 | 0 | 0.33 | | | | | | | | | | | | | | | | | | | | | | | | | | | | | | | | | | | | | |
| -0.2 | -0.2 | 0.33 | | | | | | | | | | | | | | | | | | | | | | | | | | | | | | | | | | | | | |
| -0.2 | -0.2 | -0.2 | | | | | | | | | | | | | | | | | | | | | | | | | | | | | | | | | | | | | |
| -0.2 | 0 | 0.33 | | | | | | | | | | | | | | | | | | | | | | | | | | | | | | | | | | | | | |
| -0.2 | 0.33 | 0.33 | | | | | | | | | | | | | | | | | | | | | | | | | | | | | | | | | | | | | |
| -0.2 | -0.2 | -0.2 | | | | | | | | | | | | | | | | | | | | | | | | | | | | | | | | | | | | | |
| -0.2 | 0 | -0.2 | | | | | | | | | | | | | | | | | | | | | | | | | | | | | | | | | | | | | |
| 0.33 | 0.33 | 0.33 | | | | | | | | | | | | | | | | | | | | | | | | | | | | | | | | | | | | | |
| -0.2 | -0.2 | -0.2 | | | | | | | | | | | | | | | | | | | | | | | | | | | | | | | | | | | | | |
| 0.33 | 0 | -0.2 | | | | | | | | | | | | | | | | | | | | | | | | | | | | | | | | | | | | | |
| 0.33 | 0.33 | -0.2 | | | | | | | | | | | | | | | | | | | | | | | | | | | | | | | | | | | | | |
| Template 5 | Template 6 | Template 7 | Template 8 | | | | | | | | | | | | | | | | | | | | | | | | | | | | | | | | | | | | |

รูปที่ 3-3 ภาพแสดง Template ที่ใช้ในการทำ convolution

3.5.2 Morphology close operation

ใช้ Morphology close operation มาช่วยในการเติมเต็ม mask ซึ่งเลือกใช้การเติมเต็มในลักษณะของรูปวงกลม

3.5.3 การกรองด้วยค่ามัธยฐาน (Median filter)

ด้วยลักษณะเฉพาะตัวของสิ่งชีมเยิ่มขั้นมากจะเกาตัวกันเป็นกลุ่ม และสิ่งที่เกิดขึ้นจากการณ์ที่ไม่เพียงประสงค์ ซึ่งอาจเกิดได้จากขอบภาพของเส้นเลือด ซึ่งการกรองด้วยค่ามัธยฐานทำให้สิ่งรบกวนที่เกิดขึ้นอย่างกระจัดกระจายถูกทำให้หายไปแต่ยังคงให้ความสำคัญกับส่วนของ mask ที่เกากันเป็นกลุ่ม

3.5.4 Hierarchical Clustering

จากขั้นตอนการเติมเต็มและขัด Mask ที่เป็นสิ่งรบกวน ในการทำ morphology close operation นั้น ทำให้ภายใน mask มีทั้งสิ่งที่เป็นสิ่งชีมเยิ่มขั้นเส้นเลือด และพื้นหลัง โดยขั้นตอนนี้จะเป็นการแบ่งกลุ่มส่วนประกอบภายใน mask ตั้งแต่กล่าว

การทำคัลเซเตอร์แบบลำดับขั้นกับข้อมูล คือ ค่าระดับเทา (Gray Level) ของจุดภาพภายในเซกเมนต์ กระบวนการในขั้นตอนนี้เป็นการประมวลผลร่วมระหว่างภาพต้นฉบับและ Mask ที่สร้างขึ้น เพื่อใช้พิจารณาการแบ่งกลุ่มข้อมูล โดยแยกกลุ่มข้อมูลด้วยการตรวจสอบความแปรปรวนแล้วพิจารณาค่ามัธยฐาน และรวมกลุ่มเข้าด้วยกันโดยการประเมินระยะทางหรือความแตกต่างระหว่างคู่คัลเซเตอร์

บทที่ 4 ผลการทดลอง

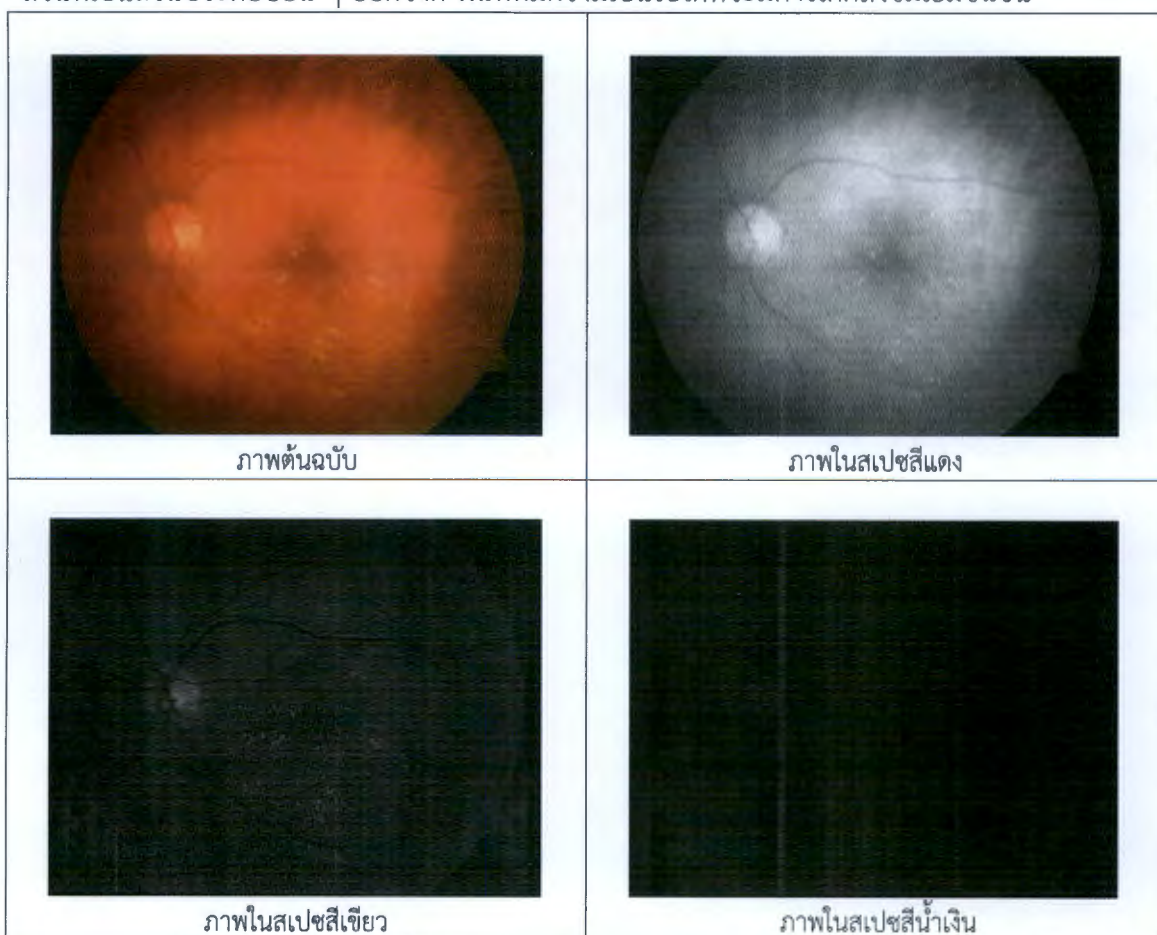
ในบทนี้ แสดงผลการทดลองที่ได้จากการใช้วิธีที่นำเสนอในบทที่ 3 โดยจะแสดงตัวอย่างภาพดวงตาจำนวน 2 ภาพ ซึ่งภาพดันฉบับทั้ง 2 ภาพ มีแสงและความสว่างที่ต่างกัน ดังรูปที่ 4-1 ก. และ รูปที่ 4-1 ข. ซึ่งจะพบว่าสามารถแยกส่วนประกอบออกเป็น 4 ส่วน ได้แก่ ภาพจากหลัง เส้นเลือด ajan ประสาทตา และสิ่งชีมเยิ้มขัน เมื่อแจกแจงภาพหั้งสองออกมานั้นแต่ละสเปชสีจะพบว่า

สเปชสีแดง เป็นช่องสีที่มีความเข้มแสงที่ดวงตามากที่สุด แต่มีความแตกต่างของความเข้มแสง ในแต่ละส่วนประกอบภาพค่อนข้างต่ำ ทำให้แยกความแตกต่างของส่วนประกอบภาพแต่ละส่วนได้ยาก

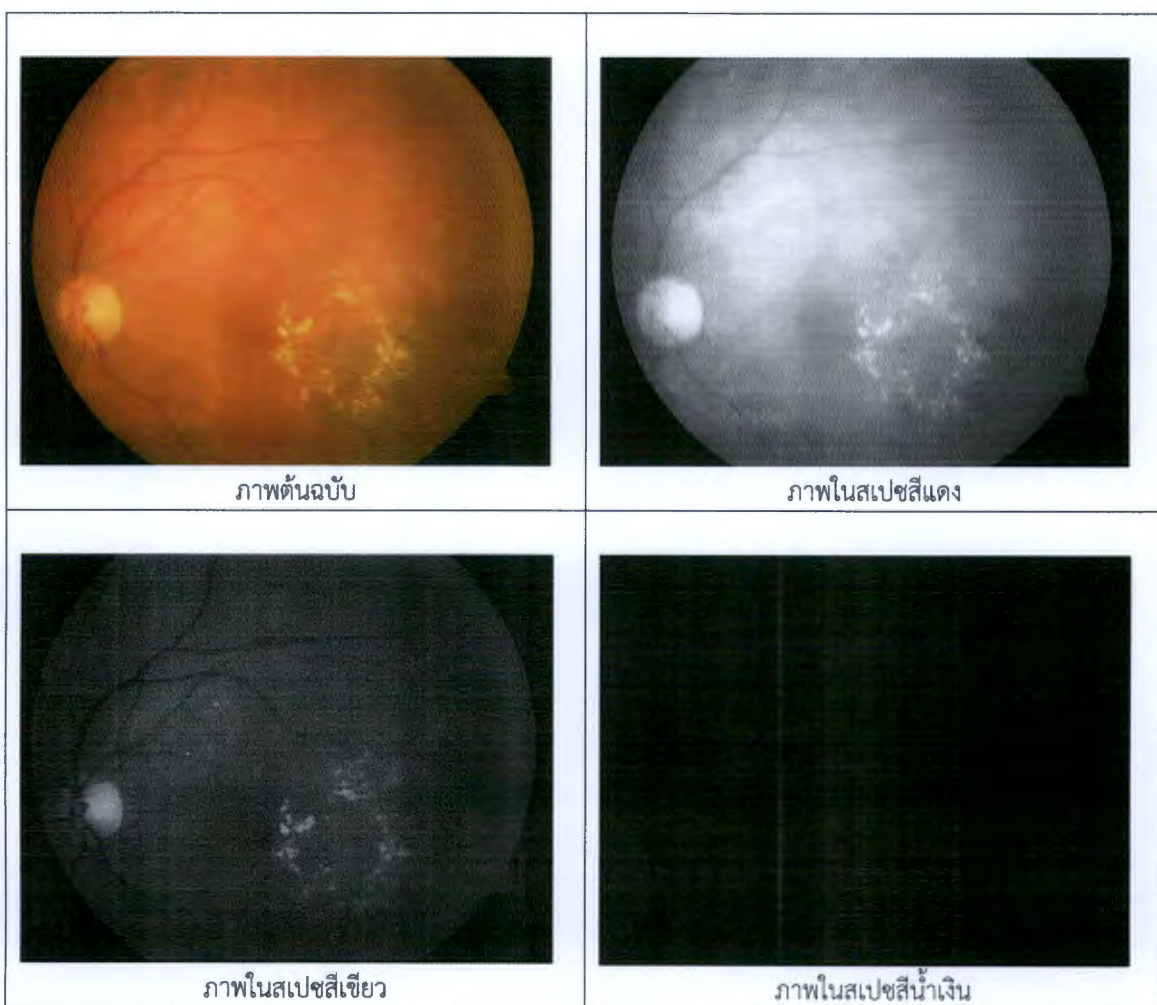
สเปชสีเขียว เป็นช่องสีที่สามารถแสดงความแตกต่างของความเข้มแสงของแต่ละส่วนประกอบภาพได้ดีที่สุด ซึ่ง ajan ประสาทตา (Optic disc) และสิ่งชีมเยิ้มขันจะมีความเข้มแสงมากที่สุด

สเปชสีน้ำเงิน พบร้าเป็นสเปชสีที่มีความเข้มต่ำที่สุด และไม่สามารถช่วยในการวิเคราะห์ความแตกต่างของวัตถุได้

แนวทางในการวิเคราะห์รูปภาพเพื่อหาสิ่งชีมเยิ้มขันจำเป็นต้องสร้าง mask เพื่อแยกพื้นที่ในส่วนที่เป็นส่วนประกอบอื่น ๆ ออกจาก พื้นที่ที่มีความเป็นไปได้ที่จะมีการเกิดสิ่งชีมเยิ้มขันขึ้น



รูปที่ 4-1 ก. ภาพดวงตาสำหรับทดสอบรูปที่ 1 ในแต่ละช่องสี



รูปที่ 4-1 ข. ภาพดวงตาสำหรับทดสอบรูปที่ 2 ในแต่ละช่องสี

4.1 ขั้นตอนการปรับปรุงคุณภาพของรูปภาพ

4.1.1 Contrast Limited Adaptive Histogram Equalization (CLAHE)

ในการปรับปรุงคุณภาพของรูปภาพหลังจากที่ใช้ CLAHE กับรูปภาพในสเปชสีเขียวเพื่อให้ Object แต่ละส่วนมีค่าความเข้มแสงที่แตกต่างกันมากขึ้น ผลลัพธ์ที่ได้ทำให้มีรายละเอียดของแต่ละ object ชัดเจนมากขึ้น ดังรูปที่ 4-2 ก. และ รูปที่ 4-2 ข.

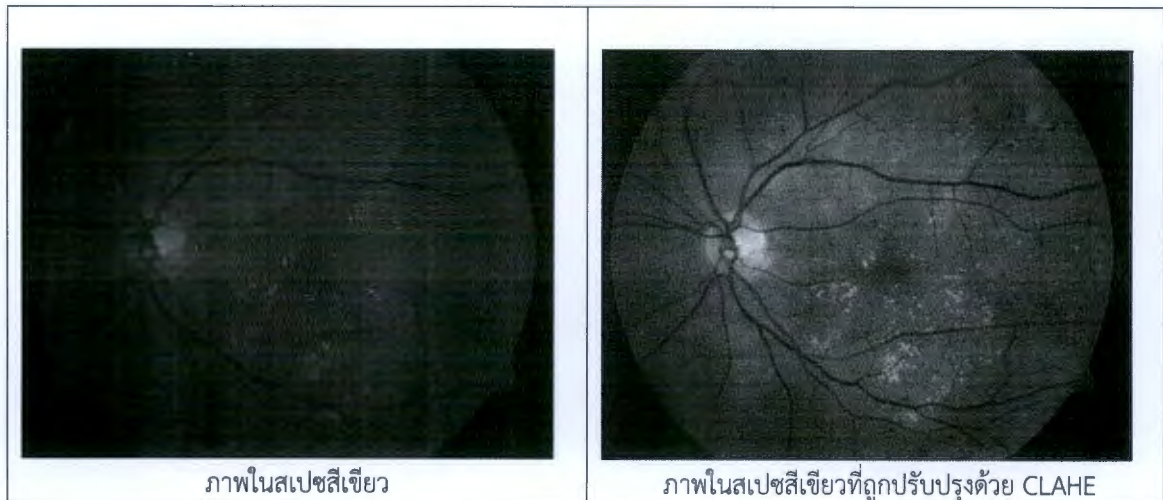
ก. รูปที่ 4-2

ก. รูปที่ 4-2

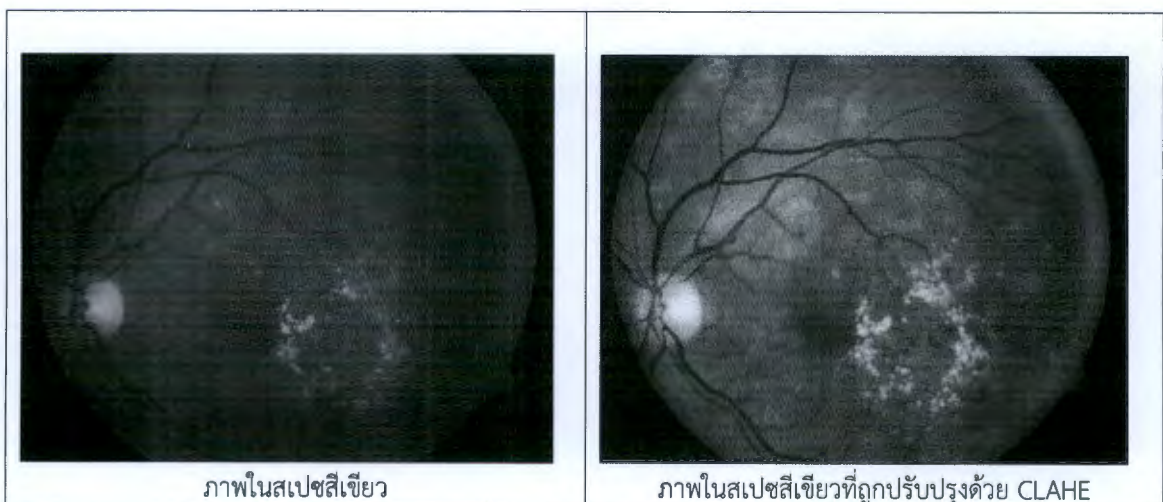
ก. รูปที่ 4-2

ก. รูปที่ 4-2

3 5 4 9 8 8



รูปที่ 4-2 ก. การปรับปรุงภาพดวงตาสำหรับทดสอบรูปที่ 1 ด้วย CLAHE



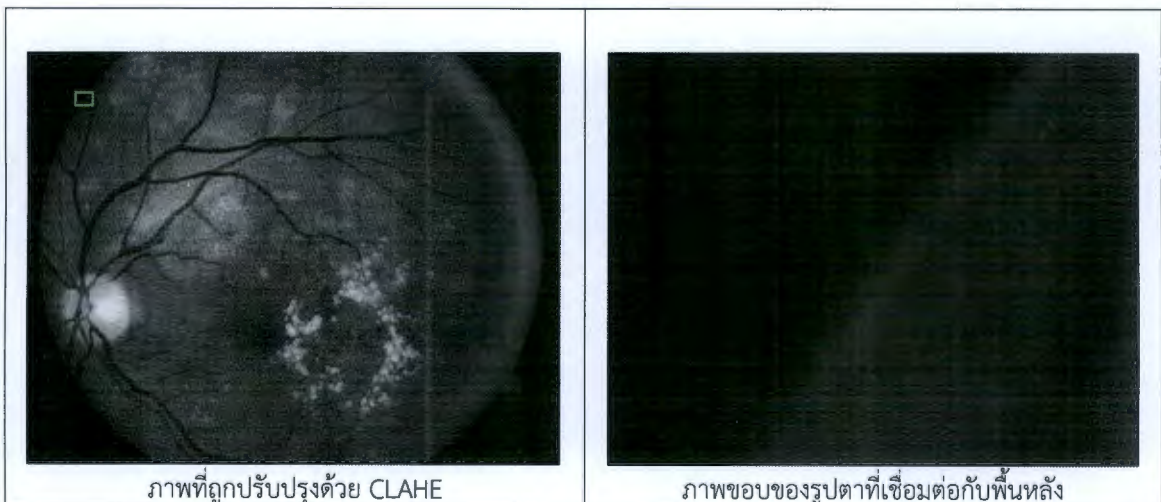
รูปที่ 4-2 ข. การปรับปรุงภาพดวงตาสำหรับทดสอบรูปที่ 2 ด้วย CLAHE

4.2 ขั้นตอนการแบ่งแยกภาพพื้นหลังออกจากภาพดวงตา

ขั้นตอนนี้ต้องการสร้าง Mask สำหรับแยกพื้นหลังออกจากภาพดวงตาด้วยวิธี Object Attribute Thresholding Process (OAT) เมื่อใช้วิธีการ OAT แล้วภาพดังกล่าวยังคงเหลือขอบของรูปดวงตาที่เชื่อมต่อกับภาพพื้นหลัง ซึ่งจากรูป 4-3 ก. และ รูปที่ 4-3 ข. จะพบว่าจุดตั้งกล่าวรวมเป็นขอบของภาพที่พร้อมวิเคราะห์จากพื้นหลังและไม่ได้มีจุดแบ่งที่ชัดเจน โดยมีลักษณะการไล่ความเข้มแสงที่ค่อนข้างเรียบ (smooth) โดย OAT เป็นวิธีแยกความแตกต่างของภาพจากความเข้มแสง ทำให้ขอบภาพดังกล่าวจะถูกแบ่งจากความเข้มแสง ณ จุดใดจุดหนึ่ง ซึ่งยังคงมีอัตราความเปลี่ยนแปลงของความเข้มแสงอยู่ จึงทำให้เกิดสิ่งรบกวนในการวิเคราะห์ภาพในภายหลัง เมื่อแก้ปัญหาโดยการทำภาพให้พร้ามัว (Blur) และ การหาพื้นที่ที่มีอัตราการเปลี่ยนแปลงของภาพ (gradient method) จะได้ mask ที่ทำให้ครอบคลุมถึงขอบที่ยังหลงเหลืออัตราความเปลี่ยนแปลงของพื้นหลังอยู่



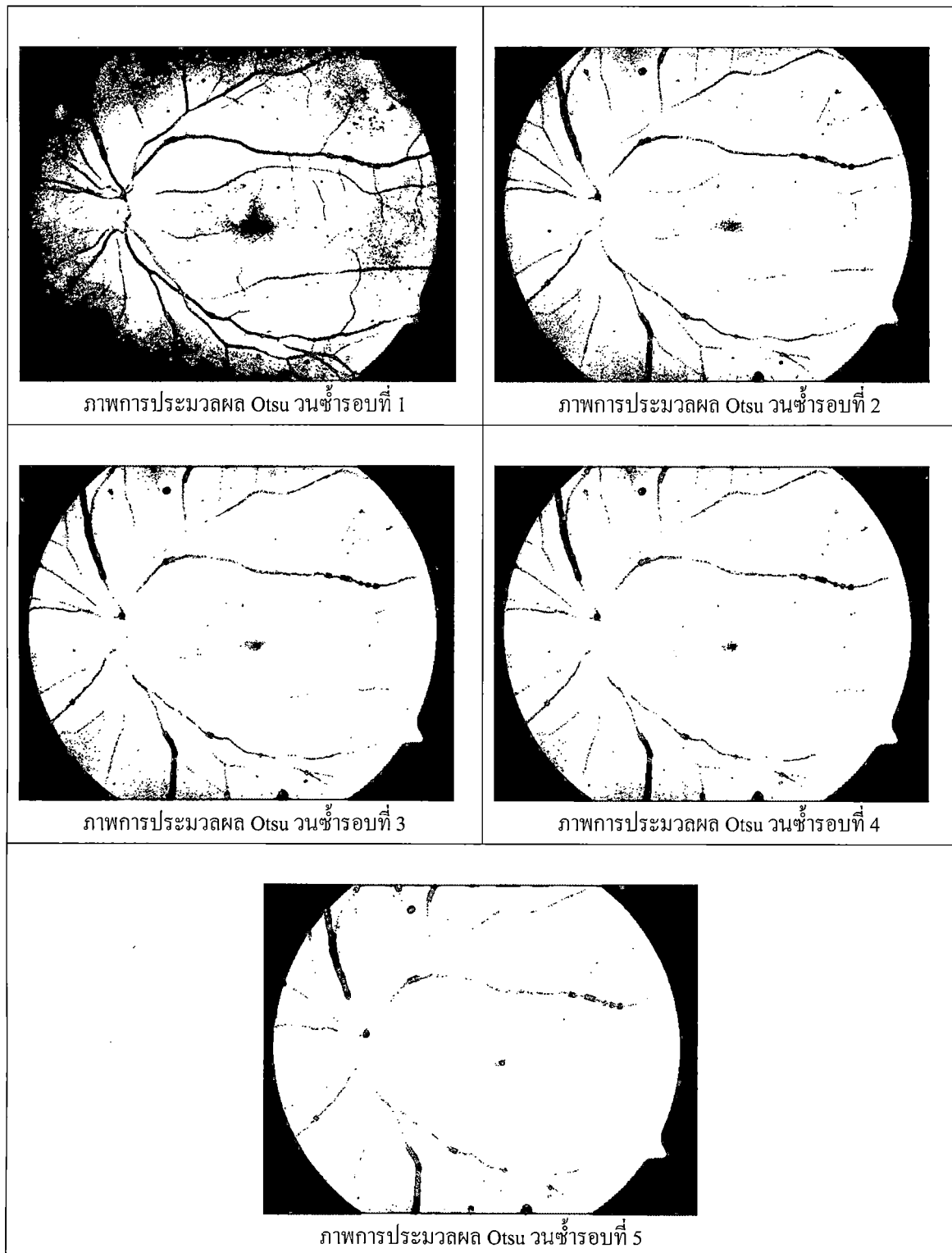
รูปที่ 4-3 ก. การปรับปรุงภาพดวงตาสำหรับทดสอบรูปที่ 1 ด้วย CLAHE



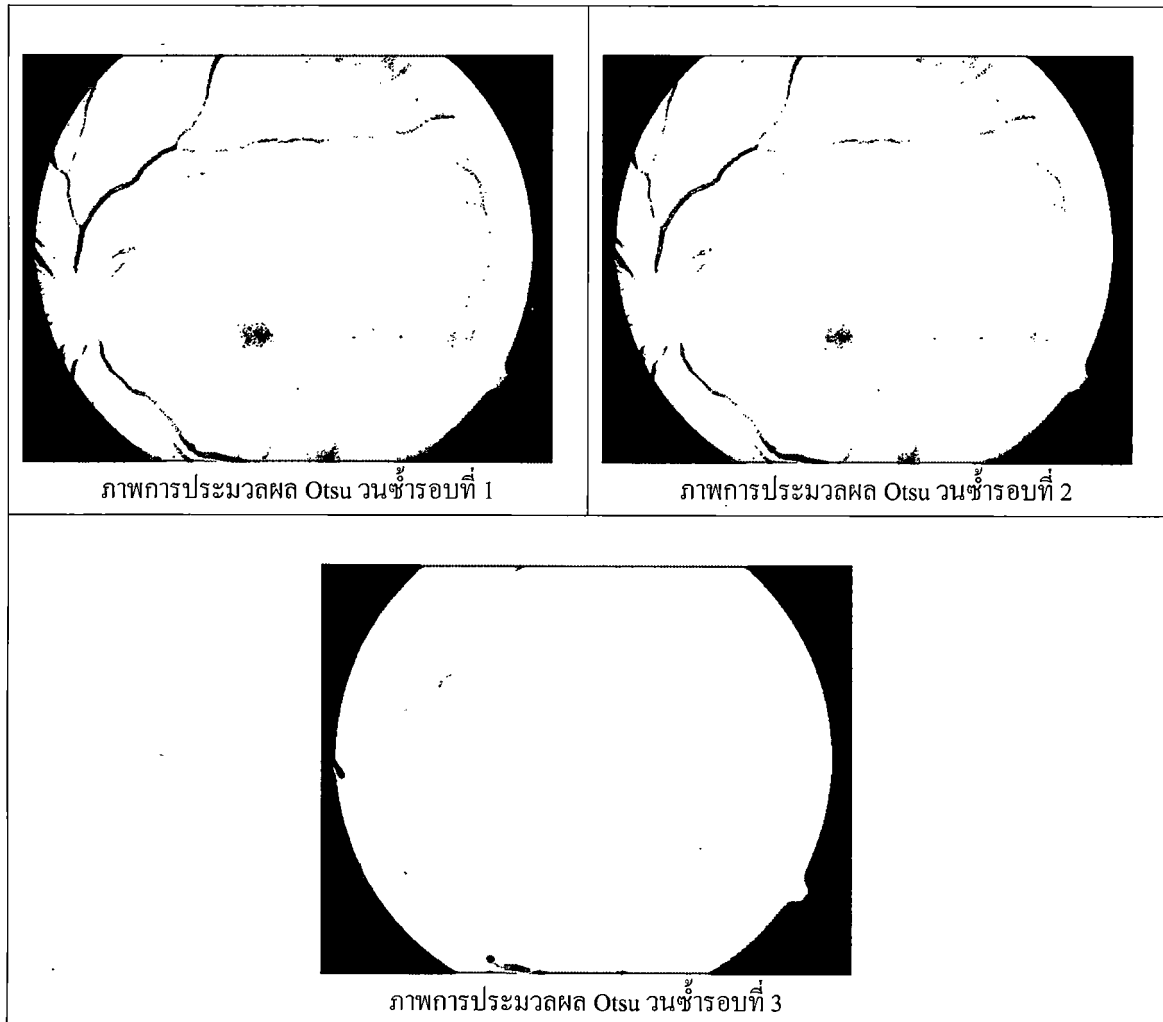
รูปที่ 4-3 ข. การปรับปรุงภาพดวงตาสำหรับทดสอบรูปที่ 2 ด้วย CLAHE

4.2.1 Object Attribute Thresholding Process (OAT)

เมื่อดำเนินการตามขั้นตอนวิธี Object Attribute Thresholding Process (OAT) กับภาพในสเปกตรี เซี้ยงเป็นการการคำนวณหาค่าความเข้มแสงที่มีความถี่สูงที่สุดโดยใช้ Otsu แบบวนซ้ำจนพบว่าความเข้มแสงที่เป็นจุดแบ่งของกลุ่มทั้งสองมีค่าต่ำกว่าความเข้มแสงที่มีความถี่สูงที่สุด (N รอบ) แสดงผลลัพธ์ดังรูปที่ 4-4 ก. และรูปที่ 4-4 ข.



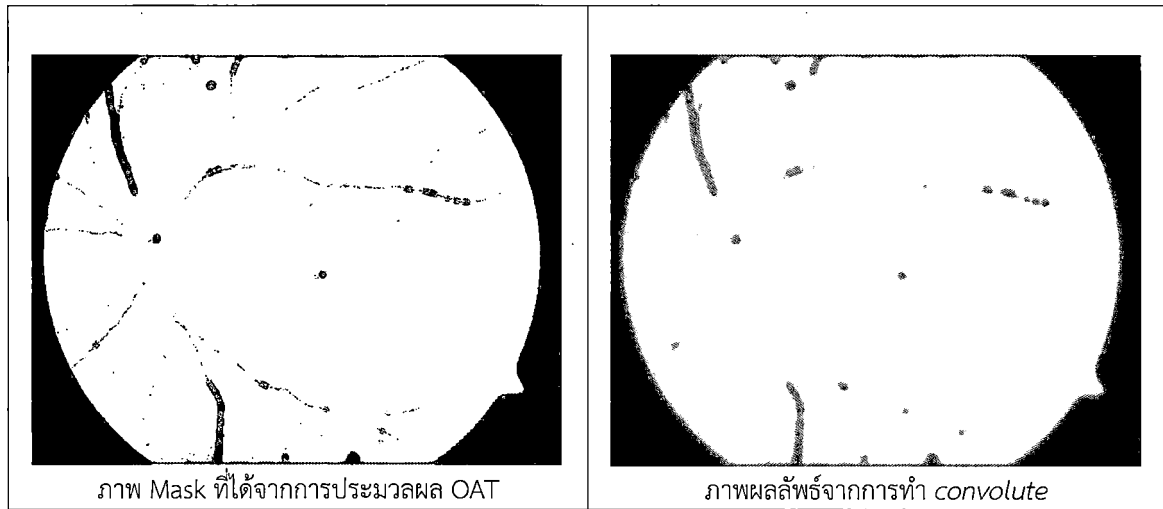
รูปที่ 4-4 ก. การประมวลผล Otsu แบบวนชั้กับภาพดวงตาสำหรับทดสอบรูปที่ 1



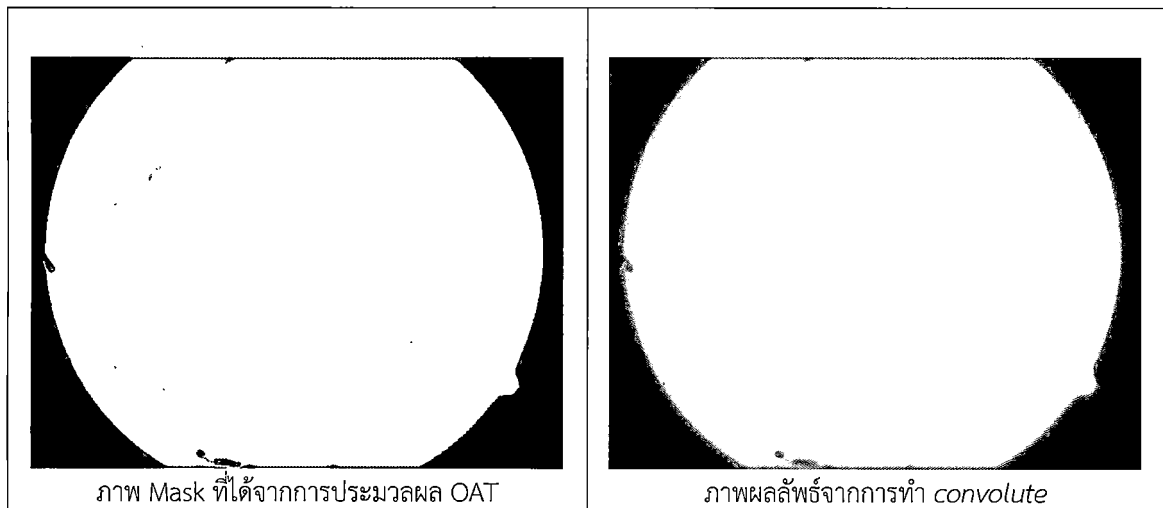
รูปที่ 4-4 ข. การประมวลผล Otsu แบบวนชั้กับภาพดูดตามสำหรับทดสอบรูปที่ 2

4.2.2 การทำภาพให้พร่ามัว (Blur)

การทำภาพให้พร่ามัวจะทำให้พื้นที่ของเส้นขอบภาพทึบหมด มีการกระจายตัว โดย convolution ภาพ Mask ที่ได้จากการประมวลผล OAT จากรูปที่ 4-6 ก. และรูปที่ 4-6 ข. ขอบของภาพทึบหมดถูกทำให้จางและกระจายตัวออก ทำให้เกิดพื้นที่ที่มีอัตราการเปลี่ยนแปลงของขอบภาพมีมากขึ้น



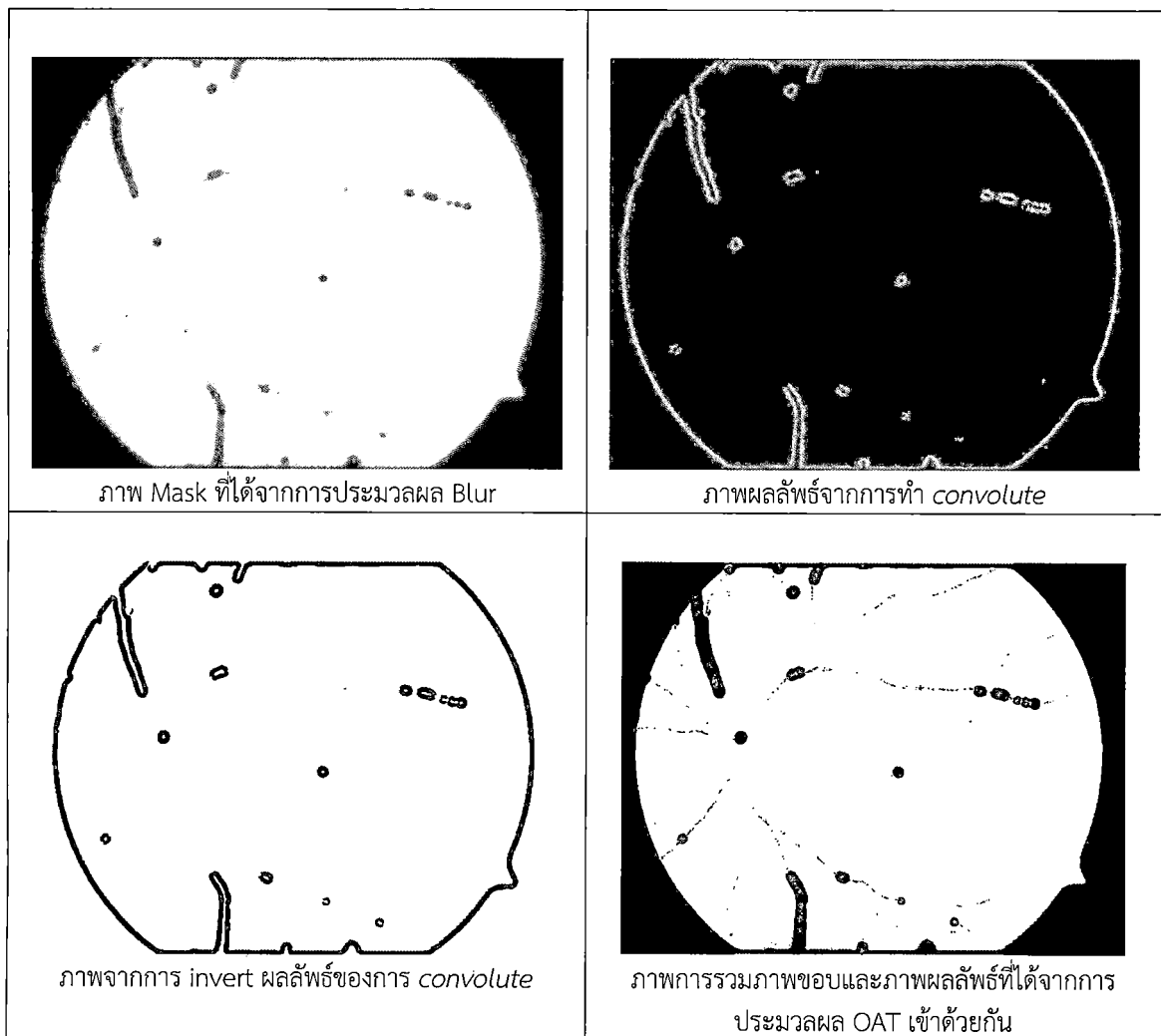
รูปที่ 4-6 ก. การ convolute ภาพ Mask ด้วย Gaussian function approximation กับภาพดวงตา สำหรับทดสอบรูปที่ 1



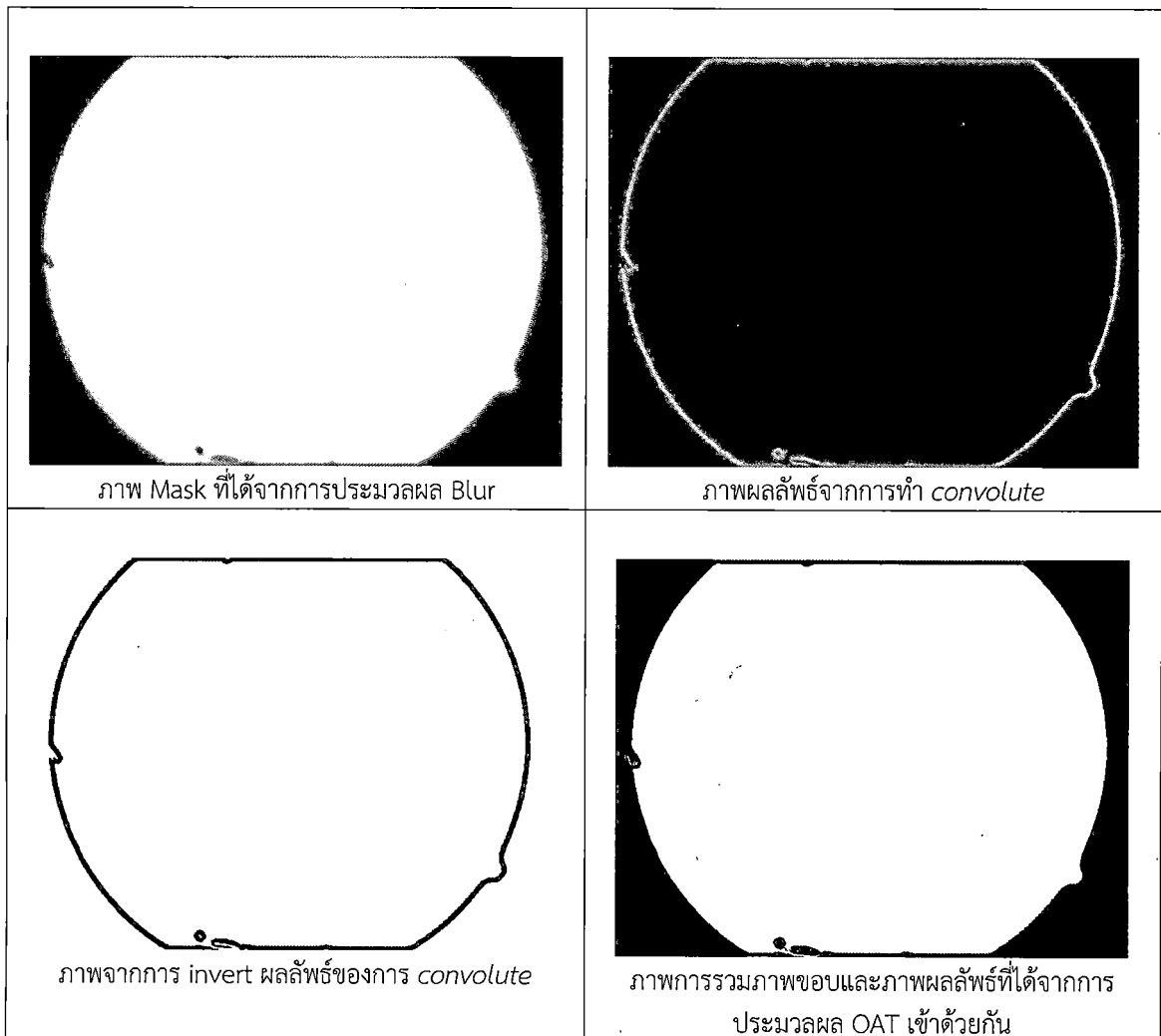
รูปที่ 4-6 ข. การ convolute ภาพ Mask ด้วย Gaussian function approximation กับภาพ ดวงตาสำหรับทดสอบรูปที่ 2

4.2.3 การหาพื้นที่ที่มีอัตราการเปลี่ยนแปลงของภาพ (gradient method)

จากผลลัพธ์การทำภาพให้พร้อมว่าเพื่อย้ายพื้นที่สำหรับอัตราการเปลี่ยนแปลง นำมาหาพื้นที่ที่มีอัตราการเปลี่ยนแปลงทั้งหมด จากรูปที่ 4-8 ก. และรูปที่ ข. ผลลัพธ์จากการรวมภาพการ invert ของการหาอัตราการเปลี่ยนแปลงด้วย Sobel kernel และภาพผลลัพธ์ที่ได้จากการประมวลผล OAT เข้าด้วยกัน ทำให้พื้นที่รอบๆ ของภาพ mask ถูกขยายให้ครอบคลุมพื้นที่รอบๆ ที่มีอัตราการเปลี่ยนแปลง

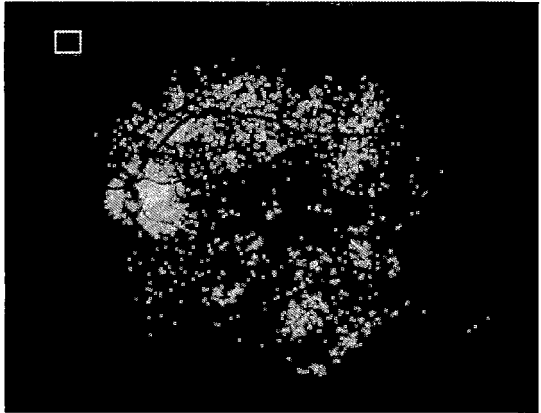


รูปที่ 4-8 ก. การ convolute ภาพ Mask ด้วย Sobel kernel กับภาพดวงตาสำหรับทดสอบบูรณาfill 1
เพื่อนำมาประกอบกับภาพจากขั้นตอน OAT

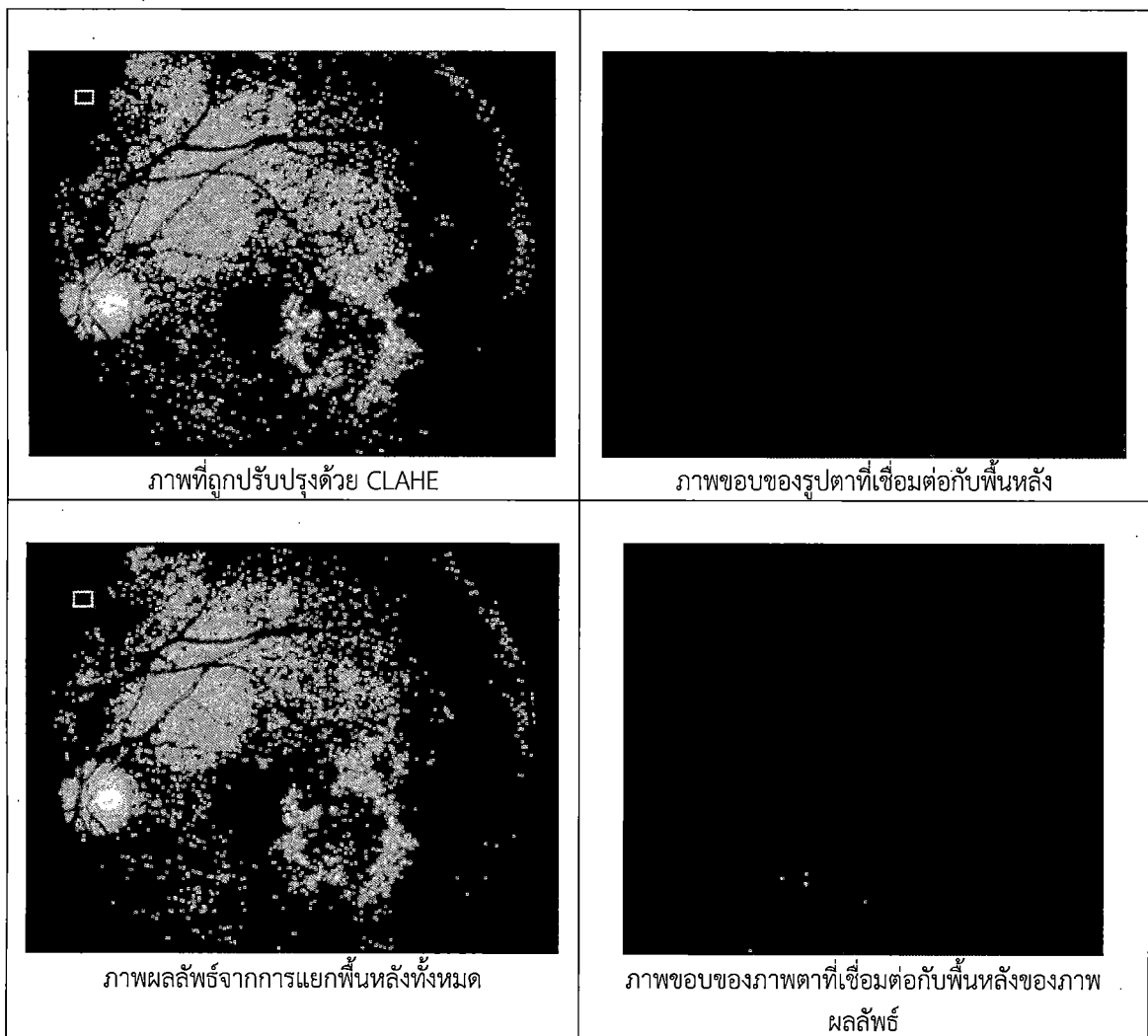


รูปที่ 4-8 ข. การ convolute ภาพ Mask ด้วย Sobel kernel กับภาพดวงตาสำหรับทดสอบรูปที่ 2 เพื่อนำมาประกอบกับภาพจากขั้นตอน OAT

จากรูปที่ 4-9 ก. และ ข. แสดงให้เห็นว่าขอบของภาพที่มีการไล่ความเข้มของแสง (มีอัตราการเปลี่ยนแปลง) ได้ถูกตัดออกจาก การปรมวลดในขั้นตอนถัดไป

| | |
|--|--|
|  |  |
| <p>ภาพที่ถูกปรับปรุงด้วย CLAHE</p> <p>ภาพผลลัพธ์จากการแปลงภาพพื้นหลังออก จากภาพดวงตา</p> | <p>ภาพขอบของภาพตาที่เชื่อมต่อกับพื้นหลัง</p> <p>ภาพขอบของภาพผลลัพธ์ขั้นตอนการแปลงแยกภาพพื้น หลังออกจากการดวงตา</p> |

รูปที่ 4-9 ก. การเปรียบเทียบเที่ยบขอบของภาพก่อนและหลังขั้นตอนการแปลงแยกภาพพื้นหลังออกจากภาพดวงตาสำหรับภาพดวงตาสำหรับทดสอบรูปที่ 1



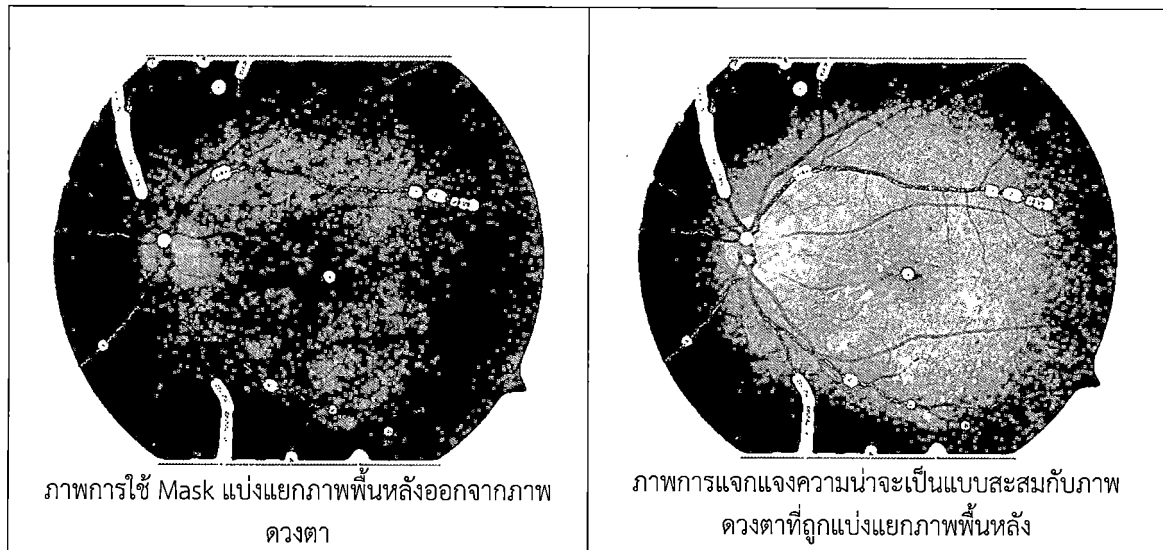
รูปที่ 4-9 ข. การปรับปรุงภาพดวงตาสำหรับทดสอบรูปที่ 2 ด้วย CLAHE

4.3 ขั้นตอนการตรวจหาเส้นเลือด (*Blood Mark*)

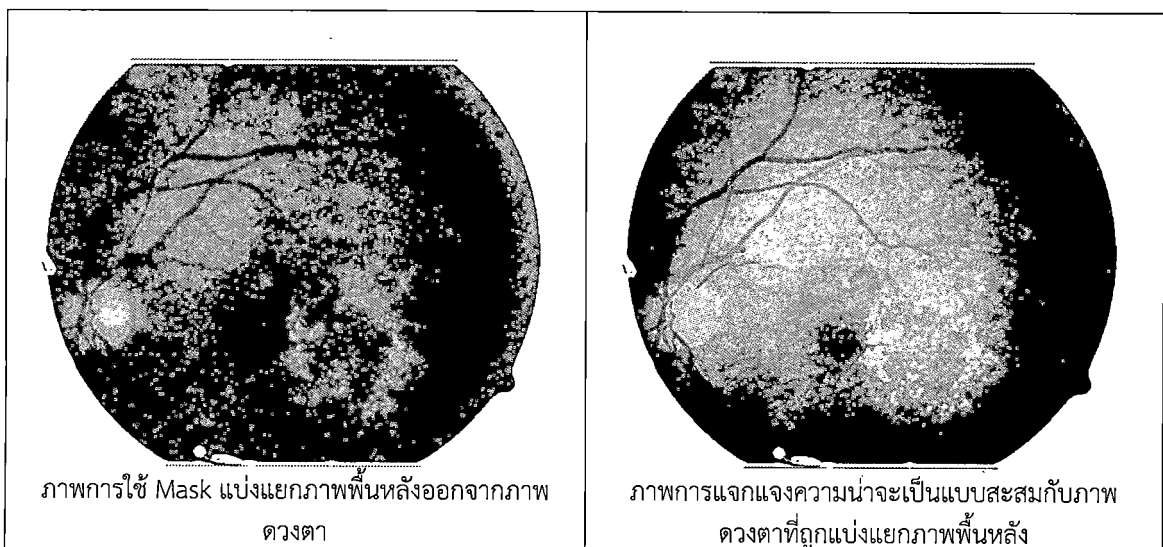
ในขั้นตอนนี้เป็นการวิเคราะห์องค์ประกอบของภาพส่วนที่เป็นเส้นเลือด เพื่อลดพื้นที่ในการค้นหาสิ่งชีมเยิมขึ้นโดยใช้ Frangi's Vessel Filtering อย่างไรก็ตาม หากภายในรูปภาพมีความแตกต่างความเข้มแสงของกระจกตาและเส้นเลือดน้อย จะทำให้ประสิทธิภาพการตรวจจับเส้นเลือดต่ำลง จึงได้ปรับปรุงภาพด้วยการใช้ การแยกแยะความน่าจะเป็นแบบสะสม เพื่อทำให้เส้นเลือดมีความเข้มแสงที่แตกต่างจากกระจกตาซึ่งจะเห็นมากขึ้น

4.3.1 การแจกแจงความน่าจะเป็นแบบสะสม (cumulative distribution probability)

เมื่อทำการปรับปรุงภาพด้วยการแจกแจงความน่าจะเป็นแบบสะสมกับภาพแล้วทำให้เส้นเลือด มีความชัดเจนมากขึ้น ดังรูปที่ 4-10 ก. และ ข.



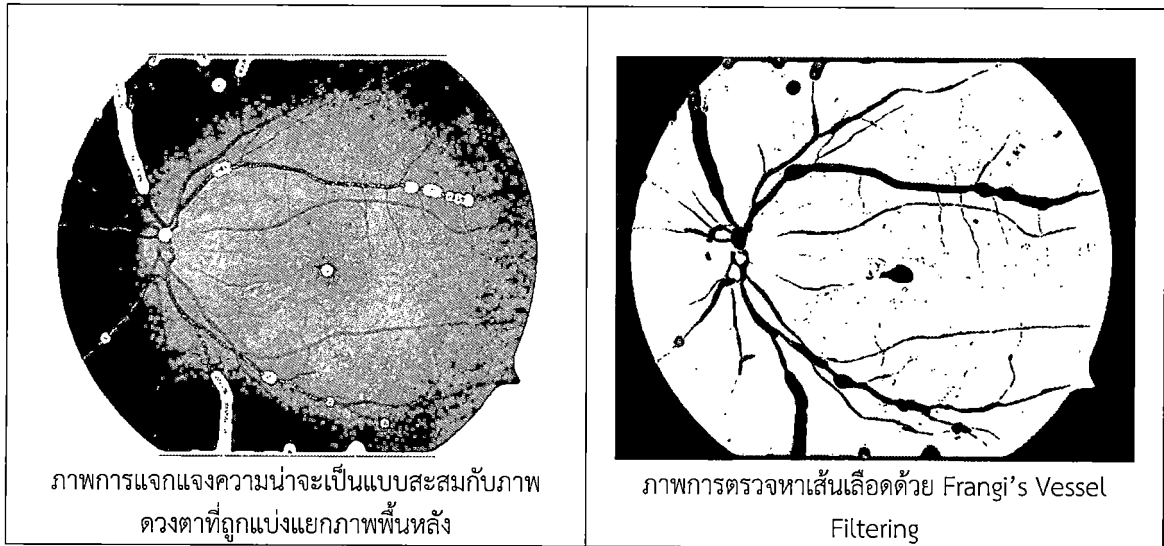
รูปที่ 4-10 ก. การประมวลผลการแจกแจงความน่าจะเป็นแบบสะสมกับภาพการใช้ Mask แบ่งแยก
ภาพพื้นหลัง ในภาพดวงตาสำหรับทดสอบรูปที่ 1



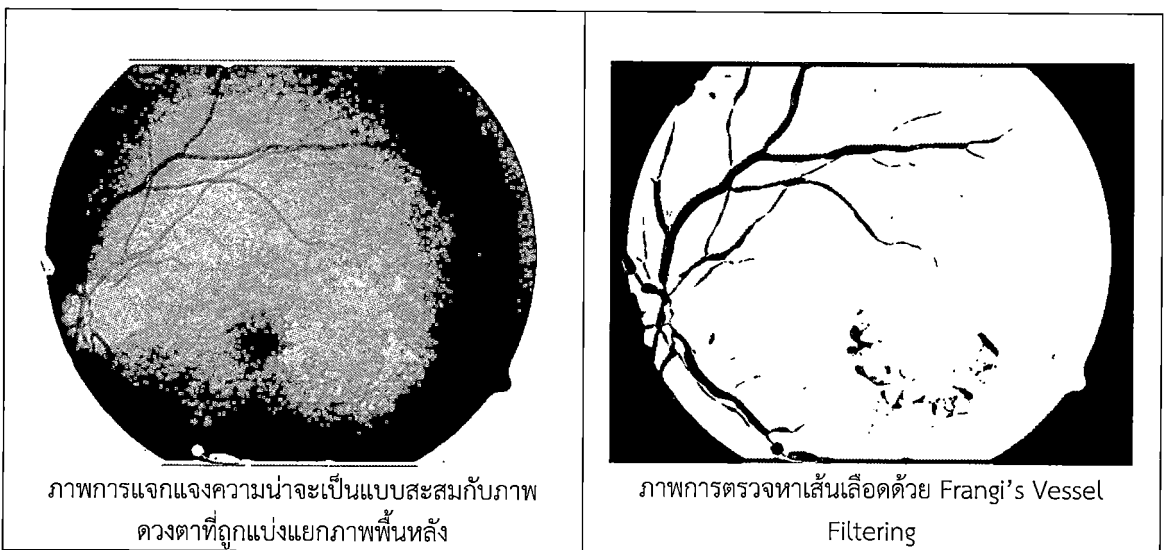
รูปที่ 4-10 ข. การประมวลผลการแจกแจงความน่าจะเป็นแบบสะสมกับภาพการใช้ Mask แบ่งแยก
ภาพพื้นหลัง ในภาพดวงตาสำหรับทดสอบรูปที่ 2

4.3.2 Frangi's Vessel Filtering

จากภาพที่ถูกปรับปรุงด้วยการแยกแยะความน่าจะเป็นแบบสะสมได้ถูกนำมาวิเคราะห์เพื่อแบ่งแยกส่วนที่เป็นเส้นเลือด โดยมีลักษณะเฉพาะที่เป็นเส้นยาว ซึ่งให้ผลลัพธ์ดังรูป 4-11 ก. และ ข.



รูปที่ 4-11 ก. การประมวลผลเพื่อแบ่งแยกเส้นเลือดออกจากม่านตาด้วย Frangi's Vessel Filtering ในภาพดวงตาสำหรับทดสอบรูปที่ 1

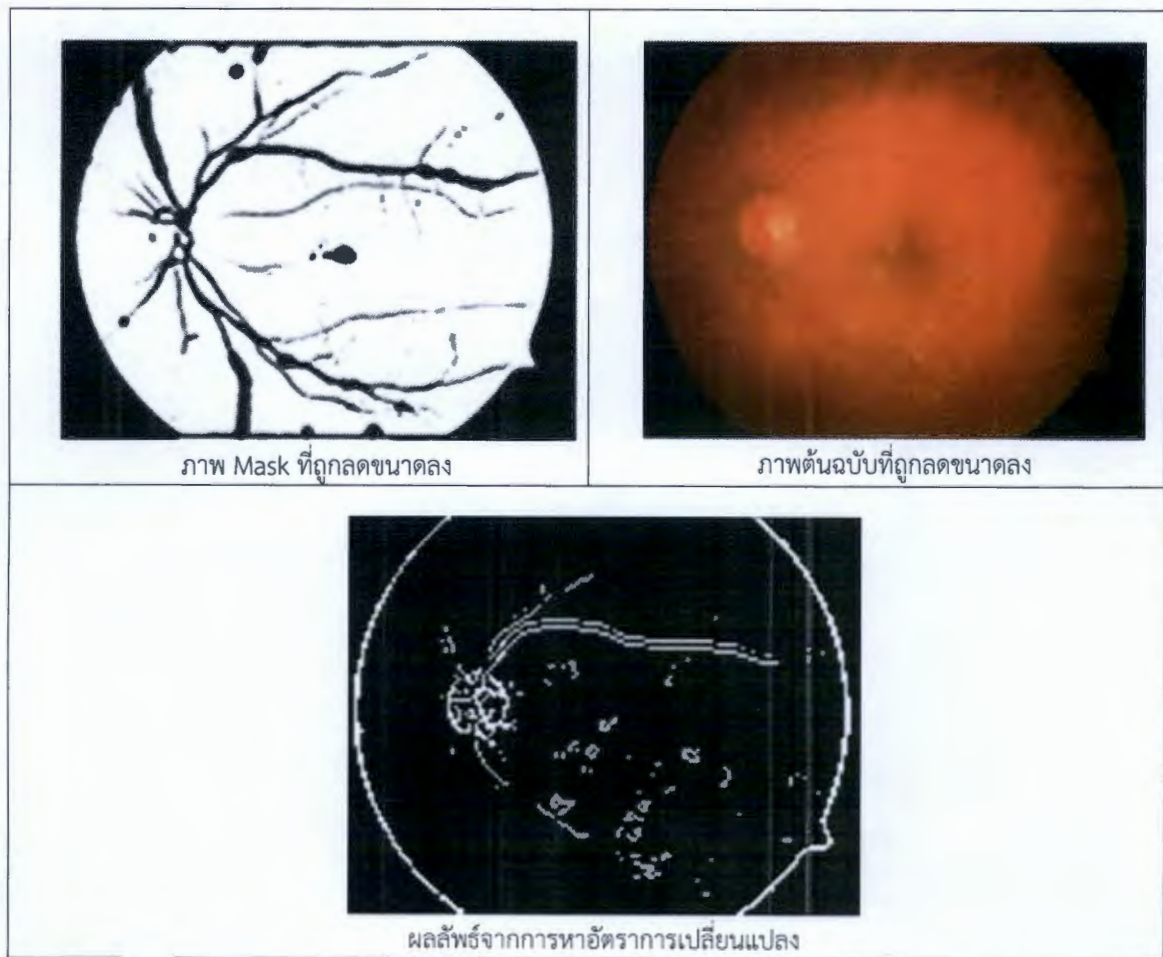


รูปที่ 4-11 ข. การประมวลผลเพื่อแบ่งแยกเส้นเลือดออกจากม่านตาด้วย Frangi's Vessel Filtering ในภาพดวงตาสำหรับทดสอบรูปที่ 2

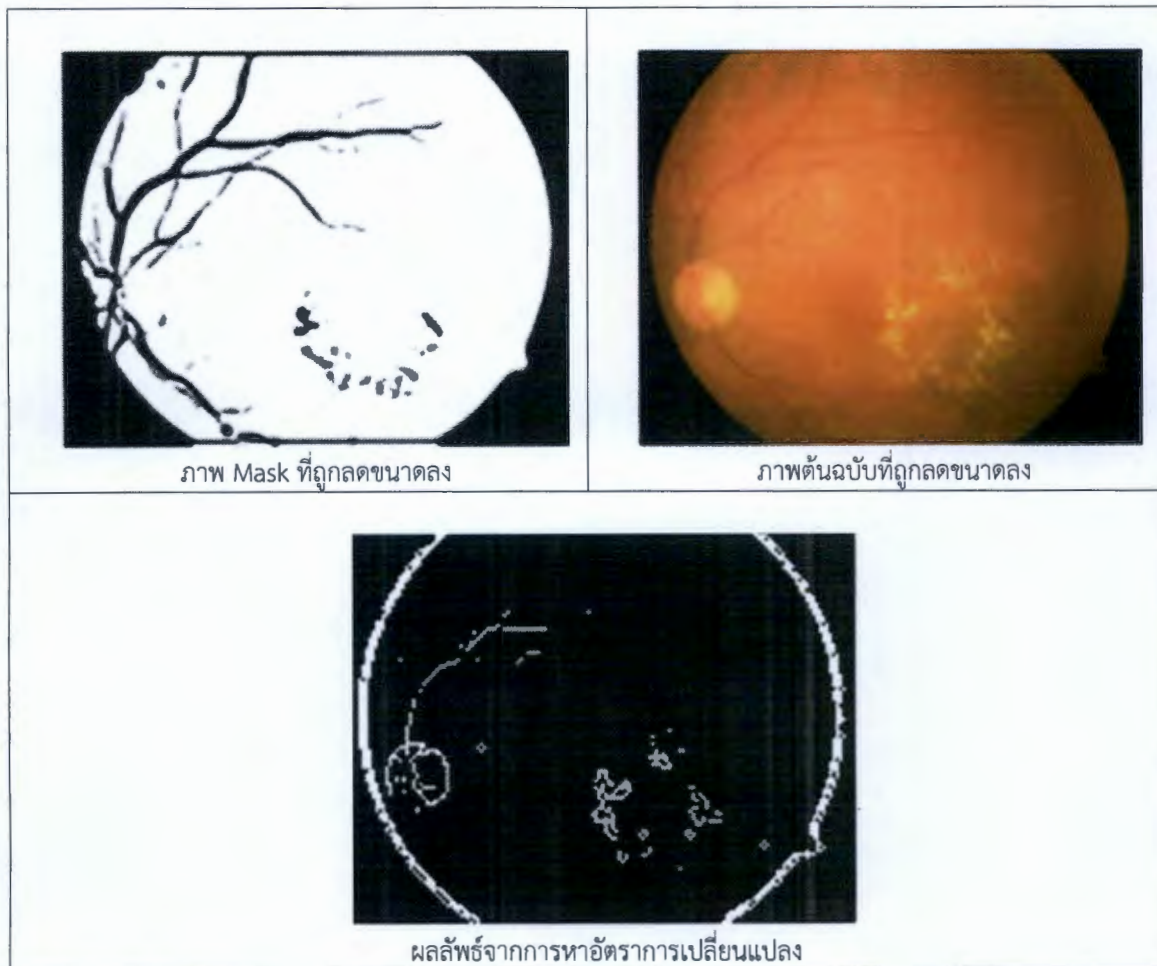
4.4 การตรวจหาจานประสาทตา

4.4.1 การหาอัตราการเปลี่ยนแปลงของภาพ (Sobel and prewitt gradient)

เมื่อนำรูปผลลัพธ์ทั้ง 4 รูปที่ได้จาก Sobel gradient ในสเปชสีแดง เขียว และน้ำเงิน (red, green, blue channel) และ prewitt gradient ในสเปชสีเทา (gray channel) ที่ถูกแปลงค่ามาจากสเปช RGB มาทำ XOR จะได้ภาพขอบดังรูป 4-12 ก. และ ข.



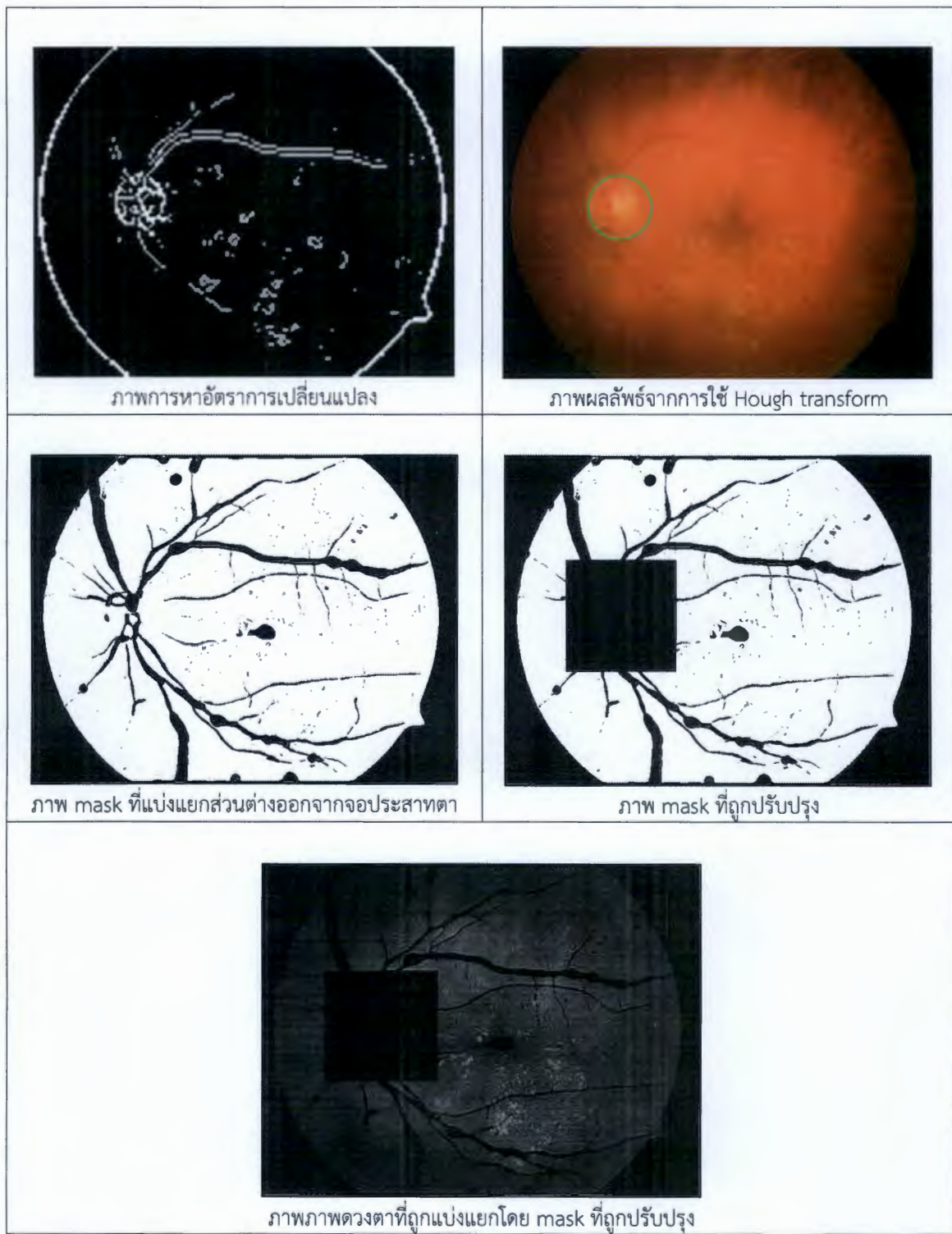
รูปที่ 4-12 ก. ภาพการหาอัตราการเปลี่ยนแปลงในสเปชสีแดง เขียว และน้ำเงิน ด้วย Sobel gradient ประกอบกับ prewitt gradient ในสเปช RGB สำหรับภาพดวงตาสำหรับทดสอบรูปที่ 1



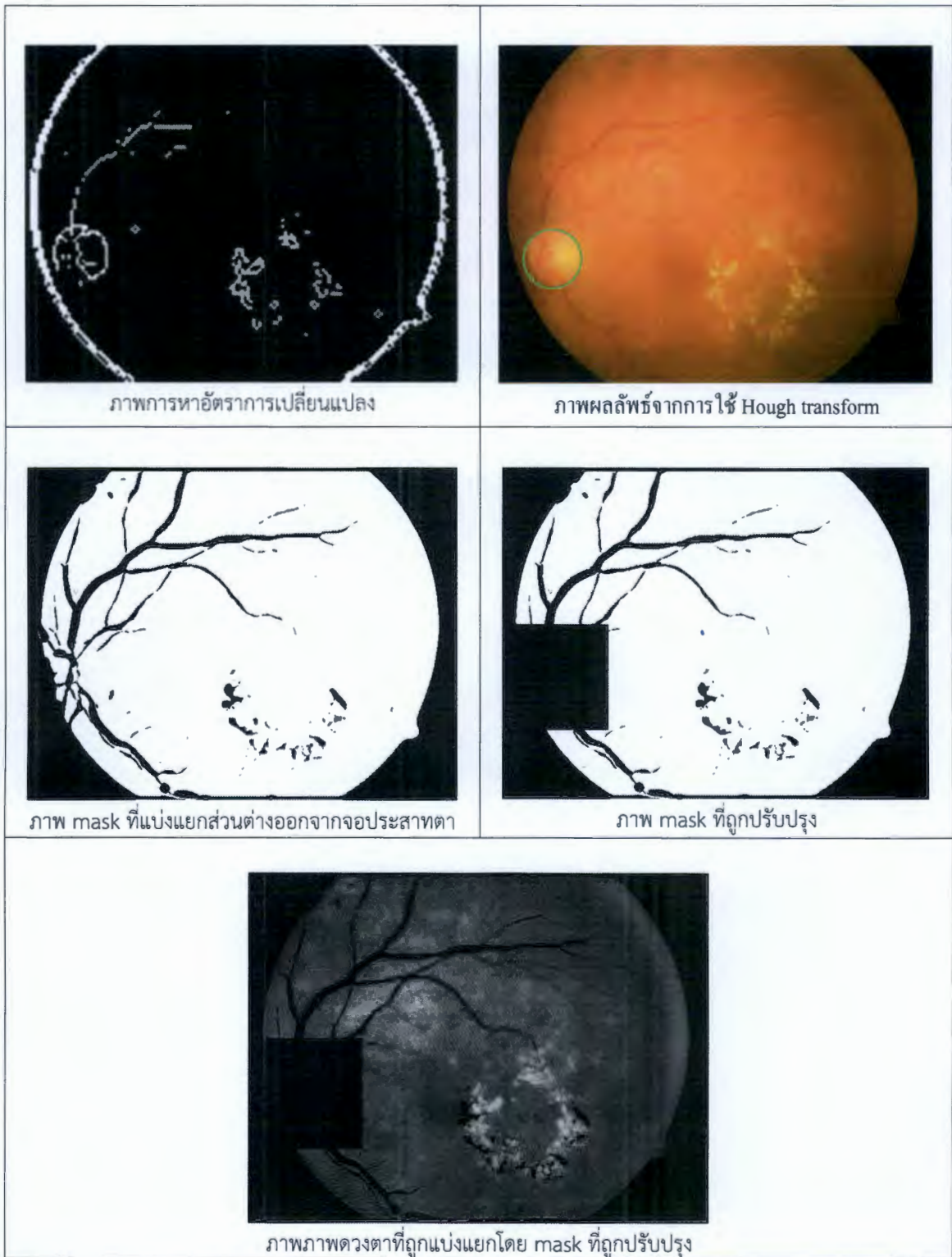
รูปที่ 4-12 ข. ภาพการหาอัตราการเปลี่ยนแปลงในสเปชสีแดง เขียว และน้ำเงิน ด้วย Sobel gradient ประกอบกับ prewitt gradient ในสเปช RGB สำหรับภาพดวงตาสำหรับทดสอบรูปที่ 2

4.4.2 Hough transform

จากภาพที่ได้จากขั้นตอนก่อนหน้านี้เมื่อนำไปผ่านขั้นตอนวิธี Hough Transform เพื่อค้นหาจօประสงค์ และนำตำแหน่งของจօประสงค์มาปรับปรุง Mask ในขั้นตอนก่อนหน้านี้ ซึ่งผลของการจัดกลุ่มจะทำให้ได้ส่วนบริเวณของจօประสงค์ตามที่ต้องการดังรูปที่ 4-13 ก. และ ข.



รูปที่ 4-13 ก. ภาพการตรวจหาจานประสาทตาในภาพอัตราการเปลี่ยนแปลง และการปรับปรุงภาพ Mask สำหรับรูปที่ 1



รูปที่ 4-13 ข. ภาพการตรวจหาจานประสาทตาในภาพอัตราการเปลี่ยนแปลง และการปรับปรุงภาพ Mask สำหรับรูปทดสอบรูปที่ 2

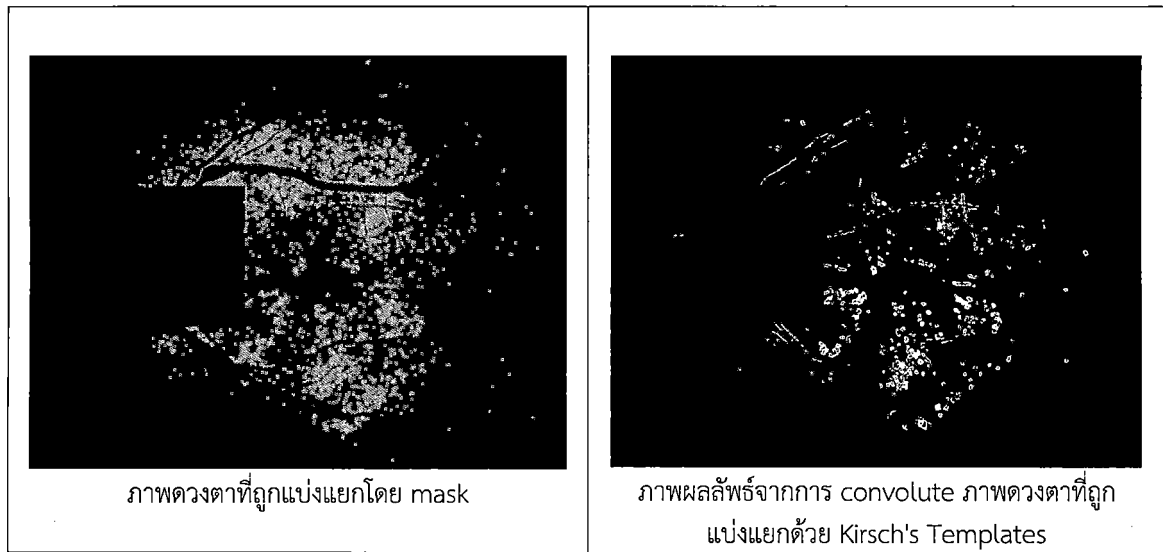
4.5 การระบุพื้นที่ของสิ่งชีมเยิ่มขัน

งานประสาททางของจอต้าจะมีลักษณะเป็นวงกลม ซึ่งในขั้นตอนนี้ได้ใช้ Kirsch's Templates เพื่อตรวจหาขอบของภาพทั้งหมด และใช้ Hough Transform เพื่อตรวจหาวงกลมภายในจอต้า

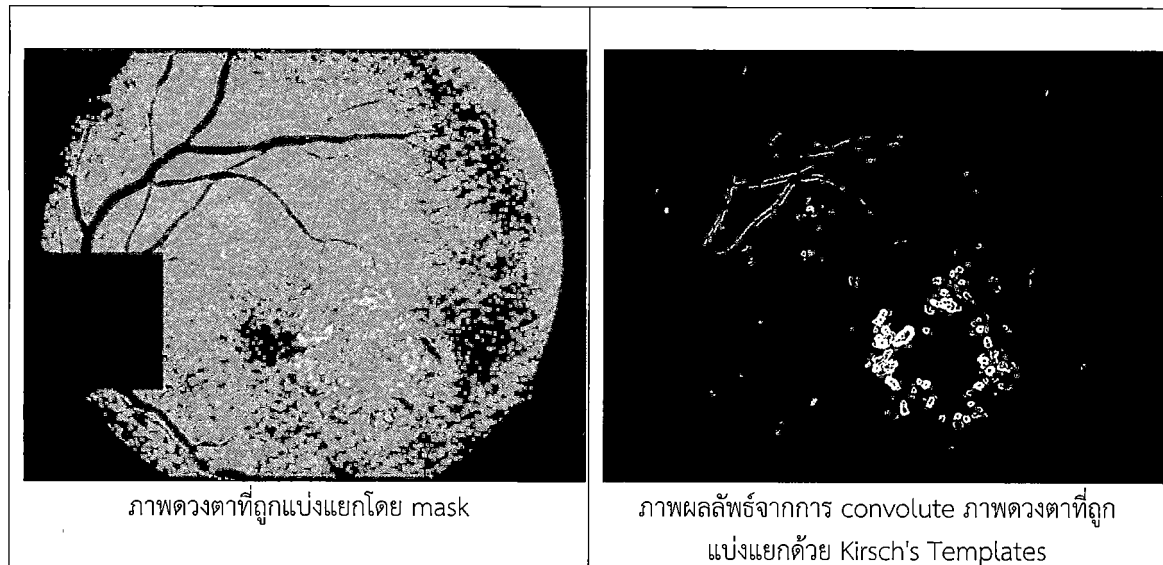
4.5.1 Kirsch's Templates

ในการประมวลผล Kirsch's Templates โดยการ convolute กับภาพของประสาทตา เพื่อหาขอบหรืออัตราการเปลี่ยนแปลงที่เกิดขึ้นภายในจอประสาทตาทั้งหมด

จากรูป 4-15 ก. และ ข. ผลลัพธ์ที่ได้จากการสร้าง mask ด้วย Kirsch's Templates ซึ่งถึงแม้ว่าจะสามารถกำหนดจุดที่มีสิ่งชีมเยิ่มขันได้ แต่ยังคงมีการ mask บางส่วนที่มีความผิดพลาด ซึ่งเกิดขึ้นบริเวณขอบของเส้นเลือด รวมถึงยังคงมีสิ่งชีมเยิ่มขันบางส่วนที่อยู่ภายนอกmask ที่ไม่เห็นรูป



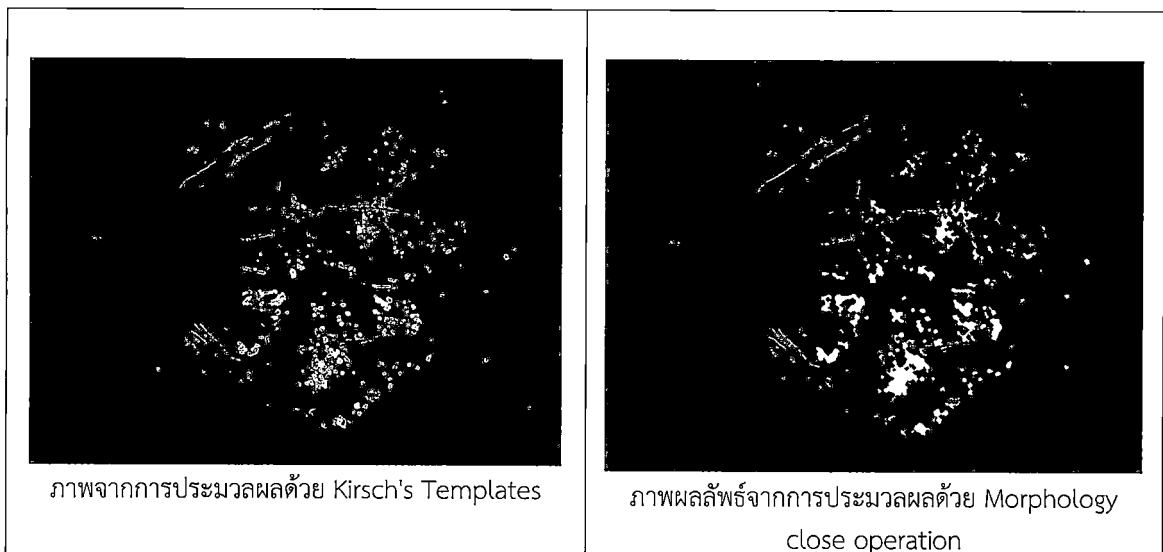
รูปที่ 4-15 ก. ภาพการ convolute ด้วย Kirsch's Templates กับภาพดวงตาที่ถูกแบ่งแยกด้วย mask ในภาพดวงตาสำหรับทดสอบรูปที่ 1



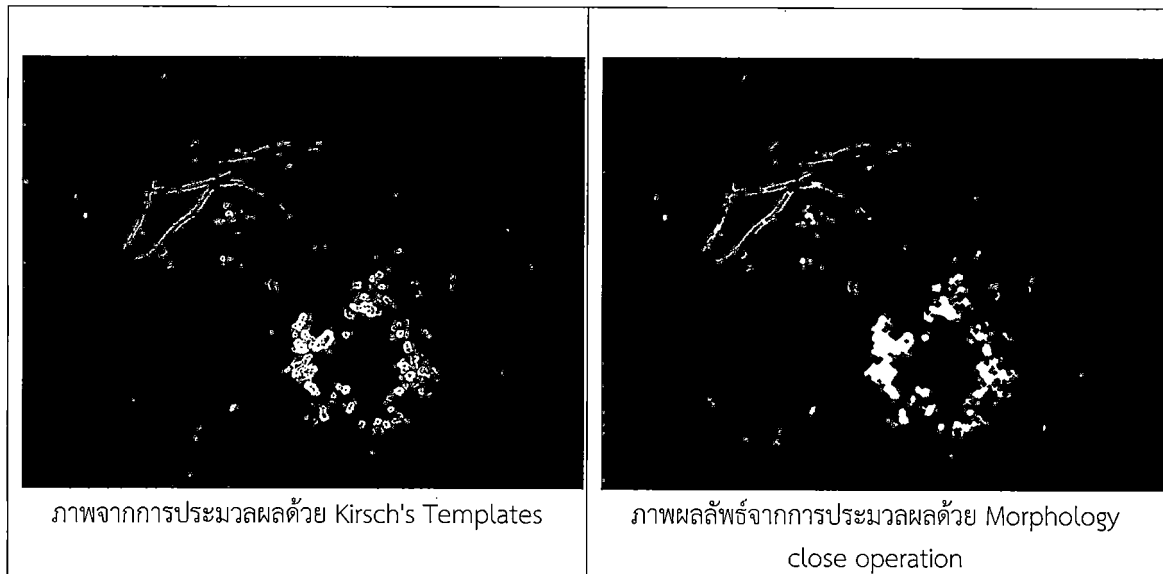
รูปที่ 4-15 ข. ภาพการ convolute ด้วย Kirsch's Templates กับภาพดูดงตาที่ถูกแบ่งแยกด้วย mask ในภาพดูดงตาสำหรับทดสอบรูปที่ 2

4.5.2 Morphology close operation

จากลักษณะของ mask ที่เกิดขึ้นจากการหาอัตราการเปลี่ยนแปลงด้วย Kirsch's Templates นั้น ยังคงมีบางส่วนเป็น mask ที่ไม่เต็มรูป จึงต้องใช้ Morphology close operation มาช่วยในการเติมเต็ม mask ซึ่งเลือกใช้การเติมเต็มในลักษณะของรูปวงกลม โดยผลลัพธ์ดังรูปที่ 4-16 ก. และ ข.



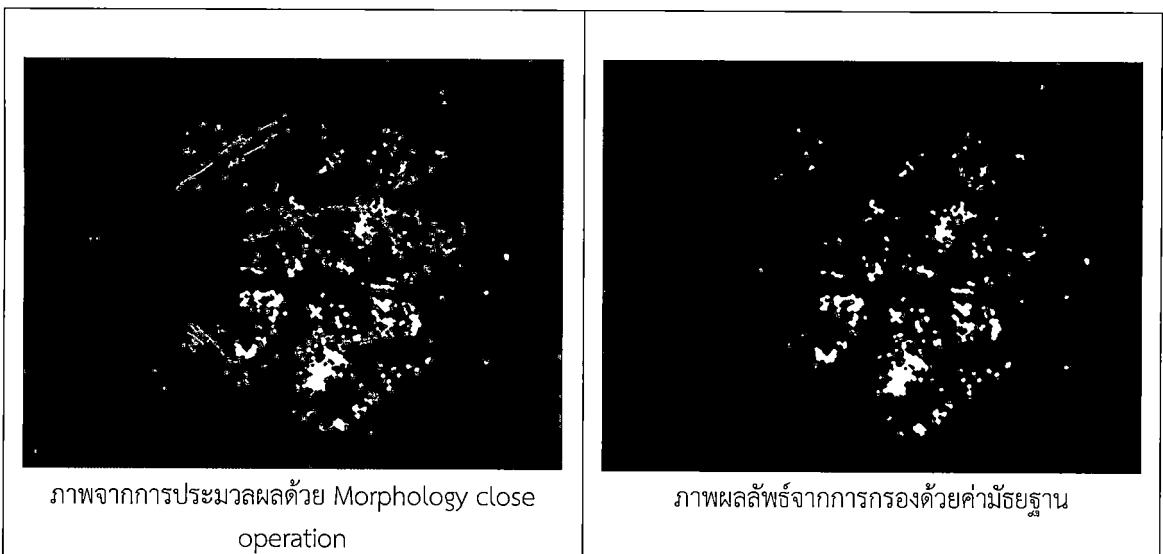
รูปที่ 4-16 ก. ภาพการประมวลผล Morphology close operation กับผลลัพธ์ที่ได้มาจากการประมวลผลด้วย Kirsch's Templates ในภาพดูดงตาสำหรับทดสอบรูปที่ 1



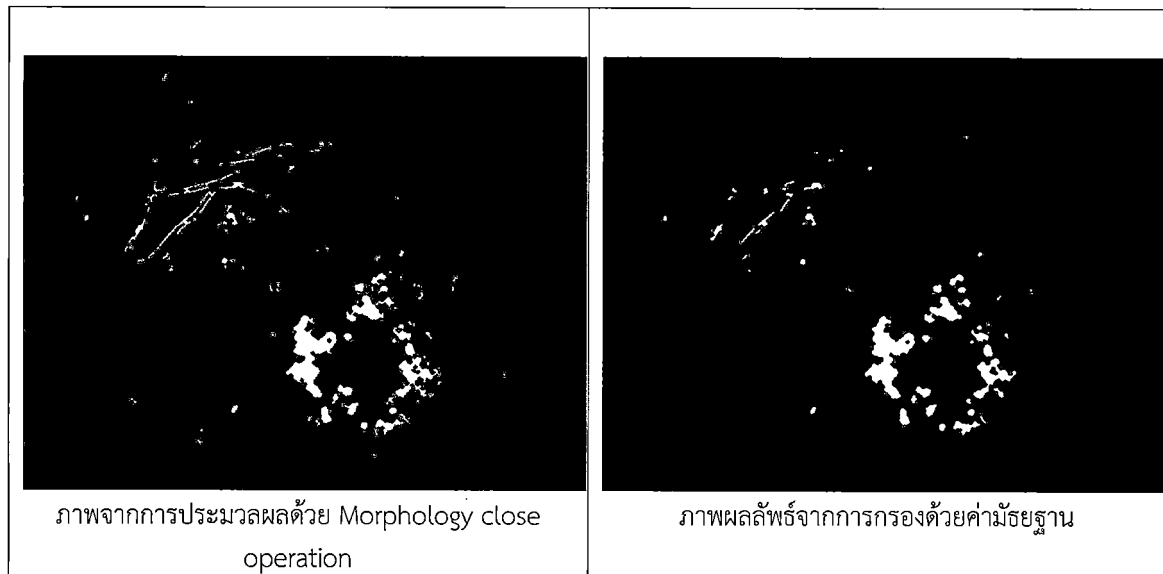
รูปที่ 4-16 ข. ภาพการประมวลผล Morphology close operation กับผลลัพธ์ที่ได้มาจากการประมวลผลด้วย Kirsch's Templates ในภาพดวงตาสำหรับทดสอบรูปที่ 2

4.5.3 การกรองด้วยค่ามัธยฐาน (Median filter)

ด้วยลักษณะเฉพาะตัวของสิ่งชีมเยิ่มขั้นมักจะเกาด้วยกันเป็นกลุ่ม และสิ่งที่เกิดขึ้นจากการนี้ที่ไม่เพียงประสงค์ ซึ่งอาจเกิดได้จากขอบภาพของเส้นเลือด ซึ่งการกรองด้วยค่ามัธยฐานทำให้สิ่งรบกวนที่เกิดขึ้นอย่างกระჯัดกระจางถูกทำให้หายไปแต่ยังคงให้ความสำคัญกับส่วนของ mask ที่เกากันเป็นกลุ่ม



รูปที่ 4-17 ก. ภาพการกรองด้วยค่ามัธยฐาน ด้วยภาพจากการประมวลผล Morphology close operation ในภาพดวงตาสำหรับทดสอบรูปที่ 1

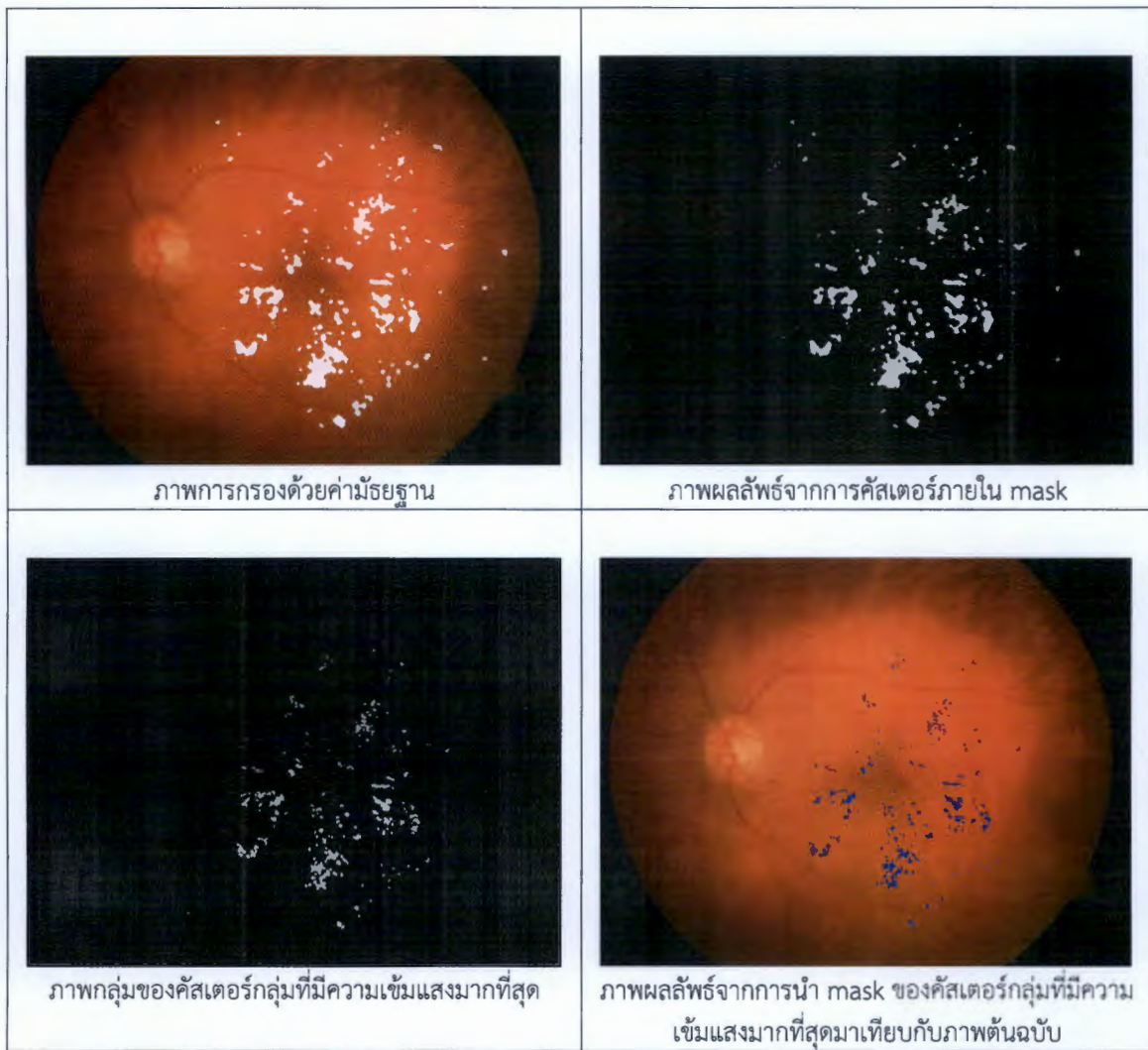


รูปที่ 4-17 ข. ภาพการกรองด้วยค่ามัชยฐาน ด้วยภาพจากการประมวลผล Morphology close operation ในภาพดวงตาสำหรับทดสอบรูปที่ 2

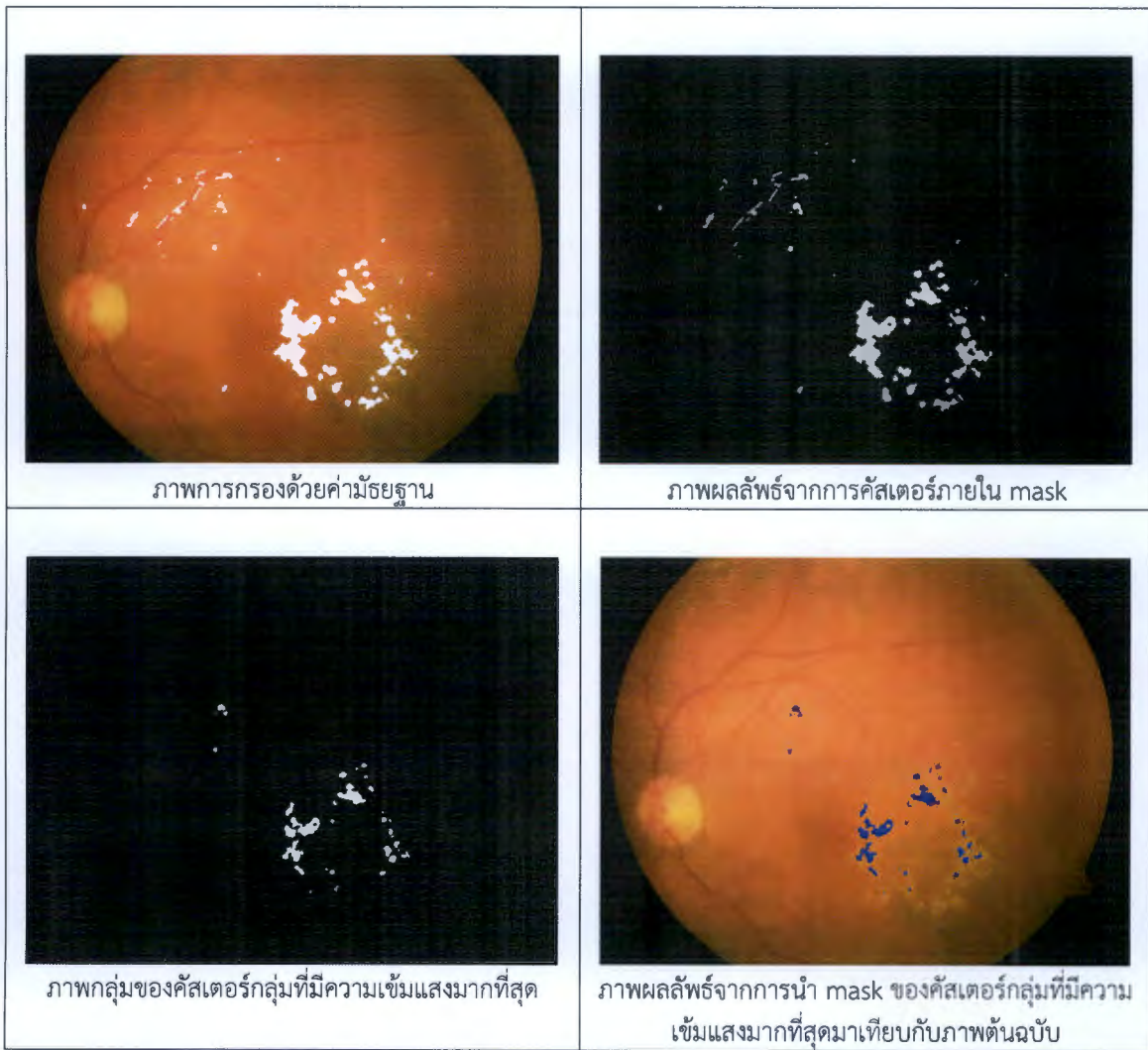
4.5.4 การทำคัสเตอร์ข้อมูลแบบลำดับชั้น (Hierarchical Clustering)

จากขั้นตอนการเติมเต็มและขัด Mask ที่เป็นสิ่งรบกวน ในการทำ morphology close operation นั้น ทำให้ภายนอก mask มีห้องสิ่งที่เป็นสิ่งซึ่งเมื่อขึ้นเส้นเลือด และพื้นหลัง โดยขั้นตอนนี้จะ เป็นการแบ่งกลุ่มส่วนประกอบภายนอก mask ดังกล่าว

การทำคัสเตอร์แบบลำดับชั้นกับข้อมูล คือ ค่าระดับเทา (Gray Level) ของจุดภาพภายใน เชกเมนต์ กระบวนการในขั้นตอนนี้เป็นการประมวลผลร่วมระหว่างภาพต้นฉบับและ Mask ที่สร้างขึ้น เพื่อใช้พิจารณาการแบ่งกลุ่มข้อมูล โดยแยกกลุ่มข้อมูลด้วยการตรวจสอบความแปรปรวนแล้วพิจารณา ค่ามัชยฐาน และรวมกลุ่มเข้าด้วยกันโดยการประเมินระยะทางหรือความแตกต่างระหว่างคุณค่าคัสเตอร์



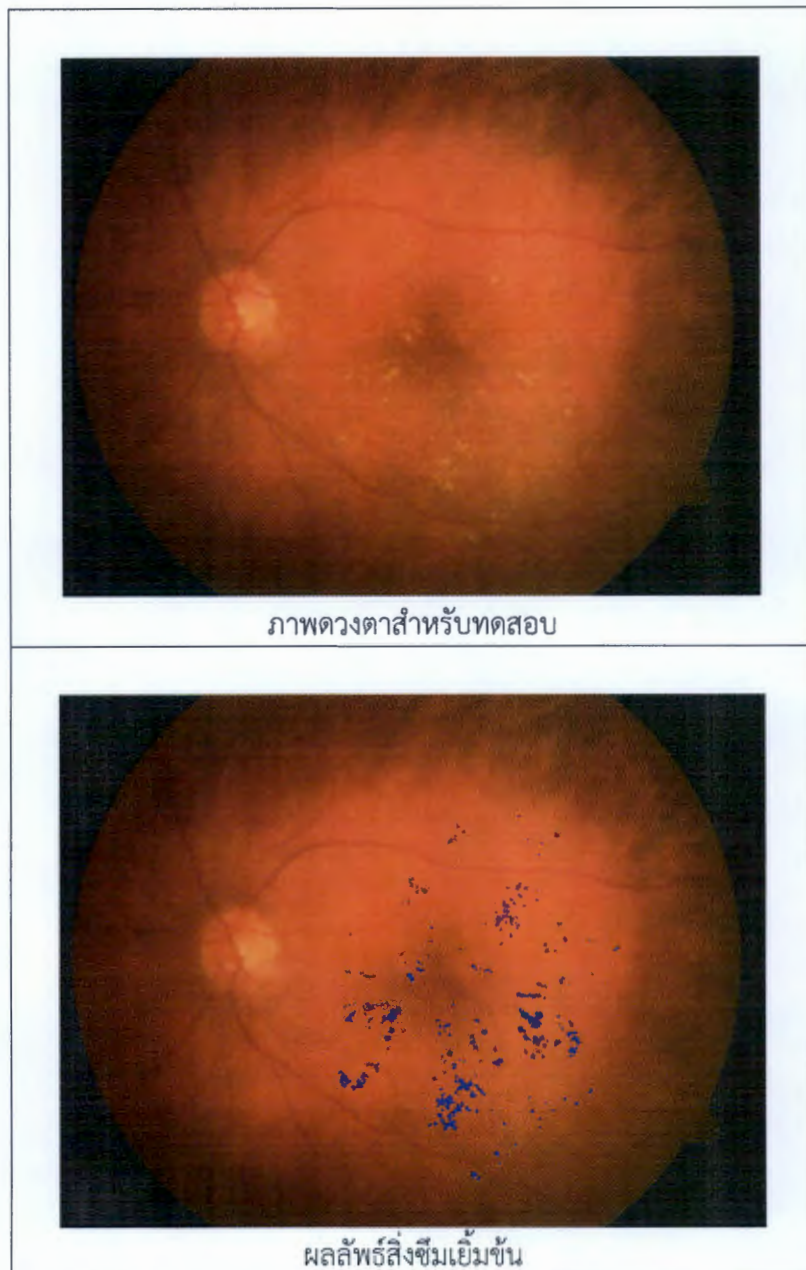
รูปที่ 4-18 ก. ภาพการทำคัดเตือนภาพที่กรองด้วยค่ามัธยฐาน ในภาพดวงตาสำหรับทดสอบรูปที่ 1



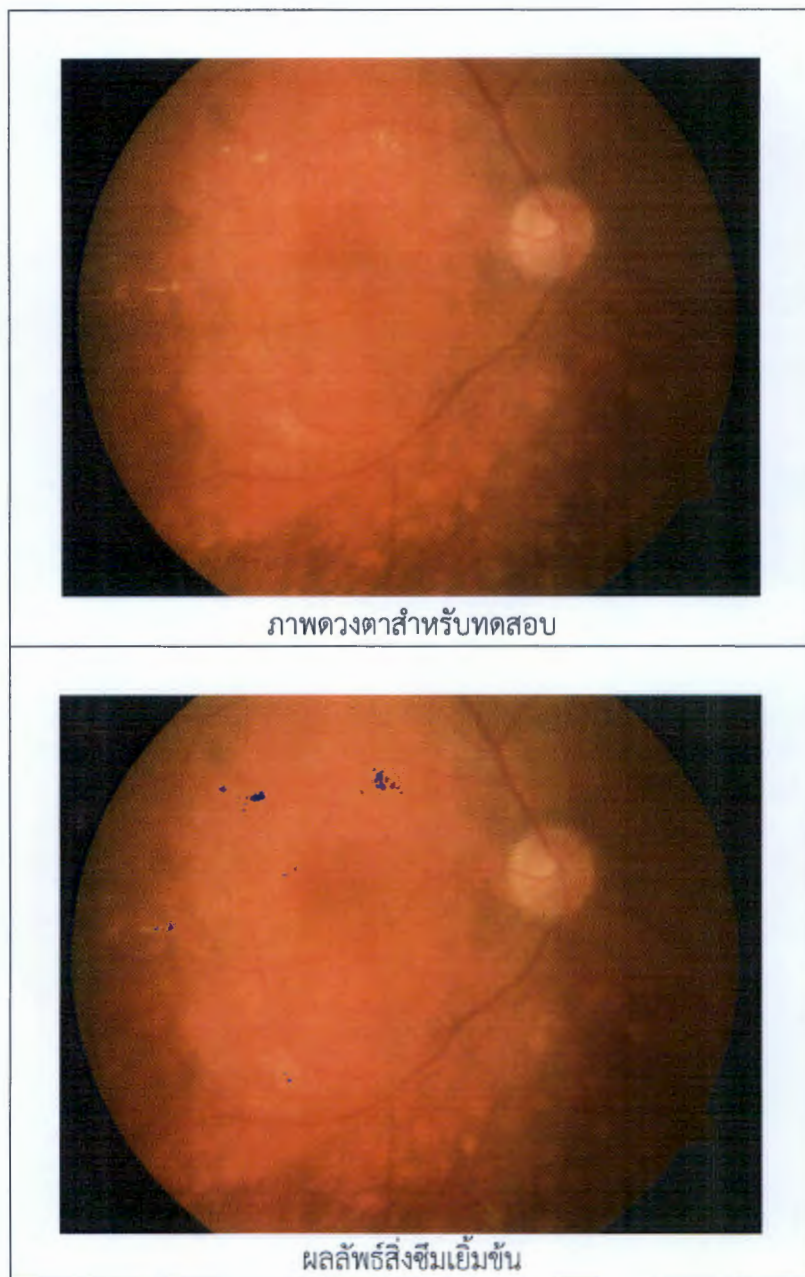
รูปที่ 4-18 ข. ภาพการทำคัดเตือนภาพที่กรองด้วยค่ามัธยฐาน ในภาพดวงตาสำหรับทดสอบรูปที่ 2

4.6 ภาพผลการทดลองทั้งหมด

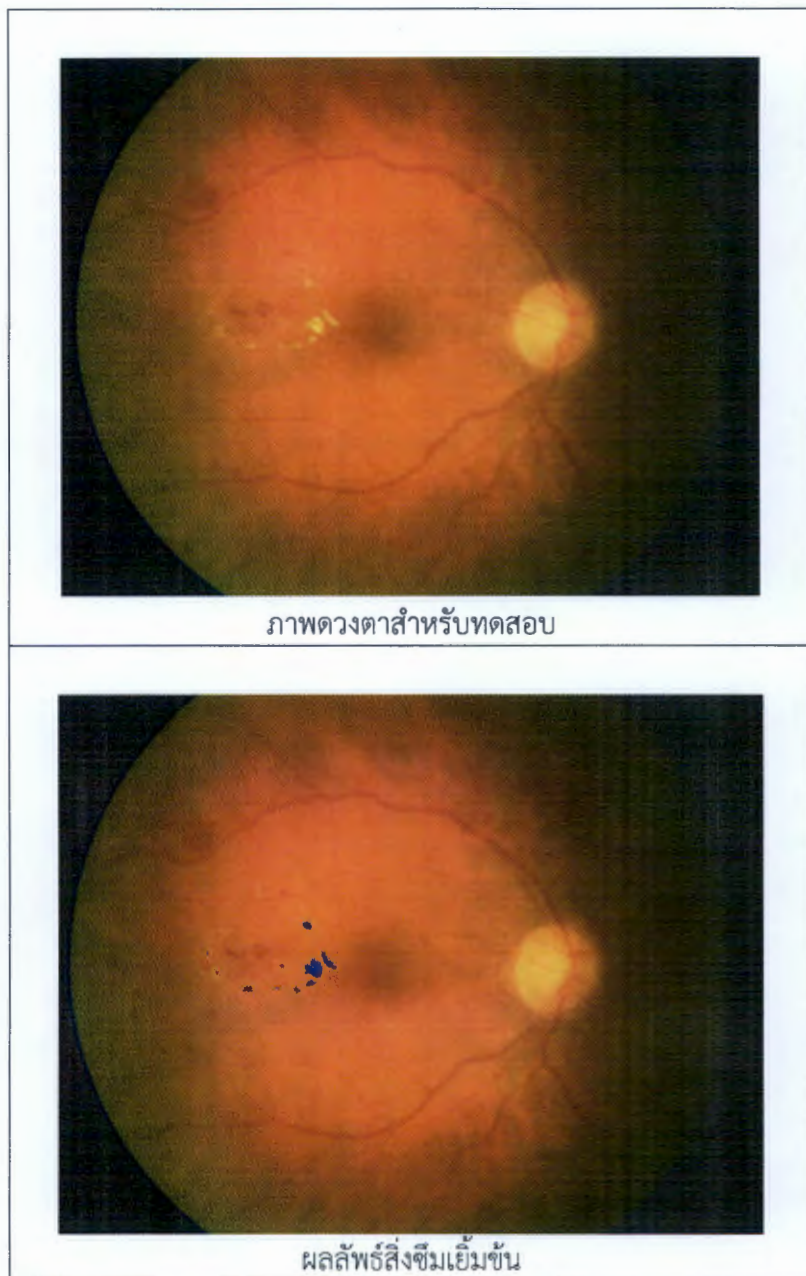
ในงานวิจัยนี้ได้ทำการทดลองการหาสิ่งซึ่งเมื่อเย็บขันจากผู้ป่วยโรคเบาหวานทั้งหมด 16 ราย โดยที่แต่ละภาพมีความเข้มของสีและแสงที่แตกต่างกัน ซึ่งภาพดวงตาต้นฉบับที่ใช้ในการทดลองอยู่ด้านบน และภาพผลลัพธ์สิ่งซึ่งเมื่อเย็บขัน (สีน้ำเงิน) อยู่ด้านล่าง แสดงดังรูปที่ 4-19 ถึง 4-34



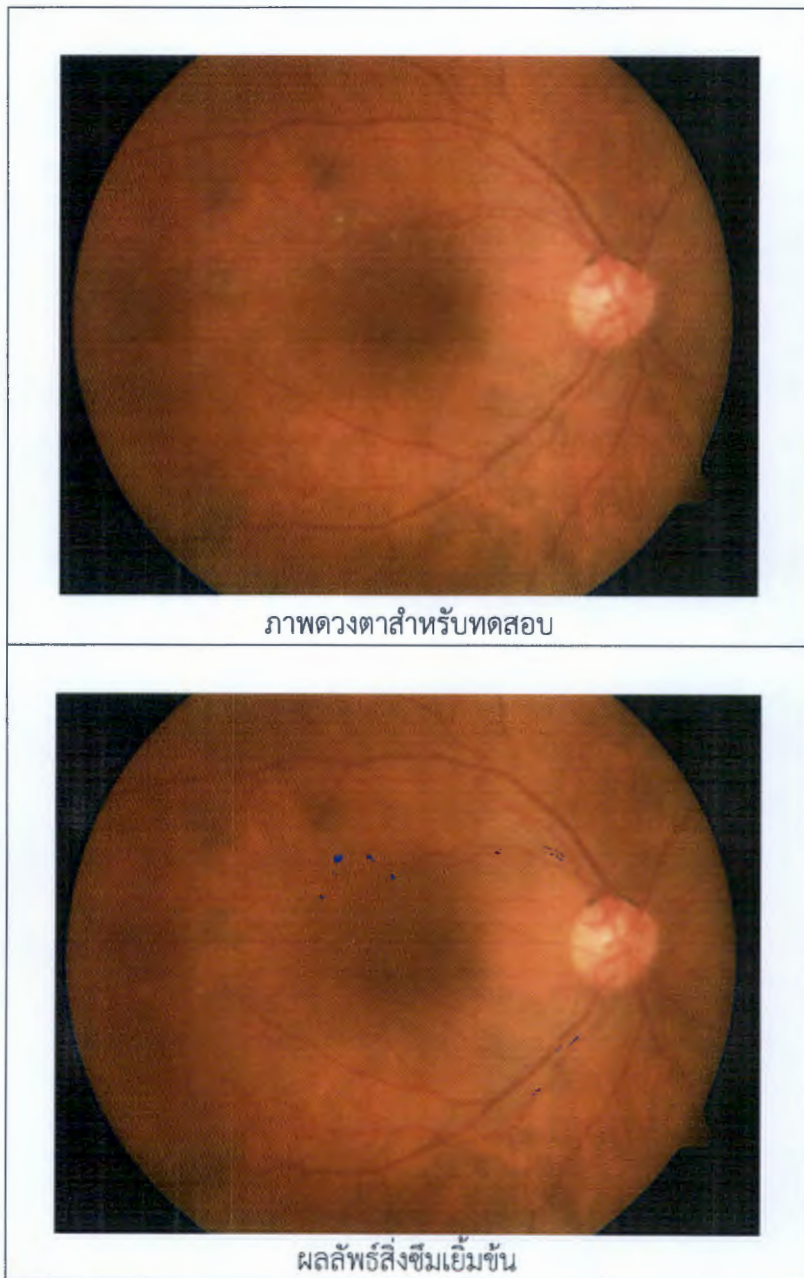
รูปที่ 4-19 ภาพดวงตาสำหรับทดสอบและผลลัพธ์ภาพที่ 1



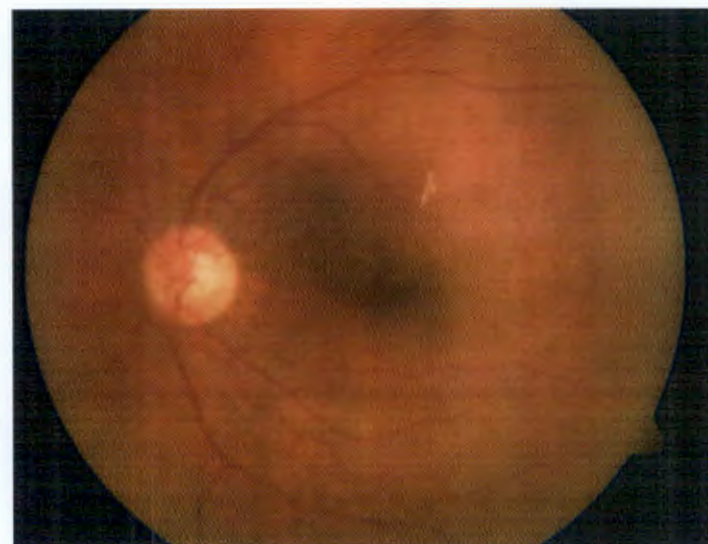
รูปที่ 4-20 ภาพดวงตาสำหรับทดสอบและผลลัพธ์ภาพที่ 2



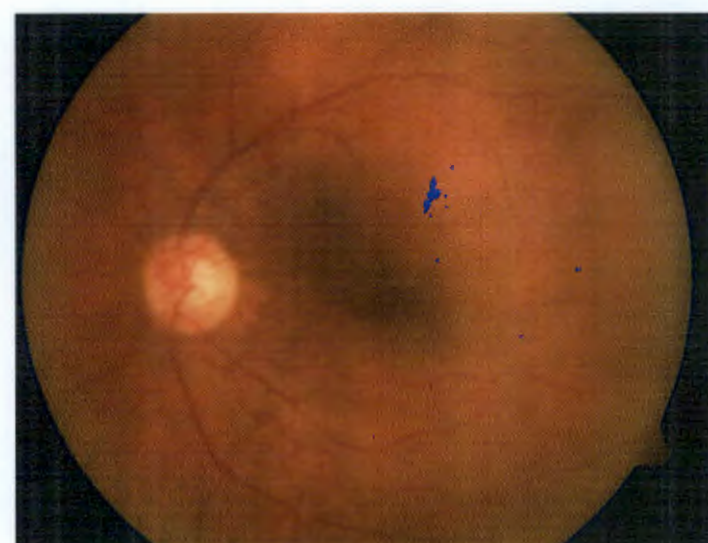
รูปที่ 4-21 ภาพดวงตาสำหรับทดสอบและผลลัพธ์ภาพที่ 3



รูปที่ 4-22 ภาพดวงตาสำหรับทดสอบและผลลัพธ์ภาพที่ 4



ภาพดวงตาสำหรับทดสอบ

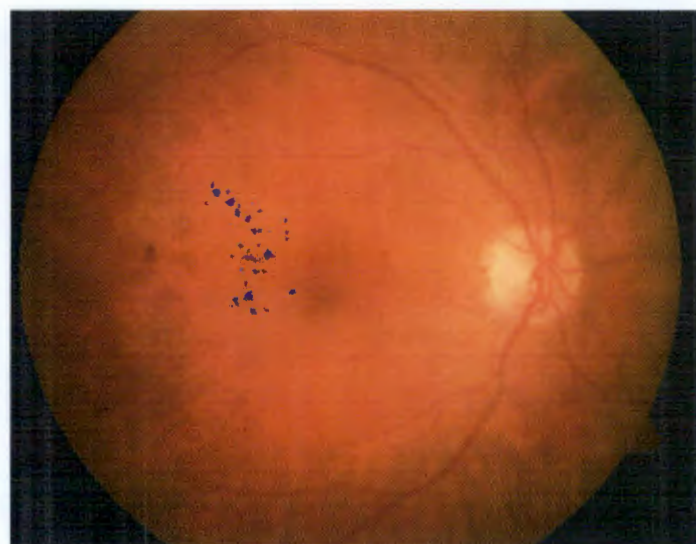


ผลลัพธ์สิ่งชี้มิเย้มขัน

รูปที่ 4-23 ภาพดวงตาสำหรับทดสอบและผลลัพธ์ภาพที่ 5

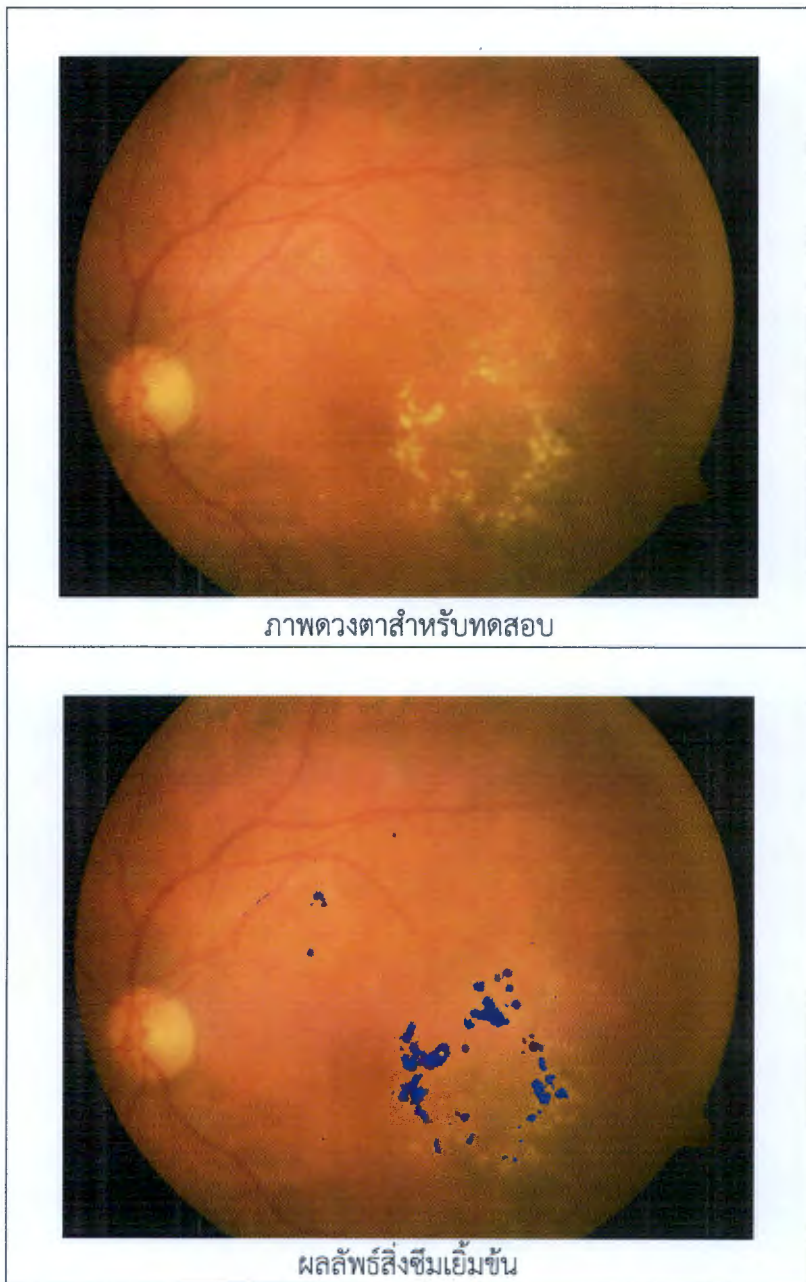


ภาพดวงตาสำหรับทดสอบ

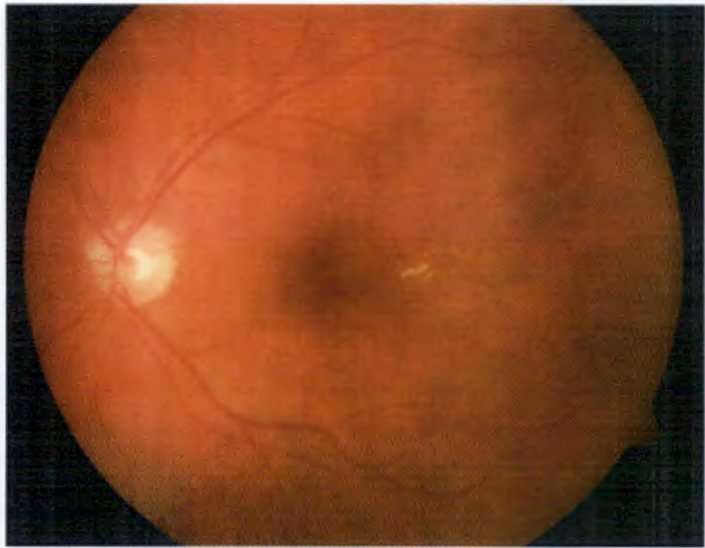


ผลลัพธ์สิ่งซึมเข้มข้น

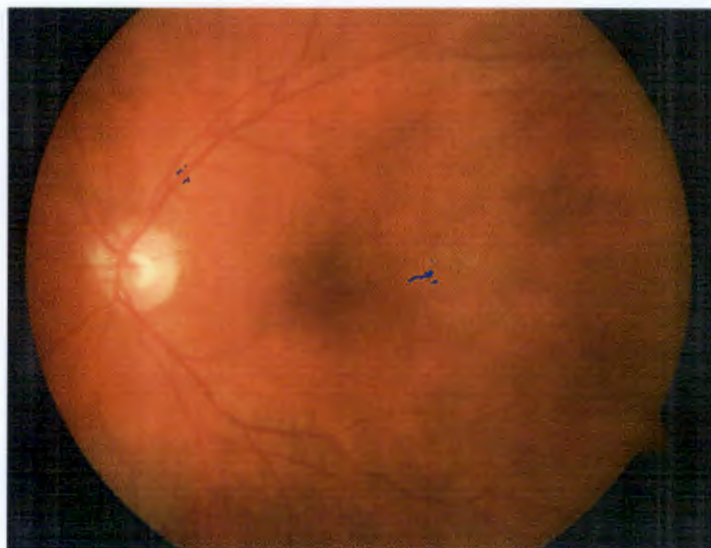
รูปที่ 4-24 ภาพดวงตาสำหรับทดสอบและผลลัพธ์ภาพที่ 6



รูปที่ 4-25 ภาพดวงตาสำหรับทดสอบและผลลัพธ์ภาพที่ 7



ภาพดวงตาสำหรับทดสอบ

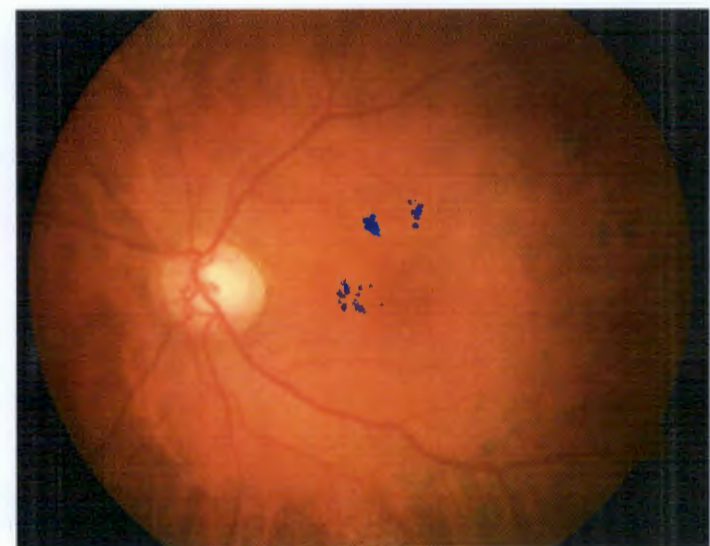


ผลลัพธ์สิ่งชีมเข้มข้น

รูปที่ 4-26 ภาพดวงตาสำหรับทดสอบและผลลัพธ์ภาพที่ 8

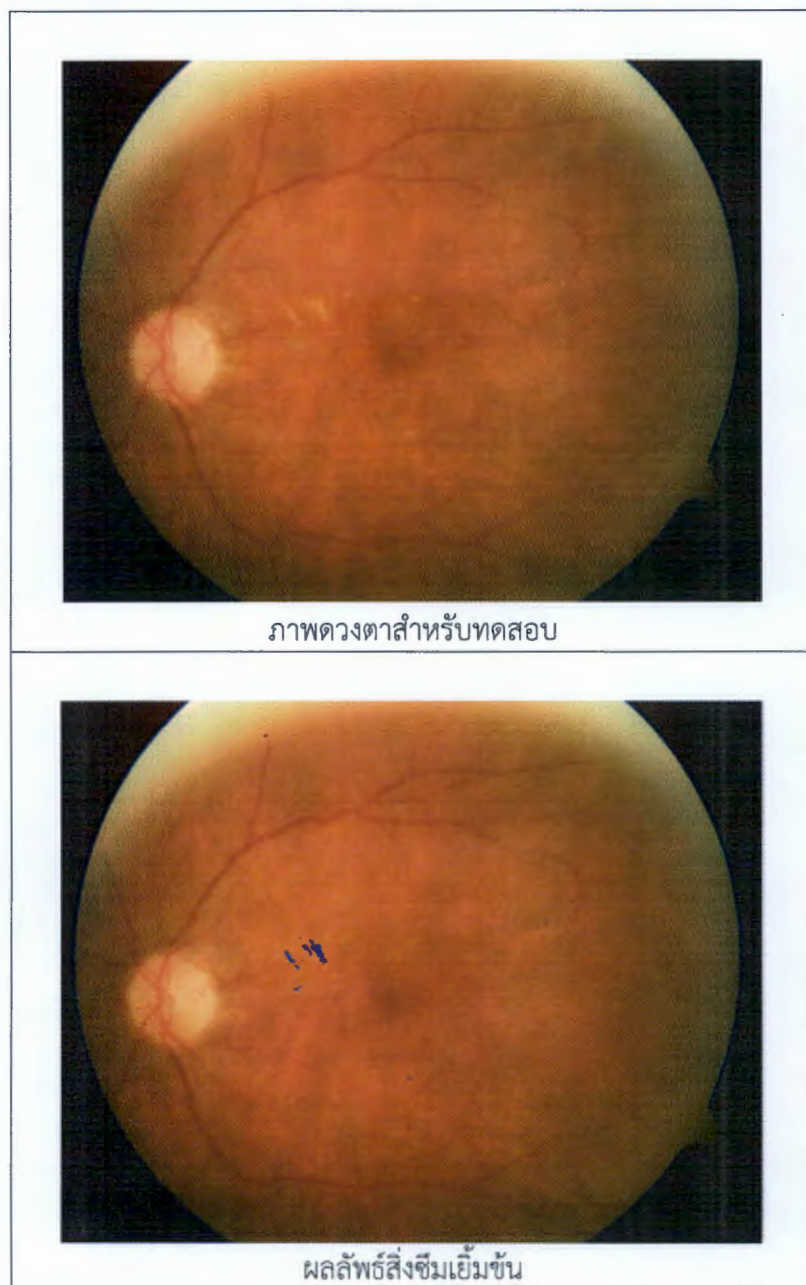


ภาพดวงตาสำหรับทดสอบ



ผลลัพธ์สิ่งชี้มิเย็นขัน

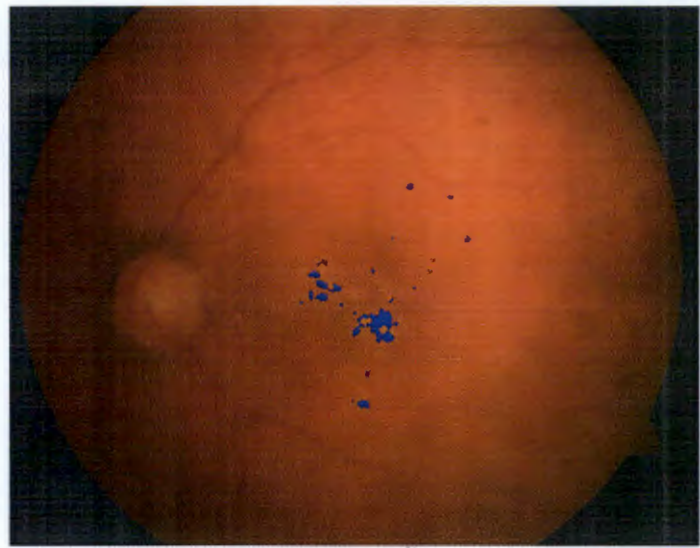
รูปที่ 4-27 ภาพดวงตาสำหรับทดสอบและผลลัพธ์ภาพที่ 9



รูปที่ 4-28 ภาพดวงตาสำหรับทดสอบและผลลัพธ์ภาพที่ 10

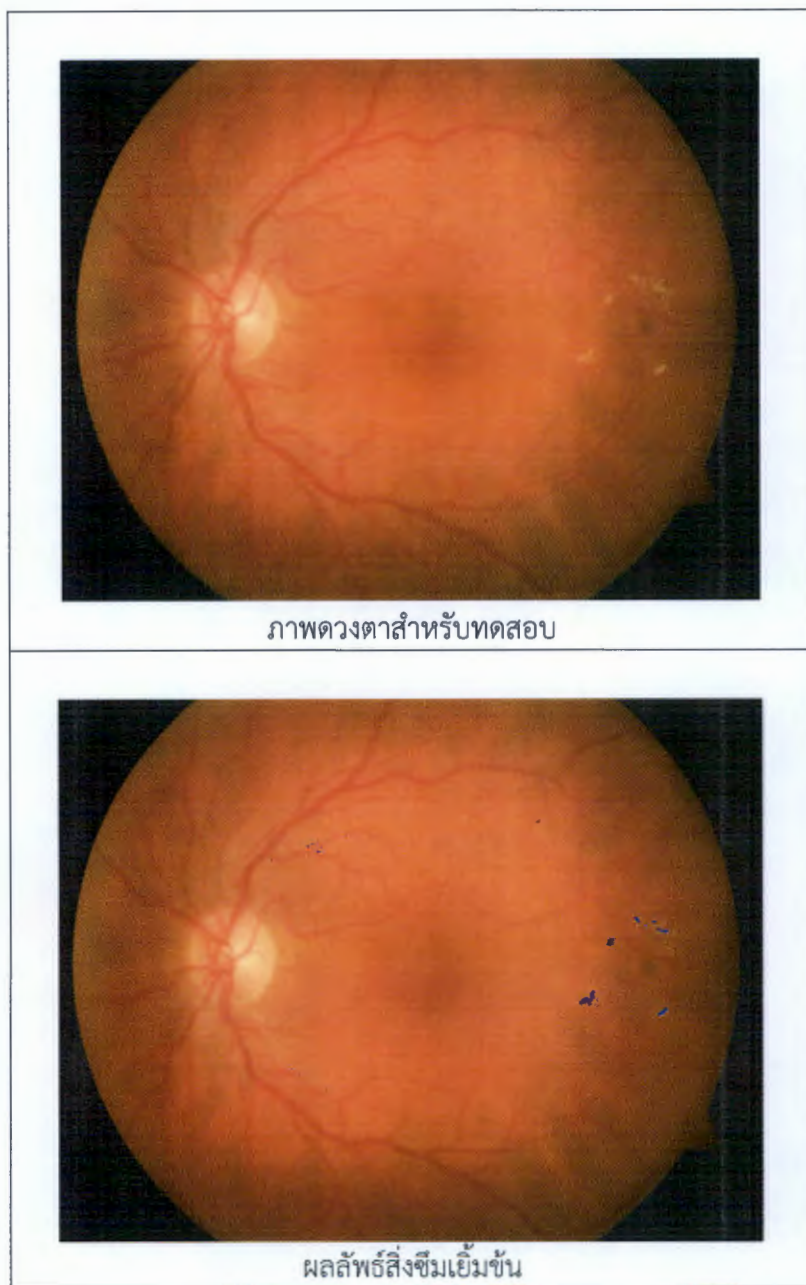


ภาพดวงตาสำหรับทดสอบ

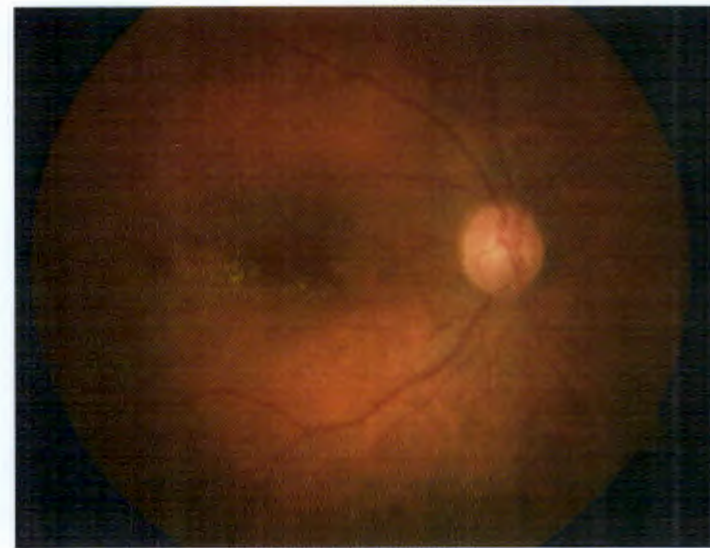


ผลลัพธ์สีงชีมเย้มข้น

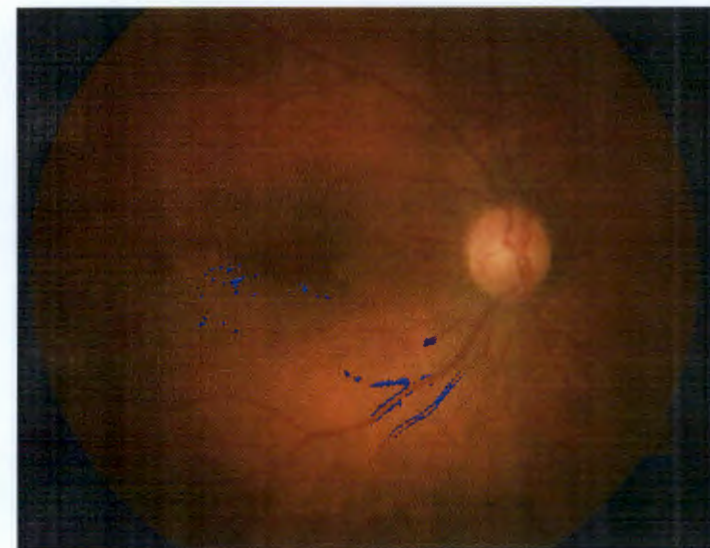
รูปที่ 4-29 ภาพดวงตาสำหรับทดสอบและผลลัพธ์ภาพที่ 11



รูปที่ 4-30 ภาพดวงตาสำหรับทดสอบและผลลัพธ์ภาพที่ 12

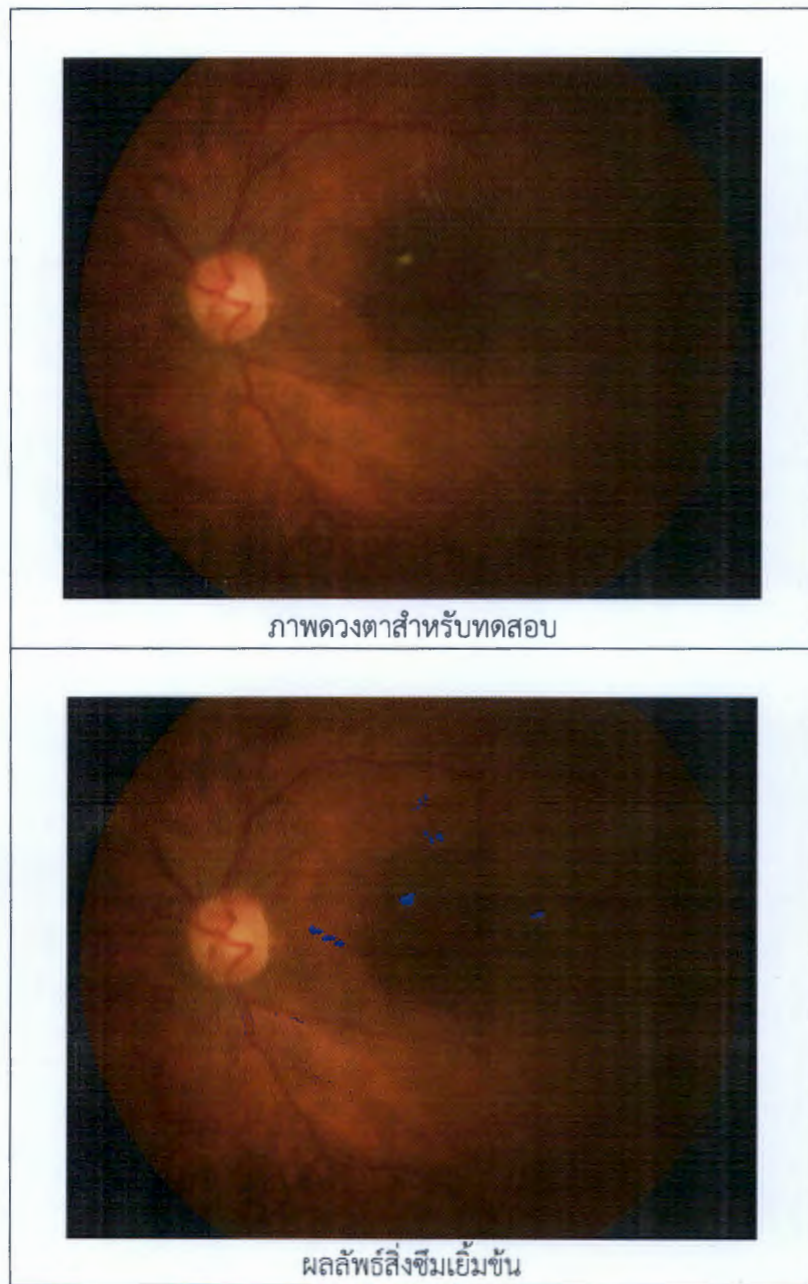


ภาพดวงตาสำหรับทดสอบ



ผลลัพธ์ดึงซึมเข้มข้น

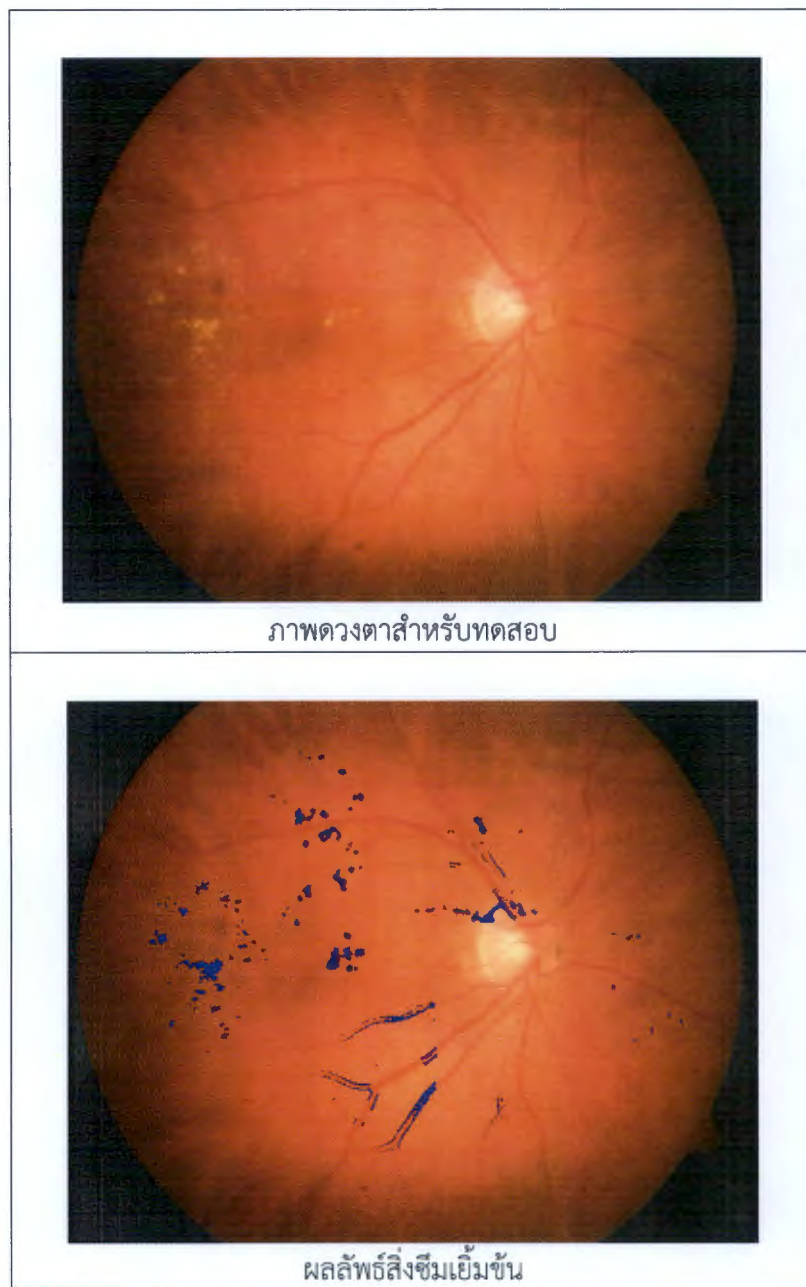
รูปที่ 4-31 ภาพดวงตาสำหรับทดสอบและผลลัพธ์ภาพที่ 13



รูปที่ 4-32 ภาพดวงตาสำหรับทดสอบและผลลัพธ์ภาพที่ 14



รูปที่ 4-33 ภาพดูดงตาสำหรับทดสอบและผลลัพธ์ภาพที่ 15



รูปที่ 4-34 ภาพดวงตาสำหรับทดสอบและผลลัพธ์ภาพที่ 16

บทที่ 5 สรุปผลการทดลอง

5.1 สรุปผลการทดลอง

งานวิจัยนี้ นำเสนอบริการคำนวณเชิงตัวเลขและวิธีการเชิงคำนวณสำหรับการประยุกต์ใช้เพื่อ ตรวจจับหาสิ่งซึ่งมีขึ้นในภาพจากตัวของผู้ป่วยเบาหวานที่จ่อตาโดยแบ่งขั้นตอนการประมวลผลออกเป็น 4 ขั้นตอนหลัก คือการแยกภาพพื้นหลังออกจากภาพดวงตาด้วย Object Attribute Thresholding Process, การตรวจหาเส้นเลือดด้วย Frangi's Vessel Filtering, การตรวจหาจุดประสาทตาด้วย Hough transform, การระบุพื้นที่ของสิ่งซึ่งมีขึ้นด้วย Kirsch's Templates และ การแบ่งกลุ่มข้อมูลโดยใช้ขั้นตอนวิธี Hierarchical Clustering โดยการดำเนินการทั้งหมดผู้วิจัยจะดำเนินการกับทั้งสเปชสีเขียวของระบบสี RGB และ สเปช RGB โดยทั้งนี้ จากการศึกษาเบื้องต้น เกี่ยวกับลักษณะของข้อมูลภาพจากตา พบว่าในภาพจากตาในส่วนของสเปชสีเขียวจะมีข้อมูลและสารสนเทศที่มากกว่าสเปชสีแดง และ สเปชสีฟ้า ทำให้ผู้วิจัยสามารถวิเคราะห์และสนับสนุนการตัดสินใจได้อย่างเพียงพอจากการทดลองเบื้องต้นผู้วิจัยได้ทดสอบขั้นตอนวิธีที่นำเสนอ กับข้อมูลภาพที่มีสิ่งซึ่งมีขึ้นที่เกิดขึ้นในผู้ป่วยเบาหวานที่จ่อตา 2 ภาพ พบว่า ขั้นตอนวิธีที่นำเสนอให้ผลการทดลองเป็นที่น่าพอใจ

5.2 ปัญหาและข้อเสนอแนะ

วิธีการที่นำเสนอสำหรับการตรวจจับสิ่งซึ่งมีขึ้นในภาพจากตาในงานวิจัยนี้ยังไม่ให้ผลการทดลองเป็นที่น่าพอใจในระดับหนึ่งเท่านั้น ยังต้องการการพัฒนาขั้นตอนวิธีต่อไปอีกรอบ กล่าวคือ ยังมีข้อเสนอแนะที่ควรปรับปรุงขั้นตอนวิธี ดังนี้

1. วิธีการที่นำเสนอในงานวิจัยนี้จะทำงานได้ผลดีกับภาพจ่อตาที่มีสิ่งซึ่งมีขึ้นที่มีขนาดใหญ่ และมีความชัดเจนกล่าวคือ สิ่งซึ่งมีขึ้นที่เกิดขึ้นต้องมีความชัดเจนเพียงพอถ้าสิ่งซึ่งมีขึ้นมีลักษณะบางหรือยังไม่ชัดเจนจะไม่สามารถตรวจพบได้
2. การใช้ Hough Transform ใน การตรวจหาบริเวณ Disc ของจ่อตา ถ้า Disc ไม่มีลักษณะเป็นวงกลม จะไม่สามารถตรวจพบได้
3. วิธีการที่นำเสนอจะสามารถตรวจจับได้เฉพาะส่วนบริเวณของสิ่งซึ่งมีขึ้นเท่านั้น ในขณะที่ส่วนของเส้นเลือดในจ่อตาจะไม่สามารถตรวจจับได้
4. วิธีการที่นำเสนอ จะใช้ได้กับภาพที่มีความคมชัดสูง (High Contrast) ส่วนภาพที่มีความคมชัดต่ำ (Low Contrast) จะยังทำงานได้เมื่อพอดังนั้น จึงควรปรับปรุงขั้นตอนวิธีสำหรับแก้ปัญหาที่กล่าวมาข้างต้นเพื่อเพิ่มประสิทธิภาพในการตรวจจับสิ่งซึ่งมีขึ้นที่มีโอกาสเกิดขึ้นในลักษณะต่างๆ

បច្ចនានុករម

- Alireza Osareh, Bita Shadgar และ Richard Markham (2009), A Computational-Intelligence-Based Approach for Detection of Exudates in Diabetic Retinopathy Images, *IEEE Transactions on Information Technology in Biomedicine*, vol. 13, no. 4, July 2009.
- Alasdair McAndrew, (2004), *Introduction to Digital Image Processing with MATLAB*, Thomson, 2004.
- Charles.W.Therrien, (1989), *Decision Estimation and Classification: An Introduction to Pattern Recognition and Related Topics*, John Wiley & Sons.
- Clara I. Sanchez, Roberto Hornero, Maria I. Lopez, Mateo Aboy, Jesus Poza, และ Daniel Abasolo (2008), A novel automatic image processing algorithm for detection of hard exudates based on retinal image analysis, *Medical Engineering & Physics*, vol. 30, pp.350–357.
- D. H. Wolpert, (1992), Stacked Generalization. *Neural Networks*, 5(2), pp. 241–259.
- H.S. Bhadauria, S.S. Bisht, Annapurna Singh, (2013), Vessels Extraction from Retinal Images, IOSR Journal of Electronics and Communication Engineering (IOSR-JECE), Vol. 6, PP 79-82.
- L. Breiman, (1996), Bagging Predictors. *Machine Learning*, 24(2), pp. 123–140.
- P. Kahai, K. R. Namuduri และ H. Thompson, (2006), A Decision Support Framework for Automated Screening of Diabetic Retinopathy, *International Journal of Biomedical Imaging*, vol 2006, Article ID 45806, Pages 1–8.
- P.Aravindhan และ P.N. Jebarani Sargunar., (2010), Automatic Exudates Detection in Diabetic Retinopathy Images Using Digital Image Processing Algorithms, *Proceedings of the Int. Conf. on Information Science and Applications (ICISA 2010)*, 6 February 2010, Chennai, India.
- R. E. Schapire, (1990), The Strength of Weak Learnability. *Machine Learning*, 5(2), pp. 197–227.
- S. Haykin, (1998), *Neural Networks: A Comprehensive Foundation (2nd edition)*, Prentice Hall.
- Wong Li Yun, U. Rajendra Acharya, Y.V. Venkatesh, Caroline Chee, Lim Choo Min และ E.Y.K. Ng (2008), Identification of different stages of diabetic retinopathy using retinal optical images, *Information Sciences*, vol. 178 (2008), pp. 106–121.

Y. Kultur, B. Turhan และ A. Bener (2009), Ensemble of neural networks with associative memory (ENNA) for estimating software development costs, *Knowledge-Based Systems*, Vol. 22, pp. 395-402.

Gonzalez, Rafael C. & Woods, Richard E. (2002). Thresholding. In Digital Image Processing, pp. 595–611. Pearson Education.